

สำนักงานบัณฑิตศึกษา มหาวิทยาลัยแม่โจ้	
ระดับการประเมินคุณภาพ	
<input type="checkbox"/> ดีเยี่ยม	<input checked="" type="checkbox"/> ดีมาก
<input type="checkbox"/> ดี	<input type="checkbox"/> ปานกลาง





การศึกษาผลของพลาสมิดท์โกลนด้วยยืนอินเตอร์ฟอร์อนแคมมาของ

สุกรต่อการแบ่งตัวของ PORCINE REPRODUCTIVE AND

RESPIRATORY SYNDROME VIRUS

ในชุด Marc-145

สุรังคณาค์ แย้มกันชู

วิทยานิพนธ์นี้เป็นส่วนหนึ่งของความรู้บูรณากรของการศึกษาตามหลักสูตร

ปริญญาวิทยาศาสตรมหาบัณฑิต สาขาวิชาเทคโนโลยีชีวภาพ

สำนักบริหารและพัฒนาวิชาการ มหาวิทยาลัยแม่โจ้

พ.ศ. 2555

ลิขสิทธิ์ของมหาวิทยาลัยแม่โจ้



ใบรับรองวิทยานิพนธ์

สำนักบริหารและพัฒนาวิชาการ มหาวิทยาลัยแม่โจ้  
ปริญญาวิทยาศาสตร์มหาบัณฑิต สาขาวิชาเทคโนโลยีชีวภาพ

ชื่อเรื่อง

การศึกษาผลของพัฒนาสมิดที่โคลนด้วยยีนอินเตอร์เฟอรอนแคนเมของ  
สุกรต่อการแพ้ด้วยของ PORCINE REPRODUCTIVE AND  
RESPIRATORY SYNDROME VIRUS

ไมโครคลัส MARC-145

โดย

สุรารงค์ แย้มกันชู

พิจารณาให้หนอนโดย

ประธานกรรมการที่ปรึกษา

(ผู้ช่วยศาสตราจารย์ ดร.วศิน เจริญตัณฑกุล)  
วันที่ ๕ เดือน พฤษภาคม พ.ศ. ๒๕๕๕

กรรมการที่ปรึกษา

(ผู้ช่วยศาสตราจารย์ ดร.มงคล จิรบุญยานนท์)  
วันที่ ๕ เดือน พฤษภาคม พ.ศ. ๒๕๕๕

กรรมการที่ปรึกษา

(ผู้ช่วยศาสตราจารย์ ดร.แสงทอง พงษ์เจริญกิติ)  
วันที่ ๕ เดือน พฤษภาคม พ.ศ. ๒๕๕๕

ประธานกรรมการประจำหลักสูตร

(อาจารย์ ดร.มชุรา ศรีกัลยาณกุล)  
วันที่ ๕ เดือน พฤษภาคม พ.ศ. ๒๕๕๕

สำนักบริหารและพัฒนาวิชาการรับรองแล้ว

(ผู้ช่วยศาสตราจารย์ ดร.จำเนียร ยศราช)

ประธานกรรมการบัณฑิตศึกษา  
วันที่ ๑๓ เดือน พฤษภาคม พ.ศ. ๒๕๕๕

ชื่อเรื่อง	การศึกษาผลของพลาสมิคที่โกลนด้วยยีนอินเตอร์เฟอรอนแกมมา ของสุกรต่อการแบ่งตัวของ porcine reproductive and respiratory syndrome virus ในเซลล์ MARC-145
ชื่อผู้เขียน	นางสาวสุร้างคนางค์ ແນ້ນກັນຈຸ
ชื่อปริญญา	วิทยาศาสตรมหาบัณฑิต สาขาวิชาเทคโนโลยีชีวภาพ
ประธานกรรมการที่ปรึกษา	ผู้ช่วยศาสตราจารย์ ดร.วศิน เจริญตัณชนกุล

### บทคัดย่อ

อินเตอร์เฟอรอนแกมมา (interferon gamma ; IFNg) เป็นไซโตคันที่เกี่ยวข้องกับการอักเสบช่วยลดการติดเชื้อ porcine reproductive and respiratory syndrome virus (PRRSV) ในสุกร จุดมุ่งหมายในการศึกษานี้เพื่อสร้างพลาสมิคที่มียีน IFNg ของสุกรและทดสอบประสิทธิภาพของพลาสมิคดังกล่าวต่อการแบ่งตัวของ PRRSV ในเซลล์มะเร็งไคลิง (MARC-145) โดยจากการทำ Reverse Transcription Polymerase Chain Reaction (RT-PCR) จาก peripheral blood mononuclear cell ของสุกรด้วยไฟร์เมอร์ที่ออกแบบจากยีน IFNg ของสุกรที่รายงานในฐานข้อมูล (NM\_213948) พบร่วม IFNg ขนาด 501 คู่บส เมื่อแปลรหัสเป็นโปรตีนได้เป็นสายยาว 166 กรดอะมิโน ซึ่งยัง IFNg ที่แยกได้เหมือนกับยีนเดียวกันที่รายงานในฐานข้อมูล 99% มี 2 เบสที่เกิดจากการแทนที่ของเบส A เป็น G ที่ตำแหน่ง 4 ทำให้เกิดการเปลี่ยนแปลงของกรดอะมิโนจาก serine เป็น glycine ซึ่งเป็นการเปลี่ยนแปลงแบบเป็นกลางแต่ไม่พบรการเปลี่ยนแปลงหน้าที่ของโปรตีน และ เบส A เป็น G ที่ตำแหน่ง 438 ซึ่งไม่มีผลต่อลำดับกรดอะมิโน เมื่อนำพลาสมิคที่มียีน IFNg ไปถ่ายเข้าสู่เซลล์ MARC-145 และทดสอบด้วยเทคนิค RT-PCR และ ELISA พบร่วม พลาสมิคสามารถแสดงออกยีน IFNg ได้ทั้งในระดับ mRNA และระดับโปรตีน พลาสมิคที่มียีน IFNg สามารถแสดง cytopathic effect ในเซลล์ MARC-145 ที่บ่มร่วมกับ PRRSV ได้ แสดงว่าพลาสมิคดังกล่าวมีผลบั้นยั้งต่อการแบ่งตัวของ PRRSV ซึ่งในอนาคต พลาสมิคนี้อาจจะนำไปประยุกต์ใช้ในการรักษาโรคอันเนื่องจาก PRRSV ได้

คำสำคัญ : ยีน, อินเตอร์เฟอรอนแกมมา, สุกร, MARC-145

<b>Title</b>	Study of recombinant plasmids expressing porcine interferon gamma gene on replication of porcine reproductive and respiratory syndrome virus in MARC-145 cells
<b>Author</b>	Miss Surangkanang Yamkanchoo
<b>Degree of</b>	Master of Science in Biotechnology
<b>Advisory Committee Chairperson</b>	Assistant Professor Dr. Wasin Charerntantanakul

## **ABSTRACT**

Interferon gamma (IFNg) is a pro-inflammatory cytokine that possesses anti-porcine reproductive and respiratory syndrome virus (PRRSV) effects. This study aimed to generate recombinant plasmids expressing porcine IFNg gene and assessed their potential in inhibiting PRRSV replication in MARC-145 cells primarily by reverse transcription polymerase chain reaction (RT-PCR), using IFNg mRNA isolated from porcine peripheral blood mononuclear cells as templates. Primers from IFNg were designed based on NM\_213948. Results showed that the size of the IFNg insert was 501 bp which corresponded to 166 amino acids. This nucleotide sequence of the IFNg insert showed 99% homology to IFNg mRNA in the database with two nucleotide substitutions, A to G at position 4 and 438. The first substitution resulted in amino acid change from serine to glycine while the second substitution did not result in any amino acid change. When transfected into MARC-145 cells and assessed by RT-PCR and ELISA techniques, the recombinant plasmids could express IFNg at transcription and translation levels. The recombinant plasmids were able to decrease cytopathic effect in MARC-145 cells induced by PRRSV. These results indicated that recombinant plasmids expressing porcine IFNg could effectively inhibit the replication of PRRSV in MARC-145 cell. In the future, the recombinant plasmids may be applied therapeutically for PRRSV-mediated diseases.

**Keyword :** gene, interferon gamma, pig, MARC-145

## กิตติกรรมประกาศ

การทำวิทยานิพนธ์เรื่อง “การศึกษาผลของพลาสมิดที่โกลนด้วยยีนอินเตอร์เพอรอนแคมมาของสุกรต่อการแบ่งตัวของ porcine reproductive and respiratory syndrome virus ในเซลล์ MARC-145” เพื่อประกอบการศึกษาในหลักสูตรวิทยาศาสตร์บัณฑิต สาขาวิทยาโนโลห์ชีวภาพ สามารถถูกต้อง ไปได้ด้วยดี ทั้งนี้ข้าพเจ้าขอขอบพระคุณ ผู้ช่วยศาสตราจารย์ ดร.วศิน เจริญคณานุกูล ผู้ที่เป็นที่ปรึกษาในด้านการทำงานวิจัย และช่วยแนะนำในการทำงานวิจัย และแก้ไขข้อบกพร่องที่เกิดขึ้นในระหว่างการทำงานวิจัย และขอขอบพระคุณ ผู้ช่วยศาสตราจารย์ ดร.มงคล บริบูรณ์ยานนท์ และ ผู้ช่วยศาสตราจารย์ ดร.แสงทอง พงษ์เจริญกิติ กรรมการที่ปรึกษา ที่กรุณายังคำปรึกษาคำแนะนำข้อคิดเห็นและช่วยแก้ไขปัญหาที่เกิดขึ้นในระหว่างการดำเนินงานวิจัย ตลอดจนการตรวจทานและแก้ไขวิทยานิพนธ์จนบรรลุสมบูรณ์

ขอขอบพระคุณ ผู้ช่วยศาสตราจารย์ ดร.ช่อพิพา สกุลสิงหาโรจน์ ที่ให้ความอนุเคราะห์การทำกรคลอง ทั้งการให้ความอนุเคราะห์อุปกรณ์และสารเคมี พร้อมทั้งคำแนะนำในการทำงานวิจัยในครั้งนี้ สำเร็จได้ด้วยดี

ขอขอบพระคุณคณาจารย์ทุกท่าน ที่กรุณาร่วมประสิทธิ์ประสาทวิชาการต่างๆ อีกทั้งเจ้าหน้าที่ทุกท่านที่ให้ความสะดวกในการทำงาน

และเนื้อสิ่งอื่นใดของขอบพระคุณ บิดา มารดา น้องชาย และญาติพี่น้องทุกท่านที่ให้การสนับสนุนทั้งทางด้านกำลังใจ และสนับสนุนค่าใช้จ่ายในการศึกษา ตลอดจนความรักความห่วงใยที่มีให้ตลอดมา ทำให้วิทยานิพนธ์เล่มนี้สามารถสำเร็จลุล่วงไปได้ด้วยดี สุดท้ายนี้ข้าพเจ้าหวังเป็นอย่างยิ่งว่าวิทยานิพนธ์เล่มนี้จะเป็นประโยชน์ต่อผู้ที่สนใจไม่น้อย ในการที่จะนำไปศึกษาต่ออุดมความรู้ ให้มีประสิทธิภาพและมีประโยชน์ต่อการใช้งานจริงในอนาคต

สร้างคนangก์ ແບ່ນກັນຈຸ

มีนาคม 2555

## สารบัญ

	หน้า
บทคัดย่อ	(3)
ABSTRACT	(4)
กิตติกรรมประกาศ	(5)
สารบัญ	(6)
สารบัญตาราง	(8)
สารบัญภาพ	(9)
สารบัญตารางผนวก	(11)
สารบัญภาพผนวก	(12)
บทที่ 1 บทนำ	1
ความสำคัญของปัจจุบัน	1
วัตถุประสงค์ของการวิจัย	2
ประโยชน์ที่คาดว่าจะได้รับ	2
ขอบเขตงานวิจัย	2
บทที่ 2 การตรวจเอกสาร	3
Porcine reproductive and respiratory syndrome virus (PRRSV)	3
การตอบสนองของสุกรเมื่อมีการติดเชื้อไวรัส	7
IFNg	13
การตอบสนองของ NK cell เมื่อมีการติดเชื้อเข้าสู่เซลล์	15
Signal transduction	16
กลไกการเกิด IFNg จาก APCs	20
บทที่ 3 วิธีการวิจัย	22
วัสดุอุปกรณ์	22
วิธีการทดลอง	27
สถานที่ดำเนินการวิจัย	36
ระยะเวลาดำเนินการวิจัย	37
บทที่ 4 ผลการวิจัยและวิจารณ์ผลการวิจัย	38

	หน้า
ผลการวิจัย	38
วิจารณ์ผลการวิจัย	54
บทที่ 5 สรุปผลการวิจัยและข้อเสนอแนะ	56
สรุปผลการวิจัย	56
ข้อเสนอแนะ	56
บรรณานุกรม	57
ภาคผนวก	61
ภาคผนวก ก สูตรอาหารเดี่ยงเชื้อแบคทีเรียและเซลล์ MARC-145	62
ภาคผนวก ข ผลการวิเคราะห์	71
ภาคผนวก ค ประวัติผู้วิจัย	76

## สารบัญตาราง

ตาราง

หน้า

- 1 ความแตกต่างระหว่าง American strain และ European strain ของ PRRSV

6

## สารบัญภาพ

ภาพ	หน้า
1 รอยโรคจาก PRRSV ในสุกรแสดงอาการผิวหนังเปลี่ยนสีในบางบริเวณ	4
2 แผนภาพของไวรัส	10
3 Receptor บน PAM ที่สามารถทำให้เกิดการติดเชื้อ PRRSV	10
4 การติดเชื้อ PRRSV เข้าสู่เซลล์ม้าโครฟ่าจ	12
5 การตอบสนองของ NK cell ต่อการติดเชื้อ	15
6 IFNg signal transduction	17
7 PKR pathway	18
8 OAS pathway	19
9 ปฏิกิริยาระหว่าง APCs และ ลิมโฟไซต์ชนิดที่ 1	21
10 การออกแบบ ไพร์เมอร์จากยีน IFNg (NM_213948)	29
11 แผนที่เวกเตอร์ pcDNA <sup>TM</sup> 3.1	30
12 บริเวณ kozak sequence	30
13 การเข้าชื่อมกันของยีน IFNg ขนาด 500 คู่เบส ในพลาสมิคเวกเตอร์ pcDNA <sup>TM</sup> 3.1 ตรวจสอบความถูกต้องด้วย BamHI	31
14 การเข้าชื่อมกันของยีน IFNg ขนาด 500 คู่เบส ในพลาสมิคเวกเตอร์ pcDNA <sup>TM</sup> 3.1 ตรวจสอบความถูกต้องของทิศทางการโคดด้วย PstI	33
15 ชั้นของ PBMC ที่สกัดจากเลือดสุกร	39
16 ผลการทำ RT-PCR ของยีน IFNg จาก PBMC	40
17 การคัดเลือก โคโลนีของ <i>E.coli</i> ที่คาดว่าได้รับยีน IFNg ด้วยการตัดด้วย เอนไซม์ตัดจำเพาะ BamHI	41
18 พลาสมิคเวกเตอร์ที่คาดว่าจะได้รับยีน IFNg ตัดด้วย.enon ไชม์ตัดจำเพาะ PstI	42
19 การตรวจสอบความถูกต้องจากการคัดเลือก โคโลนีของ <i>E.coli</i> ที่คาดว่าได้รับยีน IFNg ด้วยการตัดด้วย.enon ไชม์ตัดจำเพาะBamHI	43
20 การตรวจสอบความถูกต้องจากการคัดเลือก โคโลนีของ <i>E.coli</i> ที่คาดว่าได้รับยีน IFNg ด้วยการตัดด้วย.enon ไชม์ตัดจำเพาะ PstI	44

ภาค	หน้า
21 การเปรียบเทียบลำดับนิวคลีโอไทด์ของ IFNg ของสุกร กับ IFNg ที่ปรากฏในฐานข้อมูล Genbank (NM_213948)	45
22 ลำดับเบสและลำดับของกรดอะมิโนของยีน IFNg ของสุกรในฐานข้อมูล GeneBank (NM_213948)	46
23 ลำดับเบสและลำดับของกรดอะมิโนของยีน IFNg ของสุกรที่แยกได้จาก PBMC	46
24 พลาสมิด pIFNg และ pcDNA™ 3.1 หลังจากกำจัด endotoxin เพื่อคุ้มครองและการต่อต้านของขนาดดีเอ็นเอที่ต่างกัน 500 คู่เบส	47
25 การแสดงออกของพลาสมิด pIFNg เมื่อถูกถ่ายเข้าสู่เซลล์ MARC-145 เป็นเวลา 60 ชั่วโมง โดยการเก็บเซลล์มาวิเคราะห์ RNA โดยเทคนิค RT-PCR	48
26 การแสดงออกของโปรตีน IFNg ใน MARC-145 หลังจากที่ถูกถ่ายด้วยพลาสมิด pIFNg เป็นเวลา 60 ชั่วโมง โดยการเก็บอาหารมาวิเคราะห์โปรตีนโดยเทคนิค ELISA	49
27 การตายของเซลล์ที่เกิดจากการติดเชื้อไวรัส	50
28 เปรียบเทียบเรตอร์ของ PRRSV ในเซลล์ MARC-145 (PRRSV) MARC-145 ที่ถูกถ่ายด้วย pcDNA 3.1 (PRRSV+pcDNA 3.1) และ MARC-145 ที่ถูกถ่ายด้วยพลาสมิด pIFNg (PRRSV +pIFNg) ทำการทดสอบซ้ำ 3 ครั้ง	53

## สารบัญตารางผนวก

ตารางผนวก	หน้า
1 การเตรียม agarose (%)	69
2 การตายของเซลล์ด้วยจีโนทิซิล	72

สารบัญภาพพนวก

ภาพพนวก

หน้า

1 การตabyของเซลล์ด้วยจีโนทิซิล

72

## บทที่ 1

### บทนำ

#### ความสำคัญของปัจจัย

สุกรเป็นสัตว์เศรษฐกิจของประเทศไทยทั้งบริโภคภายในและส่งออกไปยังต่างประเทศ ซึ่งในปี 2553 ที่ผ่านมา มียอดการส่งออกประมาณ 1,916,621,522.0 บาท ได้ผลผลิตประมาณ 9,928,991 กิโลกรัม (สำนักงานเศรษฐกิจการเกษตร, 2554) ซึ่งเป็นรายได้หลักอันดับหนึ่งของประเทศไทย

ปัจจัยในการเพาะเลี้ยงสุกรของประเทศไทยที่สำคัญก็คือ มีอัตราการตายที่เพิ่มขึ้น และมีปัจจัยระบบน้ำพันธุ์ล้มเหลว สุกรแม่พันธุ์มีการแท้งในระยะท้ายของการตั้งท้อง มีการตายในลูกสุกร มีอัตราการเติบโตช้า อាកารปอดบวม การเกิดการติดเชื้อแทรกซ้อน ซึ่งเป็นสาเหตุมาจากการติดเชื้อไวรัส สั่งผลกระทบให้เกษตรกรผู้เลี้ยงสุกรผลิตสุกรลดลง และเกิดความเสียหายทางด้านเศรษฐกิจเป็นอย่างมาก

Porcine reproductive and respiratory syndrome virus (PRRSV) เป็นไวรัสที่ก่อให้เกิดความเสียหายในอุตสาหกรรมการเลี้ยงสุกรเป็นอย่างมาก เพราะเมื่อสุกรมีการติดเชื้อไวรัสชนิดนี้จะทำให้ระบบภูมิคุ้มกันของสุกรมีการเปลี่ยนแปลง และง่ายต่อการติดเชื้ออื่นๆ ทำให้สุกรตายเพิ่มขึ้น เนื่องจาก PRRSV สามารถทำลายเซลล์ม้าโคโรฟ่าจ (macrophage) ที่เป็นเซลล์สำคัญในระบบภูมิคุ้มกัน (Bautista and Molitor, 1999)

อินเดอร์เฟอรอนแอกนิม่า (Interferon gamma; IFNg) เป็นไซโตไคน์ (cytokine) สำคัญที่สร้างมาจากลิมโฟไซด์ชนิดที่ (T lymphocyte) และ natural killer cell (NK cell) มีหน้าที่ในการกระตุ้นภูมิคุ้มกันจากเซลล์ (cell-mediated immunity) (Susan et al., 1999) ที่เกี่ยวข้องกับกระบวนการอักเสบ และจะมีการหลัง IFNg ออกมามีการติดเชื้อ (Murtaugh et al., 2002) ซึ่งปริมาณของ IFNg ที่เพิ่มขึ้นจะทำให้การแสดงออกของ major histocompatibility complex (MHC) class I และ class II เพื่อนำเสนอแอนติเจนในเซลล์เป้าหมายเพิ่มขึ้น และส่งเสริม cytotoxicity ของ NK cell ทำให้สามารถขับยึดการเพิ่มจำนวนของไวรัส PRRSV ในมาโคโรฟ่าจได้ (Bautista and Molitor, 1999) และจากการศึกษาการติดเชื้อ PRRSV ในปอดสุกรพบว่ามีการหลัง IFNg ที่มากขึ้น (Thanawongnuwech et al., 2003)

ในการป้องกันการติดเชื้อ PRRSV ได้มีการศึกษาการควบคุมในระบบภูมิคุ้มกันด้วยการฉีดวัคซีนเชื้อเป็น พบร่วมกระตุ้นให้เกิด virus specific IFNg secreting cell และ

neutralizing antibody ได้ (Meier et al., 2003; Royae et al., 2004; Zuckermann et al., 2007) ต่อมาได้มีการพัฒนา deoxyribonucleic acid (DNA) vaccine ที่เป็นส่วน envelop glycoprotein (GP) 5 และ matrix (M) protein ของ PRRSV พบว่า GP5/M heterodimers สามารถกระตุ้นการสร้าง neutralizing antibody ได้ (Jiang et al., 2006) นอกจากนี้ยังพบว่า ไซโคลอีคิน (IL)-29 ที่ได้จากการแสดงออกใน *Escherichia coli* (*E. coli*) สามารถยับยั้งการเพิ่มจำนวนของ PRRSV ในเซลล์ MARC-145 ได้ (Wang et al., 2011) จากผลการวิจัยดังกล่าวแสดงให้เห็นว่า IFNg ที่เป็นไซโคลอีคินชนิดหนึ่งน่าจะสามารถลดการเพิ่มจำนวนของ PRRSV ได้

### วัตถุประสงค์ของการวิจัย

1. แยกยีนอินเตอร์เฟอรอนแแกมมากของสุกรและสร้างพลาสมิດที่มียีน IFNg (pIFNg)
2. ศึกษาการแสดงออกของยีน IFNg ในเซลล์ MARC-145
3. การศึกษาผลของ IFNg ที่มีต่อการแบ่งตัวของ PRRSV

### ประโยชน์ที่คาดว่าจะได้รับ

1. ได้ pIFNg
2. ได้อองค์ความรู้เรื่อง pIFNg ต่อการแบ่งตัวของ PRRSV

### ขอบเขตงานวิจัย

1. แยกยีน IFNg จากสุกร
2. สังเคราะห์ pIFNg ศึกษาระดับการแสดงออกของยีน IFNg และการศึกษาผลของ IFNg ที่มีต่อการแบ่งตัวของ PRRSV

## บทที่ 2

### การตรวจเอกสาร

#### Porcine reproductive and respiratory syndrome virus (PRRSV)

PRRSV เป็นไวรัสที่ก่อให้เกิดโรคในระบบสืบพันธุ์ในสุกรแม่พันธุ์ ทำให้สุกรแม่พันธุ์มีอาการไม่กินอาหาร แท้งลูก สูญดาย คลอดก่อนกำหนด (สูกรจะดึงห้อง 107-112 วัน) ลูกสุกรไม่แข็งแรงและ มีการสืบพันธุ์ในครั้งต่อไปที่ช้า และก่อให้เกิดโรคในระบบทางเดินหายใจซึ่งเป็นปัญหา กับสุกรทุกอายุ เช่น มีอาการปอดบวม หายใจลำบาก ทำให้มีอัตราการตายที่สูง และมีการติดเชื้อแทรกซ้อนจากไวรัส และแบคทีเรีย ได้แก่ *Salmonella choleraesuis*, *Streptococcus suis*, *Haemophilus parasuis* (Zimmerman et al., 1997) และมีอาการ ข้อต่ออักเสบ การติดเชื้อที่ตา และเมื่อหุ้มสมองอักเสบร่วมกัน การติดเชื้อ *Pseudorabies virus*, *Porcine parvovirus*, *Swine influenza virus* (Molitor et al., 1997)

Cho and Dee (2006) มีการรายงานว่า PRRSV มีความทนทานต่อสิ่งแวดล้อมน้อย จะมีอยู่ในสิ่งแวดล้อมที่มีอุณหภูมิ 21 องศาเซลเซียส ได้นาน 6 วัน ที่อุณหภูมิ 37 องศาเซลเซียส ได้นาน 1 ชั่วโมง และที่อุณหภูมิ 56 องศาเซลเซียส ได้นาน 20 นาที ซึ่งไวรสนี้จะมีความทนต่อระดับความเป็นกรดค่างได้ที่ 6.5-7.5 และจะไม่สามารถทนทานต่อความเป็นกรดค่างในระดับที่ ต่ำกว่า 6 และมากกว่า 7.65

#### การแพร่กระจายของโรค

การแพร่กระจายของโรคนี้จะมีมากขึ้นเมื่อมีสุกรในฟาร์มที่หนาแน่นเกินไป การเกลื่อนย้ายสุกร คุณภาพของอากาศ สุขภาพของสุกรในขณะนั้น ระบบการจัดการฟาร์ม และสายพันธุ์ของไวรัสที่มีการติดเชื้อ (Done et al., 1996) เมื่อมีการติดเชื้อในสายพันธุ์ที่มีความรุนแรงสุกรอาจจะตายได้ และในระยะที่มีการติดเชื้อแล้วสุกรจะมีอาการเบื่ออาหาร นอนซึม และบางครั้งผิวจะมีการเปลี่ยนสี ในสุกรแม่พันธุ์และลูกสุกร ผิวนั้นจะมีแผล หูจะมีสีฟ้า ปากช่องคลอดเป็นสีฟ้า และมีผื่นแดงจากการมีไข้ติดเชื้อ ตั้งภาพ 1 (Done et al., 1996) การแพร่กระจายของเชื้อสามารถแพร่ผ่านทางจมูก หรือของเหลว ละอองของเหลว และจะมีการแพร่กระจายเพิ่มมากขึ้นเมื่อมีการ

เคลื่อนย้ายสุกร (Done et al., 1996) ในการแพร่กระจายของเชื้อทางอสุจิ เลือด น้ำลาย อุจจาระ ละอองของเหลว นม และเมื่อมีการติดเชื้อในพ่อพันธุ์ จะสามารถตรวจพบได้ท่อสุจิที่ระยะเวลา 43-92 วัน และจะสามารถตรวจพบได้ท่ออุจจาระในระยะเวลา 28-35 วัน (Cho and Dee, 2006)



ภาพ 1 รอยโรคจาก PRRSV ในสุกรแสดงอาการผิวหนังเปลี่ยนสีในบางบริเวณ

ที่มา : Done et al. (1996)

#### การวินิจฉัย

สามารถแยกไวรัสได้จาก ไขกระดูก ม้าม หัขมัส ต่อมทอลซิล ต่อมน้ำเหลือง ตับ ไต และในชีรัม ไวรัสสามารถเจริญได้ใน porcine alveolar macrophage (PAM) ที่แยกได้จากปอด และสามารถตรวจสอบไวรัสนี้ได้ในเซลล์เพื่อคุณการเกิด cytopathic effect (CPE) ของ PRRSV ซึ่งจะสามารถเกิดได้ภายใน 3-4 วัน การตรวจสอบไวรัสด้วย indirect immunostaining method เช่น indirect fluorescent antibody (IFA) test ใช้ตรวจสอบในเนื้อยื่อ เช่น ปอดและม้าม และมีการตรวจด้วยเทคนิค polymerase chain reaction (PCR) การตรวจสอบในชีรัม (Done et al., 1996) การตรวจชีรัมของสุกรที่มีการติดเชื้อ PRRSV ประกอบไปด้วย serum neutralization (SN) test, immunoperoxidase monolayer assay (IPMA) และ enzyme linked immunosorbent assays (ELISA) (Zimmerman et al., 1997)

PRRSV เป็น ribonucleic acid (RNA) ไวรัส ออยู่ใน จีนัส (genus) Arterivirus แฟมิลี่ (family) Arteriviridae ออร์เดอร์ (order) Nidovirales ซึ่งใน แฟมิลี่ Arteriviridae จะประกอบไปด้วย equine arteritis virus, lactate dehydrogenase evaluating virus และ simian hemorrhagic fever virus (Zimmerman et al., 1997) ลักษณะโดยทั่วไปของ PRRSV เป็น single stranded positive sense RNA เป็นไวรัสที่มีห้องไขมัน (envelop) มีเส้นผ่าศูนย์กลาง 50-65 nm (Cho and Dee, 2006) ลักษณะเป็น icosahedral nucleocapsid symmetry (Done et al., 1996) ไวรัสนี้มีการเปลี่ยนแปลงลักษณะทางพันธุกรรมได้ง่าย ทำให้มีการป้องกันได้ยาก มี 9 open reading frames (ORF) (ภาพ 2) ซึ่งมี 1a, 1b, 2a, 2b, 3, 4, 5, 6 และ 7 (Delputte and Nauwynck, 2004) ประกอบด้วย nucleocapsid (N) protein (ORF7), unglycosylated membrane protein ประกอบด้วย M protein (ORF6), P2b (ORF2b), GP5 (ORF5), non structural protein หรือ viral replicase (ORF 1a และ ORF 1b) และ membrane glycoproteins ประกอบไปด้วย GP2a, GP3 และ GP4 (ORF2a, ORF3, ORF4) GP5 และ M protein เป็น major membrane proteins ซึ่ง GP2a, P2b, GP3, GP4 เป็น minor structural proteins (Amonsin et al., 2009; Patton et al., 2009) PRRSV มีการเพิ่มจำนวนใน PAM (Bautista and Molitor., 1999) ซึ่งสามารถตรวจพบได้ใน ม้าม ตับ และ หัวใจ ค่อนมาได้มีการศึกษาสายพันธุ์ของ PRRSV พบว่ามี 2 สายพันธุ์ คือสายพันธุ์ American stains (VR-2332) และ European stains (Lelystad virus; LV) ซึ่งทั้ง 2 สายพันธุ์มีความแตกต่างกันในระดับดีเอ็นเอ และระดับโปรตีนดังแสดงในตารางที่ 1 เมื่อมีการเปรียบเทียบระหว่าง VR-2332 และ LV พบว่ามีความคล้ายกันใน ORF ต่างๆ ดังนี้ ORF 2 76% ORF3 72% ORF4 80% ORF5 80% ORF6 91% และ ORF7 74% (Cho et al., 2006) และได้มีการแยกเชื้อ PRRSV จาก cell line ที่เกิดจาก MA-104 (African green monkey kidney) ซึ่งประกอบด้วย MARC-145 (Kim et al., 1993) เป็นเซลล์ที่ไวรัสสามารถเพิ่มจำนวนได้

ตาราง 1 ความแตกต่างระหว่าง American strains และ European strains ของ PRRSV

บริเวณที่เป็นยืน โปรดีน จำนวนกรดอะมิโน การคำนวณน้ำหนักโปรดีน (kDa) glycosylation site								
		Euro	Am	Euro	Am		Euro	Am
ORF2	GP2	249	265	28.4	29.4		2	2
ORF3	GP3	265	254	30.6	29.0		7	7
ORF4	GP4	183	178	20.0	19.6		4	4
ORF5	GP5	201	200	22.4	22.4		2	2-5
ORF6	M	173	174	18.9	19.1		2	1
ORF7	N	128	123	13.8	13.6		1	1

ที่มา : Dea et al. (2000)

หมายเหตุ Euro; European strains, AM; Amarican strains

## การตอบสนองของสูกรเมื่อมีการติดเชื้อไวรัส

### การตอบสนองโดยภูมิคุ้มกันแบบไม่จำเพาะ

ในการติดเชื้อไวรัสเข้าสู่ร่างกายของสูกร จะมีการติดเชื้อที่ระบบทางเดินหายใจ และระบบสืบพันธุ์ เมื่อมีการติดเชื้อจะมีการป้องกันของระบบภูมิคุ้มกันแบบไม่จำเพาะที่บริเวณการติดเชื้อที่เกิดขึ้น และภูมิคุ้มกันแบบไม่จำเพาะนี้จะไม่สามารถจัดกำจัดเชื้อโรคได้ แต่จะสามารถกำจัดเชื้อโรคได้ และยังสามารถกระตุ้นภูมิคุ้มกันแบบจำเพาะได้

เมื่อมีการติดเชื้อจะมีการสร้างสารภูมิคุ้มกันด้านการติดเชื้อ เช่น อินเตอร์เฟอรอน อัลฟ่า (Interferon alpha; IFN  $\alpha$ ) ซึ่งสร้างมาจากมาโคร์ฟاج อินเตอร์เฟอรอนเบต้า (Interferon beta; IFN  $\beta$ ) ซึ่งสร้างมาจากเนื้อเยื่อที่มีการติดเชื้อไวรัส มีผลต่อการต่อต้านเชื้อไวรัสในเซลล์ข้างเคียง เมื่อมีการผลิต IFN  $\alpha$  และ IFN  $\beta$  จะถูกขับออกมานอกเซลล์ แต่จะพนในปริมาณที่ต่ำ นำไปสู่การตอบสนองแบบจำเพาะ ซึ่งจะมีการกระตุ้น NK cell ให้มีการผลิต IFNg และทูเมอร์เน็ครอติสแฟค เตอเรอฟัลฟ่า (Tumor necrosis factor-alpha ; TNF- $\alpha$ ) มีหน้าที่เป็นสารด้านไวรัส (antiviral) (Dorman et al., 1999; Murtaugh et al., 2002)

การหลังใช้トイโคนที่เกี่ยวข้องกับกระบวนการอักเสบที่มีการติดเชื้อที่สำคัญได้แก่ TNF- $\alpha$  และ IL-1 ในปอดที่มีปริมาณมากซึ่งมีความสัมพันธ์กับการติดเชื้อแทรกซ้อนของไข้หวัดชนิดรุนแรง (acute influenza) ซึ่ง TNF- $\alpha$  และ IL-1 สร้างมาจากมาโคร์ฟاج (Murtaugh et al., 2002) TNF- $\alpha$  จะส่งเสริมการอักเสบ กระตุ้นการทำงานของมาโคร์ฟاج มีการนำเสนอดอนดิเจนค์ MHC class I และสร้างโปรตีนการอักเสบแบบเนียบพลัน (acute phase protein) IL-1 เป็นตัวกระตุ้น nuclear transcription factor ซึ่ง nuclear transcription factor มีหน้าที่ควบคุมการตอบสนองแบบไม่จำเพาะเมื่อมีการติดเชื้อ และควบคุมการถอดรหัสของยีน (transcription) ที่ประกอบไปด้วย การอักเสบ และใช้トイโคนที่ควบคุมระบบภูมิคุ้มกัน (immunoregulatory cytokine) เป็นต้น (Murtaugh et al., 2002)

## การตอบสนองโดยภูมิคุ้มกันแบบจำเพาะ

### 1. ภูมิคุ้มกันชนิดสารน้ำ (Humoral immune response)

เมื่อสูญเสียการติดเชื้อ PRRSV จะมีกลไกการป้องกันด้วยการสร้างสารภูมิต้านทานอัมນูโนกลوبูลิน ชนิดเอ็ม (immunoglobulin M) ภายใน 5-7 วัน หลังจากที่มีการติดเชื้อ และสามารถตรวจพบอัมນูโนกลوبูลิน ชนิดจี (immunoglobulin G) ได้ภายใน 7-14 วัน และ อัมນูโนกลوبูลิน ชนิดเอ (immunoglobulin A) ที่พบได้ใน 25-35 วัน (Murtaugh et al., 2002; Mateu and Diaz, 2008) อัมນูโนกลوبูลิน ชนิดเอ็ม นี้จะลดต่ำลงจนไม่สามารถตรวจพบได้ใน 42 วัน เนื่องจาก มีความจำเพาะน้อยเด่าจะมีการสร้างอัมນูโนกลوبูลินชนิดใหม่ซึ่งมีความจำเพาะมากกว่าคืออัมນูโนกลوبูลิน ชนิดจีสามารถตรวจพบได้มากที่สุดใน 21-49 วัน ซึ่งเป็นการตอบสนองในระบบภูมิคุ้มกันที่รุนแรง (Mateu and Diaz, 2008) แต่สารภูมิต้านทานนี้ไม่สามารถทำลายไวรัสที่อยู่ในกระแสเลือด ได้ ซึ่งจะต้องใช้สารภูมิต้านทานชนิด neutralizing antibody ในการช่วยลดไวรัสในกระแสเลือด ซึ่งจะสามารถตรวจพบได้ใน 3-4 สัปดาห์ หลังจากที่มีการติดเชื้อ และเป็นการป้องกัน การติดเชื้อของไวรัส ซึ่งจะสัมพันธ์กับการลดลงของ PRRSV ที่ปอดและที่ peripheral blood และ ไม่พบ PRRSV ในกระแสเลือดที่ 35-42 วัน (Murtaugh et al., 2002)

การป้องกันไวรัส PRRSV ด้วยแอนติบอดีในซีรัมเป็นการป้องกันขั้นต้นจากการ ติดเชื้อด้วย N protein (ORF 7) และ M protein (ORF 6) ซึ่งสามารถตรวจสอบได้ภายใน 7 วันและ 14 วันตามลำดับ GP5 (ORF 5) ต้องใช้ neutralizing antibody ซึ่งสามารถตรวจพบได้ใน 28 วัน

### 2. ภูมิคุ้มกันจากเซลล์

ภูมิคุ้มกันจากเซลล์ใช้กำจัดไวรัสที่มีการติดเชื้ออよู่ในเซลล์ซึ่งภูมิคุ้มกันชนิดสารน้ำไม่สามารถกำจัดได้ ภูมิคุ้มกันจากเซลล์นี้จะประกอบไปด้วย เซลล์ลิมโฟไซต์ชนิดที่มี CD4<sup>+</sup> ได้แก่ T helper (Th) 1 ทำหน้าที่กระตุ้นการทำงานมาโครฟاجและ CD8<sup>+</sup> ได้แก่ Cytotoxic T lymphocyte (CTL) ทำหน้าที่ฆ่าเซลล์ที่มีการติดเชื้อไวรัส

เซลล์ลิมโฟไซต์ชนิดที่ แบบ Th จะทำงานโดยการผ่านการกระตุ้นจาก MHC class II สร้างไซโตไกน์เพื่อที่จะกระตุ้นเซลล์ลิมโฟไซต์ชนิดบี (B lymphocyte) มาໂຄຣຟາງ CTL และ NK cell ซึ่งเซลล์ลิมโฟไซต์ชนิดที่ แบ่งได้ตามไซโตไกน์ที่เกิดขึ้น ได้แก่ Th1 สร้าง IFNg IL-12 เป็นการตอบสนองจากเซลล์ และ Th2 สร้าง IL-4, IL-5, IL-6, IL-10 และ IL-13 เป็นการตอบสนอง ชนิดสารน้ำ CTL ทำงานผ่านการกระตุ้นจาก MHC class I เพื่อเป็นการกำจัดไวรัสที่มีการติดเชื้อ

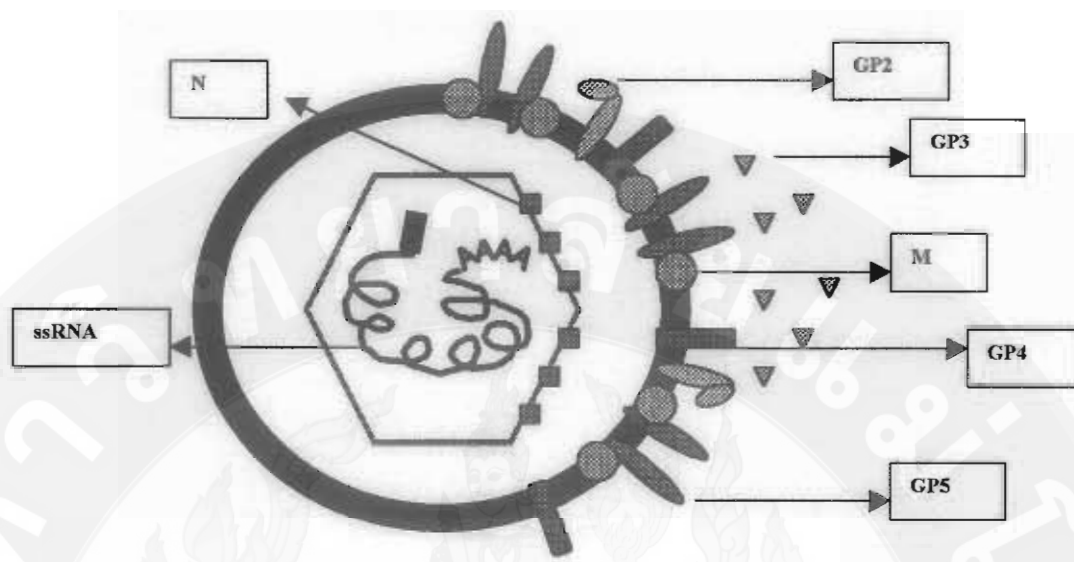
อยู่ภายในเซลล์ เป็นการตอบสนองจากเซลล์ ในการตอบสนองเมื่อมีการติดเชื้อไวรัสเข้าสู่ปอดจะสามารถตรวจพบไวรัสจำนวนมากได้ในระยะเวลา 9 วัน หลังจากที่มีการติดเชื้อ ในขณะที่เซลล์ลิมโฟไซต์มีจำนวนที่ลดลง จากการรายงานพบว่า CD8<sup>+</sup> ลิมโฟไซต์ชนิดที่ มีปริมาณที่เพิ่มขึ้นในปอด พนวันที่ 25-35 วันหลังจากที่มีการติดเชื้อ การตอบสนองที่เกิดขึ้นใน peripheral blood ประมาณ 4 สัปดาห์ และมีการตอบสนองต่อ CD4<sup>+</sup> ในระยะเวลา 10 สัปดาห์ หลังจากที่มีการติดเชื้อแล้ว (Molitor et al., 1997; Bautista and Molitor, 1999; Murtaugh et al., 2002)

Fuertes et al. (1999) มีรายงานว่าเมื่อมีการติดเชื้อ PRRSV จะมีการเพิ่มขึ้นของ CD8<sup>+</sup> CD4<sup>+</sup> และ D4<sup>-</sup> CD8<sup>+</sup> ภายในจากการกระตุ้นเซลล์ และจะมีการแสดงออกของ TcR receptor ที่เพิ่มขึ้น ลิมโฟไซต์ชนิดที่มีการตอบสนองต่อไวรัสโดยการแสดงออกของ ไซโตโคนที่มาจากการ Th 1 และการตอบสนองด้วย cytotoxic ที่เพิ่มขึ้น

IFNg เป็นไซโตโคนที่สร้างมาจากการกระตุ้นนิคลิมโฟไซต์ที่ถูกกระตุ้น และสามารถกระตุ้นการทำงานของ NK cell ในการยับยั้งการเพิ่มจำนวนของไวรัส เมื่อมีการติดเชื้อจะมีการเห็นไขว้สำหรับการสร้างโปรตีนประกอบไปด้วย 2',5'-oligoadenylate synthetase (OAS), double-stranded RNA-activated protein kinase (PKR), ribonuclease L (RNaseL) OAS, PKR และ RNaseL ยับยั้งการสังเคราะห์โปรตีนของไวรัส (Murtaugh et al., 2002)

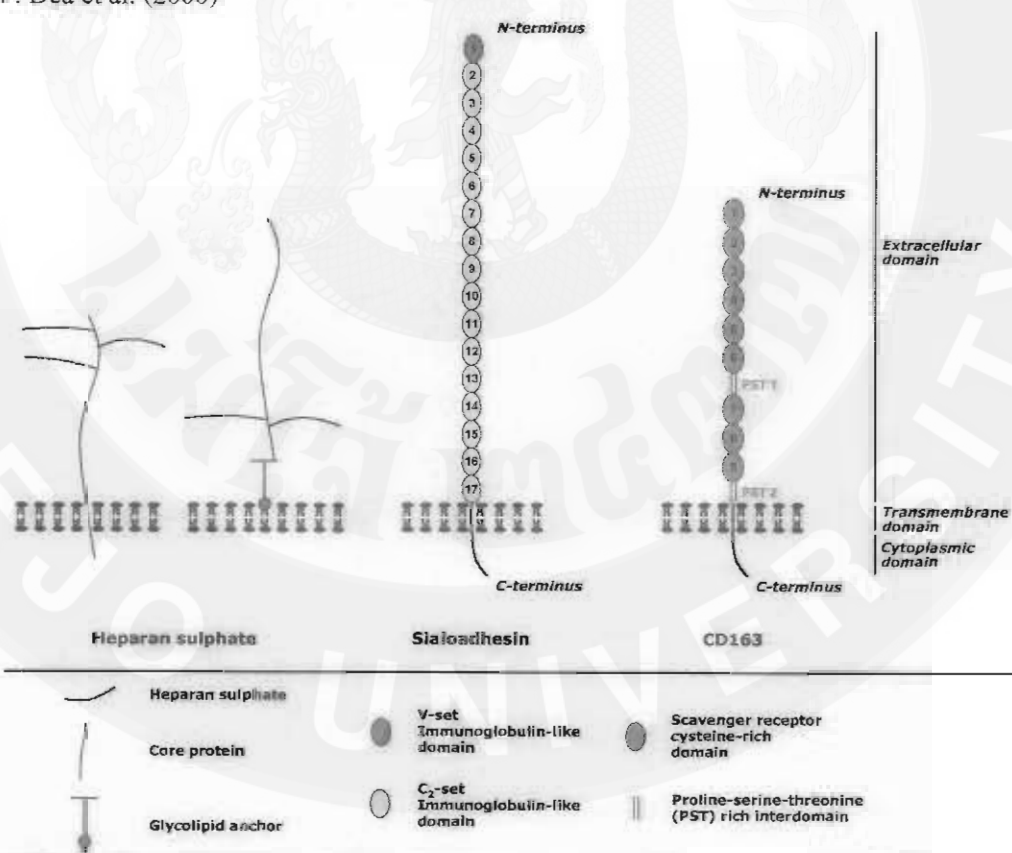
### การติดเชื้อ PRRSV เข้าสู่เซลล์

บน PAM มี receptor 2 ชนิดที่มีความจำเพาะกับ PRRSV ประกอบไปด้วย heparan sulphate ซึ่งทำให้มีการเกาะติดของ PRRSV และ porcine sialoadhesin (pSn) ซึ่งมีความสำคัญในการปล่อยจีโนมสู่มาโคร์ฟاج (Delputte and Nauwynck, 2004) CD 163 receptor เป็นการแสดงออกของการเพิ่มจำนวนของ PRRSV ใน PAM (Patton et al., 2009) mRNA ของ CD163 มี 3348 คู่เบส จะประกอบไปด้วย 9 N-terminal scavenger receptor cysteine rich (SRCR) domain, transmembrane segment 24 amino acid และ cytoplasmic tail ประกอบไปด้วย 49 amino acid (Delputte and Nauwynck, 2004)



ภาพ 2 แผนภาพของไวรัส

ที่มา : Dea et al. (2000)



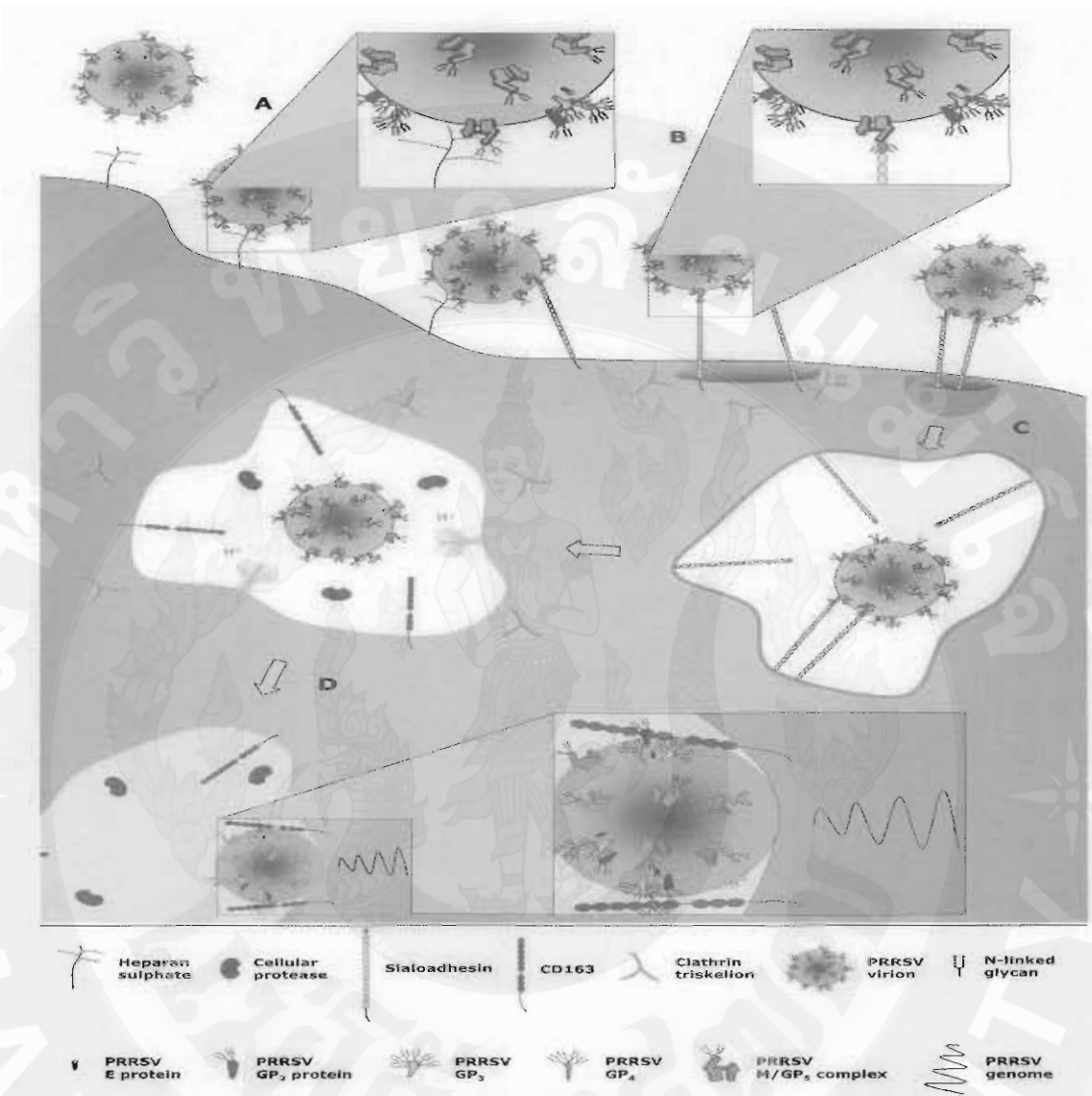
ภาพ 3 Receptor บน PAM ที่สามารถทำให้เกิดการติดเชื้อ PRRSV

ที่มา : Breedam et al. (2010)

จากภาพ 3 เป็น transmembrane protein ที่มีการติดเชือกไวรัสเข้าสู่เซลล์มาโดยฟาง โดยส่วนแรกจะเป็นส่วนของ heparan sulphate ในผิวเซลล์ของ MARC-145 พบ heparin-like molecules ทำให้เกิดการติด PRRSV และคงอกรอยู่ในส่วนของ O-glycosylated protein ที่เรียกว่า proteoglycans ซึ่ง glycoproteins นี้จะประกอบไปด้วย core protein ที่เกาะอยู่กับ glycosaminoglycan (GAGs) ซึ่งเป็น linear polysaccharide chains ประกอบด้วย disaccharide subunits ของ amino sugar และ hexuronic acid/ galactose จากการศึกษา heparan sulphate GAGs บนผิวของมาโดยฟางมีผลต่อการติดเชือกของ PRRSV เข้าสู่เซลล์เป็น attachment factor ที่มี virions เป็นจำนวนมากบนผิวเซลล์ ดังนั้นก็จะตามด้วยการติดเชือกเข้าสู่เซลล์ (Breedam et al., 2010)

Sialoadhesin เป็น macrophage-restricted type 1 transmembrane glycoprotein และอยู่ในแฟ้มิลิ sialic acid binding lectins sialoadhesin เป็นปัจจัยที่มีความจำเพาะต่อมาโดยฟาง (macrophage-specific factor) เป็นตัวที่ไวรัสต้องการในการเกาะติดและปล่อยจีโนมไวรัส จากการศึกษาการเกาะติดจะเกิดปฏิกิริยาระหว่าง heparin sulphate และ pSn receptor การรวมตัวของไวรัสนั้นจะรวมตัวเข้าไปที่ pSn receptor และเกิดปฏิกิริยาระหว่าง sialic acid บน PRRS ซึ่งทำให้ติดเชือกเข้าสู่ PAM (Delputte and Nauwynck., 2004) ไวรัสจะเข้าสู่เซลล์ด้วย endocytic pathway และมีการปล่อยจีโนมของไวรัสเข้าสู่ไซโตปลาสซัม (cytoplasm) ของเซลล์เป็นจำนวนมาก และภายในตัวของไวรัสก็มี endosome ที่สำคัญของการปล่อยจีโนม ซึ่ง CD163 เป็น factor ที่จำเป็นของการปล่อยจีโนมของ PRRSV (Delputte and Nauwynck., 2004; Breedam et al., 2010)

CD163 เป็น type 1 transmembrane glycoprotein ที่แสดงออกอยู่บนเซลล์ของโมโนไซด์ (monocyte) มาโดยฟาง และ hemoglobin-scavenging CD163 เป็นตัวที่ป้องกันการเกิด free hemoglobin-mediated oxidative damage นอกจากนี้ทำให้เกิดการติดเชือกเข้าสู่เซลล์ MARC-145 โดย SRCR domains ของ CD163 การแสดงออกของ SRCR 6 และ 2 proline-serine-threonine (PST) rich interdomains ของ CD163 เป็นตัวที่ทำให้เกิดการติดเชือก เมื่อ CD163 รวมกับ GP<sub>2</sub> และ GP<sub>4</sub> จะทำให้เกิดการปล่อยจีโนมของ PRRSV Patton et al. (2009) มีรายงานว่า CD163 เป็น receptor สำหรับการเพิ่มจำนวนของ PRRSV เนื่องจากได้มีการทดลองการแสดงออกที่เพิ่มน้ำหนักของ CD163 เมื่อมีการติดเชือกของ PRRSV ภายในเซลล์ PAM และมาโดยฟางที่เกิดจาก CD14 positive monocyte derived macrophages (MDMs) ที่มีความสามารถในการเพิ่มจำนวนของ PRRSV ด้วยการสร้าง LLC-PK-CD163 cell line ที่มีการแสดงออกของ CD163 CD163 แยกมาจาก total RNA ของ PAM ที่เป็น full length mRNA ที่มี 9 SRCR domains เพื่อใช้ในการศึกษา receptor สำหรับ PRRSV



ภาพ 4 การติดเชื้อ PRRSV เข้าสู่เซลล์ม้าโครฟ่าจ

ที่มา : Breedam et al. (2010 )

#### ขั้นตอนในการติดเชื้อเข้าสู่เซลล์ม้าโครฟ่าจ (ภาพ 4)

1. ไวรัสจะติดอยู่กับม้าโครฟ่าจเกิดขึ้นบน heparan sulphate glycosaminoglycan บนผิวเซลล์ม้าโครฟ่าจและ sialoadhesin ทำหน้าที่ในการจับกับไวรัส
2. ปฏิกิริยานี้เกิดขึ้นที่ซองไขมันของไวรัส โดยเกิดบน receptor ที่ก่อให้เกิด viral M/GP<sub>5</sub> complex ต่อ N-terminus ของ p8n และ sialic acids บนผิวเซลล์ของ virion

3. การเกาะติดของไวรัสต่อ pSn เป็นไปตาม virus-receptor complex ในกระบวนการของ clathrin-mediated endocytosis และ viral จะถูกปล่อยเข้าสู่ไซโตปลาสซึม

4. CD163 เข้าไปจับกับ GP2 และ GP4 เพื่อเป็นการปล่อยจีโนมของ PRRSV ทำให้ความเป็นกลางมีค่าลดลงภายใน endosome ซึ่งเป็นสิ่งที่สำคัญมากต่อการปล่อยจีโนมออกมานา (Breedam et al., 2010)

Delputte et al. (2007) ได้ศึกษาพบว่า heparan sulphate เป็น receptor ของ PRRSV บนมาโคրฟاج ที่เป็นสาเหตุในการเกาะติดของไวรัสซึ่งมีหน้าที่สำคัญ pSn เป็น receptor ของ PRRSV มีความสำคัญต่อการปล่อยจีโนมบนมาโครฟางติดเชือเข้าสู่มาโครฟาง

pSn receptor ประกอบด้วย sialoadhesins N-terminal variable immunoglobulin (Ig)-like domain ซึ่งมีการแสดงออกที่มาโครฟาง sialic acids จะมีการแสดงออกบน viral glycoprotein ที่มีความสำคัญต่อไวรัสซึ่งทำปฏิกิริยา กับ pSn (Delputte et al., 2007)

### IFNg

มาโครฟางเกิดจากเซลล์โมโนไซต์ที่มีการพัฒนามาจากเซลล์ต้นกำเนิด (stem cell) ในไขกระดูก มาโครฟางมีความสำคัญมากในการทำหน้าที่ในการตอบสนองภูมิคุ้มกันจากเซลล์ และ antigen presenting cells (APCs) หน้าที่ของมาโครฟางจะกระตุ้นการส่งสัญญาณในการนำเสนอด้วยเชื้อโรคซึ่งทำให้มีการหลั่งสารจำพวก antimicrobial phagocytic ในการทำหน้าที่ในการทำลายเชื้อโรคนั้น และยังสามารถกระตุ้นการหลั่งของ IFNg ซึ่งเป็นไซโ陶ไนค์ที่มีความสำคัญในระบบภูมิคุ้มกันแบบลิมโฟไซต์ชนิดที่การป้องกันการติดเชื้อของไวรัส หน้าที่หลักของไซโ陶ไนค์เป็นการเปลี่ยนแปลงของระบบการตอบสนองทางภูมิคุ้มกันโดยการควบคุมการแสดงออกของโมเดกุลที่สำคัญใน antigen processing รวมทั้งการแสดงออกเช่น transporter of antigenic peptides และ MHC molecules ซึ่งลิมโฟไซต์ชนิดที่จะกระตุ้นการขาดจำของ CTL IFNg จะหลั่งสารต้านไวรัสเมื่อมีการติดเชื้อของสิ่งแปรปรวน ก่อนหน้านี้มีการศึกษาว่า PRRSV มีความสามารถในการกระตุ้นการตอบสนองของต่อระบบภูมิคุ้มกันแบบลิมโฟไซต์ชนิดที่ซึ่งสามารถตรวจสอบได้โดย การเพิ่มจำนวนของลิมโฟไซต์ ในการทดลองสามารถบอกได้ว่า PRRSV มีความสามารถกับลิมโฟไซต์ ที่มีการหลั่ง IFNg ใน การกระตุ้นในห้องปฏิบัติการ IFNg ยังสามารถขับยั้งการแบ่งตัวในเซลล์ของสูกร โดยการขับยั้งการสังเคราะห์ double stranded RNA ที่เหนี่ยวนำ

protein kinase (Murtaugh et al., 2002) และสามารถยับยั้งกระบวนการการเพิ่มจำนวนของ PRRSV ได้ (Bautista and Molitor, 1999)

IFNg เป็น glycoprotein ที่มี 2 แฟ้มิลิคือ type I IFN $\alpha/\beta$  และ type II IFN $\gamma$  (Levy and Sastre, 2001) มีโครงสร้างหลัก 2 ส่วน คือส่วนที่เป็น conserved domain และ aminoterminal site ที่ผิวเซลล์ของ receptor (Sharma and Adlakha, 1994) ทำหน้าที่เป็นสารต้านไวรัสโดยปกติในเซลล์ทั่วไปจะไม่มีการหลัง IFNg แต่เมื่อมีการติดเชื้อจะมีการหลัง IFNg เช่น การติดเชื้อไวรัส ทั้งชนิด RNA และ DNA ไวรัสซึ่งเป็นกลไกในการป้องกันตัวเองของเซลล์

### ผลในการออกฤทธิ์ทางชีวภาพ

IFN มีฤทธิ์ในทางชีวภาพหลายอย่าง เช่น สารต้านไวรัส และ cell multiplication-inhibitory ซึ่งประกอบไปด้วย antitumor, immunomodulation, inhibition ของการสังเคราะห์เซลล์ และการส่งเสริม cytotoxicity เป็นต้น ในเซลล์ที่มีการติดเชื้อด้วยไวรัสนั้นจะมี IFN มากขึ้น

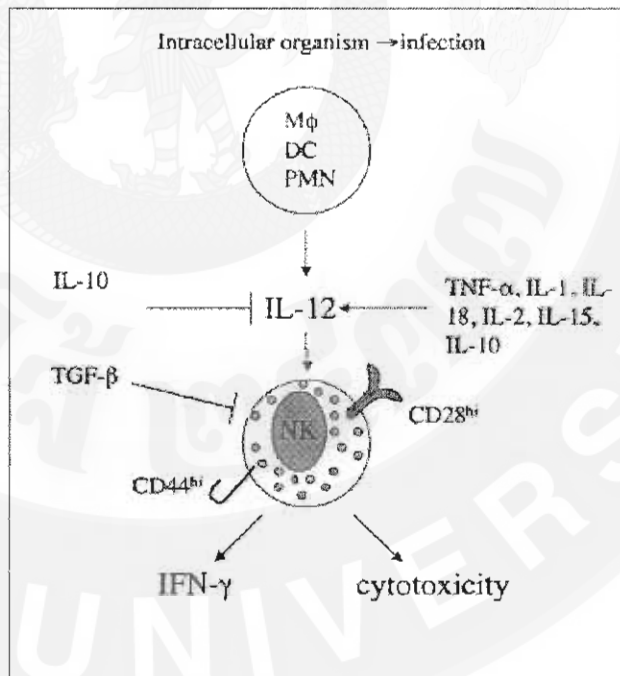
โดย IFN สามารถยับยั้งการสังเคราะห์โปรตีนของไวรัส โดยการยับยั้ง methylation ของ mRNA ไวรัส 5' terminal guanosine 'cap' เป็น unmethylated ในการเปลี่ยนระดับของ S-adenosylmethionine และ S-adenosylhomocysteine ซึ่งเป็นการยับยั้งการสังเคราะห์โปรตีนของไวรัส (Sharma and Adlakha, 1994) IFN สามารถดัดแปลง nucleotide metabolism และเหนี่ยวนำให้เกิด cytoplasmic enzymes ซึ่ง cytoplasmic enzyme นั้นสามารถเหนี่ยวนำ 1) protein kinase ที่เป็นส่วนของ phosphorylates a factor ที่จำเป็นต่อการสังเคราะห์โปรตีน 2) endoribonuclease ที่เป็น active against single-stranded RNA และ 3) การสังเคราะห์ oligoadenylic acid เป็นการเร่ง oligoadenylates ในการยับยั้ง และในการเกิดเป็น polypeptides สายยาว การเติม cytoplasmic enzyme นั้นเป็นการทำให้ acetylglucosaminyl-dolichy phosphates ลดลง ซึ่งจะทำให้ของไขมันของไวรัสถูกปล่อยออกจากเซลล์ (Prescott and Baggot, 1994)

ผลของสารต้านไวรัส ที่เกิดจาก IFNg เช่น การสังเคราะห์ OAS ที่เป็นสารหาดูให้เกิดความเสียหายใน RNA ของไวรัสโดยที่ IFN ไปจับกับเยื่อหุ้มเซลล์ของ receptors อย่างรวดเร็ว IFN ทำให้เกิดการเพิ่มปริมาณของแอนติบอดี้ และมีการนำเสนองานเชื้อโรคต่อ MHC class I และ MHC class II (Prescott and Baggot, 1994 ; Choi et al., 2001)

## การตอบสนองของ NK cell เมื่อมีการติดเชื้อเข้าสู่เซลล์

### การกระตุ้น NK cell ด้วย IL-12 ที่เห็นี่ยวนำให้เกิด IFNg

เมื่อเซลล์ถูกกระตุ้นด้วยการติดเชื้อ จะมีการหลั่ง TNF- $\alpha$  ซึ่งจะเป็นการกระตุ้น NK cell ให้มีการผลิต IFNg ไซโตไนค์ IL-12 จะหลังออกมานาจากมาโคร์ฟاج เดนดริทิกเซลล์ (dendritic cells; DCs) และนิวโโทรฟิล IL-12 ทำให้มีการหลั่งของไซโตไนค์อีกหลายชนิด เช่น TNF- $\alpha$ , IL-1, IL-18, IL-2, IL-15 และ IL-10 ออกมานะเพื่อกระตุ้น NK cell ให้มีการหลั่งของ IFNg ใน การกระตุ้นนี้มีผลในการควบคุมการตอบสนองของผิวเซลล์ เช่น มีการเพิ่มขึ้นของ CD28 CD44 และ cytotoxicity แต่จะมีข้อกำหนดเมื่อเป็นการควบคุมทางลบซึ่งจะมี IL-10 และ Transforming growth factor-beta (TGF- $\beta$ ) เกิดขึ้นในระบบ ซึ่ง IL-10 จะไปยับยั้งไม่ให้เกิด IL-12 TGF- $\beta$  จะไปยับยั้งไม่ให้ NK cell ทำงานที่ได้ดังภาพ 5 (Lieberman and Hunter, 2002)

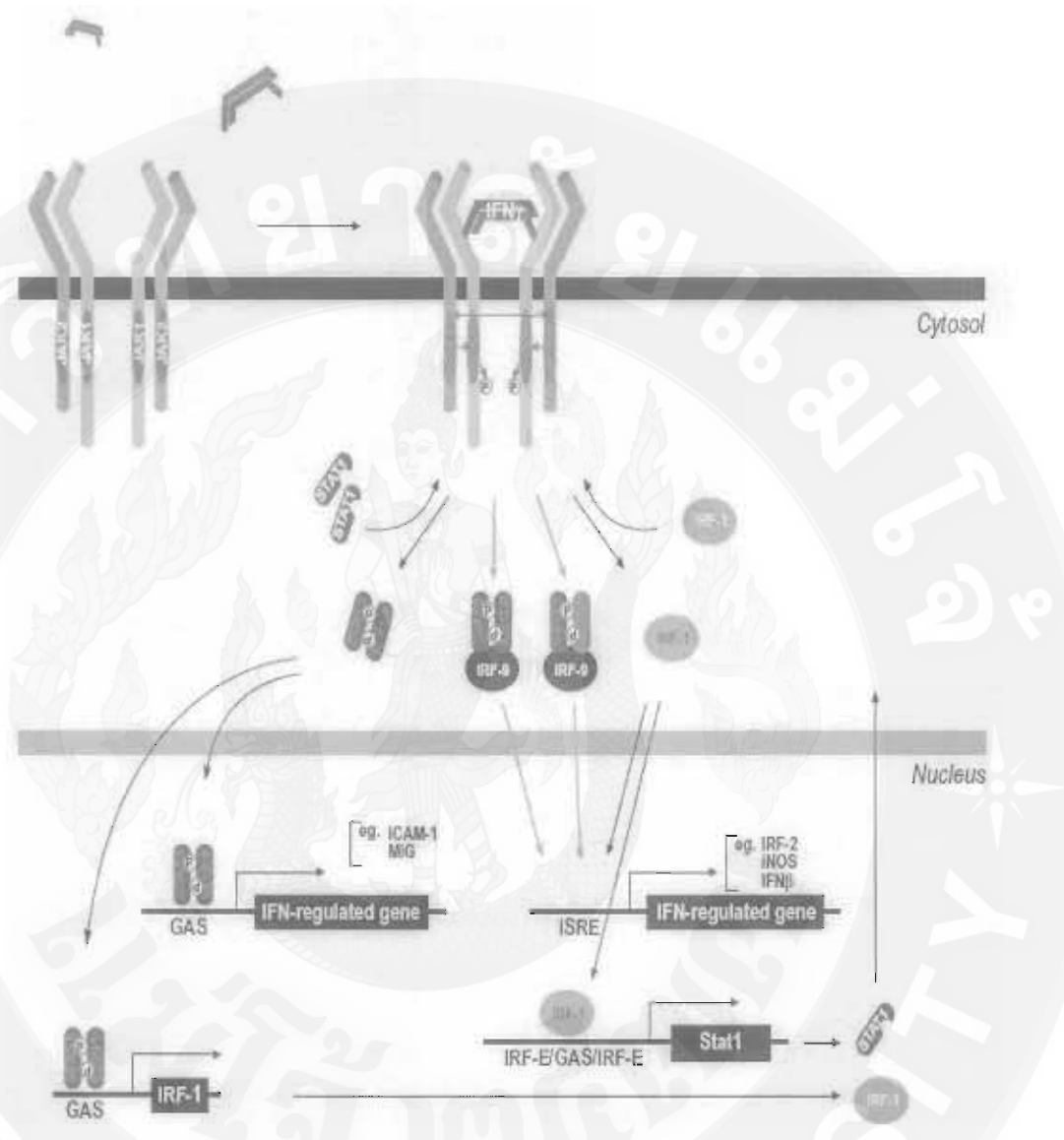


ภาพ 5 การตอบสนองของ NK cell ต่อการติดเชื้อ

ที่มา : Lieberman and Hunter (2002)

### Signal transduction

IFNG receptor (IFN $\gamma$ R)1 และ IFN $\gamma$ R2 เป็น subunits ของ IFN $\gamma$ R ซึ่งได้มีการศึกษาการเกิดขึ้นภายในเซลล์ IFN $\gamma$  เป็น noncovalent homodimer ที่มีการรวมตัวกันแบบทิศกัลับหัว (antiparallel) ใน 2 polypeptides โดยที่จะมีการเหนี่ยวนำ Janus tyrosine kinase (Jak) 2 autophosphorylation และกระตุ้น Jak 1 transphosphorylation ด้วย Jak 2 ซึ่งการกระตุ้น Jak 1 ให้ทำงานได้นั้นจำเป็นต้องมี tyrosines บน IFN $\gamma$ R1 Jak2 อยู่ในรูปที่ยังไม่สามารถทำงานได้ จะอยู่ในรูปที่ทำงานได้ก็ต่อเมื่อมี IFN $\gamma$  เข้ามาจับ และ Jak2 จะเป็นตัวกระตุ้นให้ Jak1 สามารถทำงานได้ เมื่อ signal transducer and activator of transcription (STAT)1 จับคู่กับ phosphorylated ที่อยู่ใกล้ปลาย C terminus ที่ Y701 ของ IFN $\gamma$ R1 จะเกิด phosphorylation ซึ่งจะทำให้แยกจาก STAT1 homodimer จาก receptor ได้ สัญญาณของ IFN $\gamma$  จะถูกเหนี่ยวนำด้วย STAT1:STAT1:IFN เป็น IFN regulatory factor (IRF)-9 และ STAT1:STAT2:IRF-9 เป็น IFN-stimulated gene factor 3 (ISGF3) complexes ซึ่ง STAT1 homodimer จะเข้าสู่นิวเคลียสแล้วรวมกับ promoter IFN $\gamma$  activation site (GAS) เพื่อทำการเริ่มหรือหยุด การถอดรหัสของยีน IFN $\gamma$  ซึ่ง transcription factor ของ IFN $\gamma$  ได้แก่ IRF-1 สามารถกระตุ้นให้เกิดการถอดรหัสของยีน IFN $\gamma$  และ IFN- $\beta$  STAT1:STAT1:IRF-9 heterodimers, ISGF3 และ IRF-1 สามารถรวมกับ IFN stimulate response element (ISRE) promoter ที่ปริเวณยีนเป้าหมายเพื่อควบคุมการถอดรหัส IRF-1 สามารถส่งเสริม STAT1 ผ่าน ISRE site (IRF-E/GAS/IRF-E) (Schroder et al., 2004) (ภาพ 6)



ภาพ 6 IFNg signal transduction

ที่มา : Schroder et al. (2004)

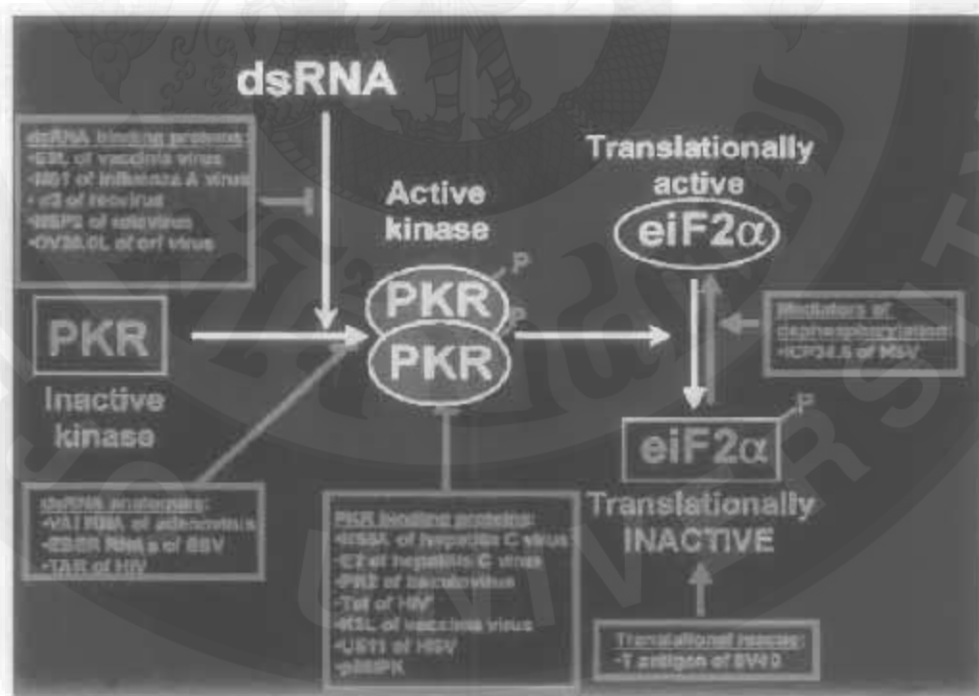
### Antiviral pathways ที่เพิ่มขึ้นโดย IFN

มีหลายร้อยชนิดที่ควบคุมควบคุมโดย IFNs IFN 3 แมมิลิตามารดหนี่บานนำยืนได้ และมีการศึกษาอย่างต่อเนื่อง เนื่องจากยืนนี้สามารถหลั่งสารต้านไวรัส เช่น PKR และ OAS โปรตีนเหล่านี้สามารถขับขึ้นจากการเพิ่มจำนวนของไวรัสได้

## PKR

PKR เป็น cellular protein ซึ่งมี amino terminal regulatory domain และ carboxy terminal catalytic domain ควบคุม domain ที่มี double-stranded RNA (dsRNA) ในการทำกิจกรรม การเร่ง domain ให้มีการตอบสนอง serine/threonine kinase ซึ่งจะถูกสร้างขึ้นเมื่อมีการติดเชื้อไวรัส เชลล์ยูคาริโอตจะเริ่มการแปลรหัสจาก (translation-initiation factor) eIF-2 $\alpha$  เป็นส่วนหนึ่งที่แสดง ผึงสารตัวต้น (substrates) phosphorylated โดย PKR ดังภาพ 7 phosphorylation of eIF-2 $\alpha$  มีผลใน การยั้งยั่งการสังเคราะห์โปรตีน ซึ่งสามารถระดับ PKR ในเชลล์ที่มีการติดเชื้อไวรัส ยันยั้งการ แสดงออกของโปรตีนในไวรัส การเพิ่มจำนวนไวรัส

ซึ่งกลไกของการแปลรหัสเป็นโปรตีนสามารถยับยั้งได้โดย PKR ผลผลิตของ ไวรัสจะถูกควบคุมด้วย PKR pathway เช่น dsRNA binding ซึ่งจะมี p58IPK ที่เป็นตัวยับยั้งอยู่ เชลล์ของ PKR เมื่อมีการติดเชื้อด้วย influenza virus, herpes simplex virus, Epstein-Barr virus, human immunodeficiency virus และ simian virus 40 (Levy and Sastre, 2001)

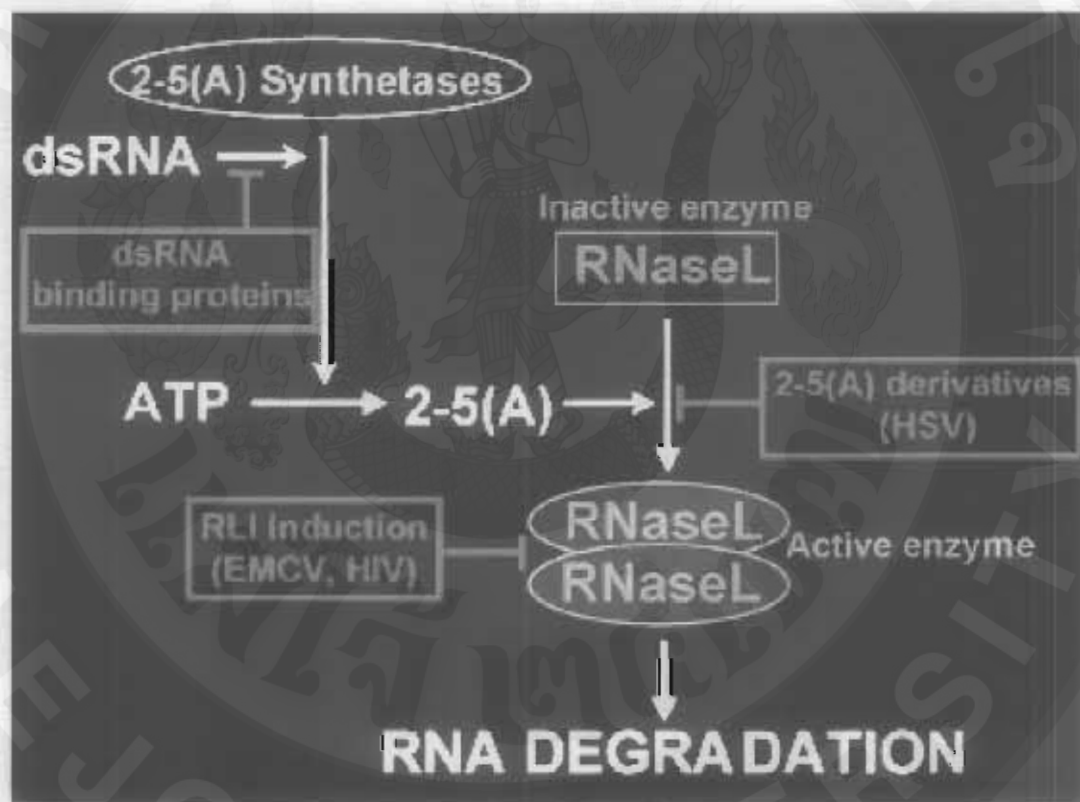


ภาพ 7 PKR pathway

ที่มา : Levy and Sastre (2001)

## OAS

IFN เป็นตัวที่เห็นได้ชัดเจนให้เกิด OAS ซึ่งประกอบไปด้วยหลาย isozymes ที่แตกต่างกันด้วยยีนหลักยืน IFN ใช้นี้เหล่านี้จะทำงานคล้าย PKR ซึ่งสามารถถูกกระตุ้นด้วย dsRNA เมื่อมีการติดเชื้อไวรัส การกระตุ้น OAS ด้วย nucleic acids ที่ผิดปกติรวมอยู่กับ RNaseL ที่ยังไม่ถูกกระตุ้น เมื่อมีการกระตุ้น RNaseL ให้ทำงานสามารถตัดหั้ง mRNA และ rRNA ในไซโตплаสซึ่งของเซลล์เพื่อยับยั่งการแสดงออกของโปรตีน (Levy and Sastre, 2001) ดังภาพ 8



ภาพ 8 OAS pathway

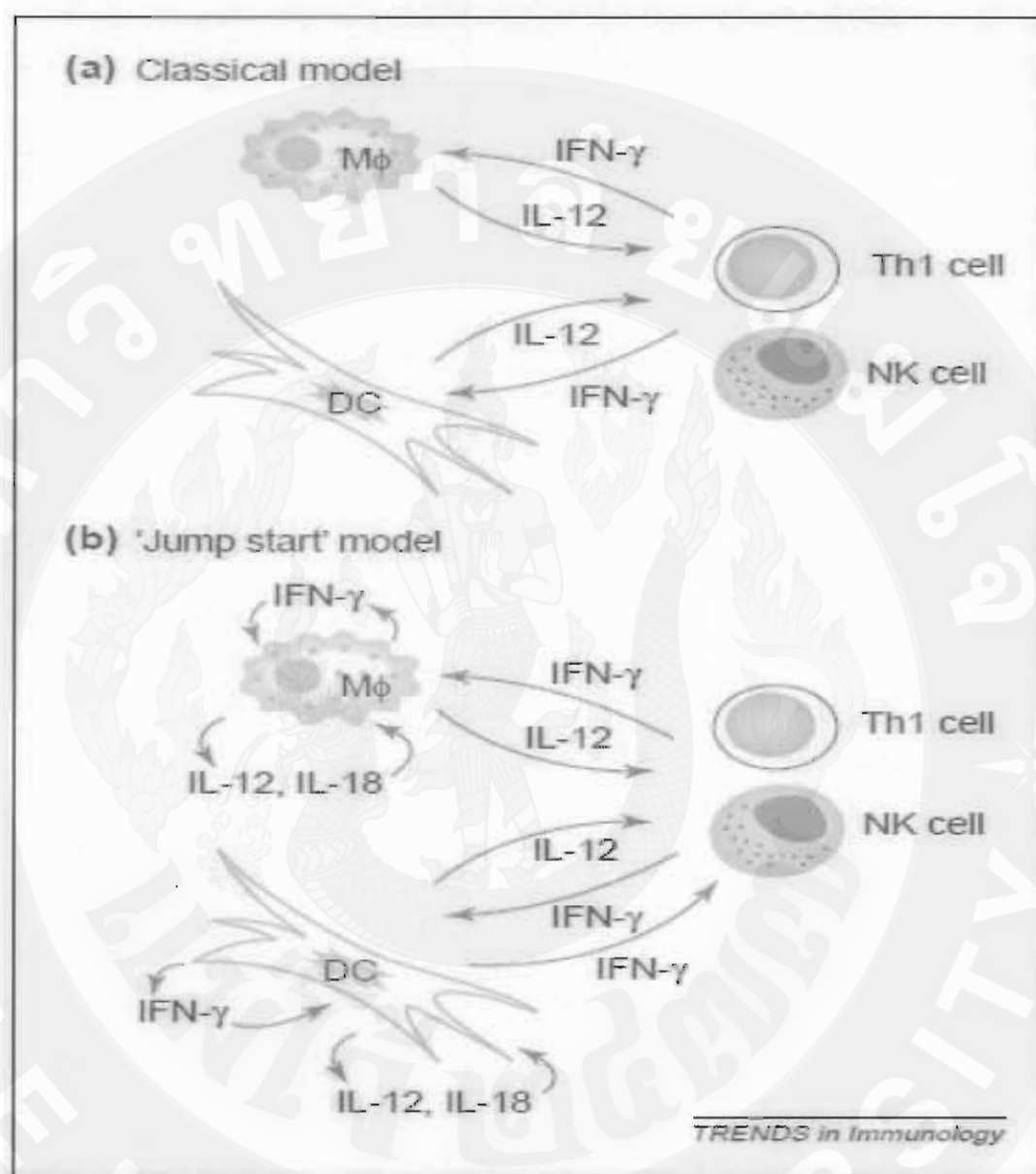
ที่มา : Levy and Sastre (2001)

### กลไกการเกิด IFNg จาก APCs

ปฏิวิริยาระหว่าง APCs และลินไฟไซต์ชนิดที่มีความสำคัญสำหรับการตอบสนองของระบบภูมิคุ้มกันต่อการด้านเชื้อโรค classical model มีขั้นตอนที่สำคัญในการติดเชื้อภายในเซลล์ก่อนที่จะมีการหลัง IFNg โดย NK cell CD4<sup>+</sup> ลินไฟไซต์ชนิดที่ ซึ่ง IFNg ส่งเสริมการแสดงออกของ DCs และมาโครฟاج แล้วยังส่งเสริมการม่าเชื้อภายในเซลล์มาโครฟاج APCs ควบคุมกระบวนการนี้โดย IL-12 ซึ่งจะเหนี่ยวนำให้เกิด IFNg โดย NK cell และ CD4<sup>+</sup> ลินไฟไซต์ชนิดที่ซึ่งเกิดความแตกต่างของ IFNg จาก Th1 ร่วมกับหลาย ๆ ไซโตไคน์ ที่เกิดขึ้นระหว่าง CD4<sup>+</sup> ลินไฟไซต์ชนิดที่และ APCs ในการตอบสนองต่อการติดเชื้อ (ภาพ 9)

Classical model เป็นการกระตุ้นมาโครฟاجและ DCs เหนี่ยวนำให้เกิด IL-12 และ IL-12 จะกระตุ้น NK cell และ Th1 ให้มีการผลิต IFNg ที่มากขึ้น พร้อมที่จะกลับไปกระตุ้นมาโครฟاجและ DCs ให้มีการนำเสนอเชื้อโรคเพิ่มมากขึ้นและม่าเชื้อภายในเซลล์

Jump start model IL-12 ที่สร้างมาจากมาโครฟاجและ DCs สามารถกระตุ้นให้มีการหลัง IFNg ขณะที่มีการนำเสนอเชื้อโรค ซึ่งเป็นผลผลิตจาก NK cell ขบวนการใน APCs สามารถทำหน้าที่ได้ก่อนการติดเชื้อ โดยการส่งเสริมระบบภูมิคุ้มกันต่อเชื้อโรคก่อนที่จะเป็นการป้องกันด้วยระบบภูมิคุ้มกันแบบจำเพาะโดย Th1 (Frucht et al., 2001)



ภาพ ๙ ปฏิกิริยาระหว่าง APCs และ лимโฟไซต์ชนิดที่ ๑

ที่มา : Frucht et al. (2001)

### บทที่ 3

#### วิธีการวิจัย

#### วัสดุอุปกรณ์

##### อุปกรณ์

1. เครื่องแก้วต่าง ๆ
2. กระบอกดูด (cylinder)
3. บีกเกอร์ (beaker)
4. หลอดไมโครทิวบ์ (microtube)
5. ขวดรูปชنمฟู่ (flask)
6. ขวด Duran
7. ไนโตรปิเพตเตอร์ (micropipette)
8. ตะเกียงแอลกอฮอล์
9. นีปตอตโนมัติ (autopipette)
10. ทิป

##### เครื่องมือ

1. ตู้อบ (Hot air oven: Hot air oven: BLINDER, model ED115(E2), Norway)
2. หม้อนึ่งความดันไอน้ำ (Autoclave: Autoclave: Astell Scientific, model ASB260, England)
3. เครื่องปั่น恒温 (ปั่น恒温: MSE, Germany)
4. ตู้อบเพาเชลต์ (Incubator CO<sub>2</sub> 5%: Forma Scientific, USA)
5. ตู้อบเพาเชลต์ (Incubator 37 องศาเซลเซียส: Gallenkamp Scientific, USA)
6. ตู้ปลดเชื้อ (Lamina air flow cabinet class ll : Microtech, UK)
7. เครื่องเขย่าแบบควบคุมอุณหภูมิ (Incubator shaker: Ratek, Australia)
8. เครื่องวัดความเป็นกรด-ค้าง (pH meter: Metrohm, Thailand)

9. อ่างควบคุมอุณหภูมิ (Water bath:Julabo, model TW 20, USA)
10. เครื่องชั่ง 2 ตำแหน่ง (Balance:METTLER-TOLEDO, model PG802-S, Switzerland)
11. เครื่องกวานผสมแบบแม่เหล็กและเตาให้ความร้อน (Magnetic stirrer and hot plate: JENWAY, model 1000, UK)
12. เครื่องวิเคราะห์สารพันธุกรรม (Gel electrophoresis: Gel mate 2000, model GPE-103, Japan)
13. เครื่องเพิ่มปริมาณสารพันธุกรรม (PCR machine: MJ research, model PTC 1196 HB, USA)
14. เครื่องวัดปริมาณโปรตีน (Microplate reader: BIO-RAD, model 680XR, USA)
15. ตู้แช่แข็ง -80 องศาเซลเซียส (Sanyo, Japan)
16. ตู้แช่แข็ง -20 องศาเซลเซียส (Chest-type Ult Freezer: Sanyo, Japan)
17. ตู้แช่ 4 องศาเซลเซียส (Sanyo, Japan)
18. เครื่องปั่นเหวี่ยงความเร็วสูง (Sanyo Harrier 18/80, Japan)
19. เครื่อง Vortex GENIE-2 (Scientific industry, USA)
20. ไมโครเวฟ (Sanyo, Japan)

### สารเคมี

1. Agar powder (Union science)
2. Agarose (Research organic, USA)
3. Ampicillin (Fluka, Switzerland)
4. Ethanol (Merck, Germany)
5. Glycerol (Merck, Germany)
6. Isopropanol (Fisher, UK)
7. Beta-mercaptoethanol (Bio basic, Canada)
8. Yeast extract (Merck, Germany)
9. Ethylenediaminetetraacetic acid (EDTA: J.T. Baker, USA)
10. Phosphate buffer saline (PBS)

11. Histopaque (Steinheim, Germany)
12. Nanofectamin (PAA, Canada)
13. Trizol (Invitrogen, USA)
14. Sodium hydroxide (NaOH: Merck, Germany)
15. Hydrochloric acid (HCl: Merck, Germany)
16. Sodium chloride (NaCl: Merck, Germany)
17. Sodium phosphate, dibasic ( $\text{Na}_2\text{HPO}_4$ : Merck, Germany)
18. Potassium phosphate, monobasic ( $\text{KH}_2\text{PO}_4$ : VWR international, England)
19. Potassium chloride (KCL: Merck, Germany)
20. Ammonium chloride ( $\text{NH}_4\text{Cl}$ : Merck, Germany)
21. Sodium bicarbonate ( $\text{NaHCO}_3$ : Merck, Germany)
22. Phorbol 12-myristate 13-acetate/ionomycin (PMA/I: Calbiochem, Germany)
23. Beef extract (Merck, Germany)
24. Peptone (Merck, Germany)
25. Tryptone (Merck, Germany)
26. Tris (Sigma, USA)
27. TBE (Thermo Scientific, USA)
28. Dimethyl sulfoxide (DMSO: Sigma, USA )
29. Fetal bovine serum (PAA, Canada)

### สารปฎิชีวนะที่ใช้ในงานวิจัย

1. สารปฎิชีวนะแอมพิซิลลิน (ampicillin: Fluka, Switzerland)
2. สารปฎิชีวนะเจ็นิทิซิล (geneticin: Invitrogen, USA)
3. Antibiotic/antimycotic (PAA, Canada)

### ชุดสำเร็จรูป

1. pcDNA™3.1 Directional TOPO® expression kit (Invitrogen, USA)

2. Nucleospin <sup>®</sup>RNA II Purification kit (Machery Nagel, Germany)
3. Endofree <sup>®</sup> Plasmid maxi kit (Qiagen, USA)
4. EZ-10 spin column Plasmid DNA kit (Bio basic, Canada)
5. Porcine IFNg ELISA kit (R&D Systems, USA)
6. Reverse aid First strand cDNA synthesis kit (Fermentas, USA)
7. Superscrip III one step RT-PCR with platinum taq (Invitrogen, USA)

#### **ดีเอ็นเอมาตรฐาน (DNA Markers)**

1. GeneRuler <sup>TM</sup> 1kb DNA ladder (Fermentas, USA)
2. GeneRuler <sup>TM</sup> 100 bp DNA ladder (Fermentas, USA)

#### **เอนไซม์**

1. *Bam*HI (Fermentas, USA)
2. *Pst*I (Fermentas, USA)
3. Hotstart *Taq* DNA polymerase (Fermentas, USA)
4. Vent <sub>R</sub> <sup>®</sup> DNA polymerase (New England Biolabs, USA)

#### **ไซร์เมอร์**

- (F)1\_clone (5'~ CAC C AT GGG TTA TAC AAC TAA TTT-3')
- (R)1\_clone (5'- TTA TTT TGA TGC TCT CTG GCC-3')
- (F)2\_one step (5'- TCT TAC TGC CAG GCG CCC TT-3')
- (R)2\_one step (5'- TGA TGC TCT CTG GCC TTG GAA CA-3')
- (F)3\_T7 (5'- TAA TAC GAC TCA CTA TAG GG-3')
- (R)3\_BGH (5'-TAG AAG GCA CAG TCG AGG-3')

อาหารที่ใช้ในการเพาะเลี้ยงเชลล์และแบบคีเรีย

1. Minimum Essential Media (MEM: Gibco, USA)
2. Luria-Bertani agar
3. RPMI-1640 (Gibco, USA)

เชื้อที่ใช้ในการทดลอง

One Shot<sup>®</sup> TOP10 Chemically Competent *E. coli* (Invitrogen, USA)

เชลล์ที่ใช้ในการทดลอง

MARC-145 ได้รับความอนุเคราะห์จากคณะสัตวแพทยศาสตร์ จุฬาลงกรณ์  
มหาวิทยาลัย

พลาสมิดที่ใช้ในการทดลอง

pcDNA<sup>TM</sup>3.1 Directional TOPO<sup>®</sup> expression kit (Invitrogen, USA)

## วิธีการทดลอง

### การแยกและการกระตุ้น peripheral blood mononuclear cell (PBMC)

#### การปั้นแยก PBMC

ทำการเก็บตัวอย่างเลือดสูตรจากโรงเชื้อคุณภาพทางโภชนาช โดยเก็บเลือดจากบริเวณคอ เก็บเลือดที่ขา ได้ในหลอดเก็บเลือดที่มีสารป้องกันการแข็งตัวของเลือด โดยใช้เลือด 40 มิลลิลิตร ในสารป้องกันการแข็งตัวของเลือด anti-coagulant ซึ่งประกอบด้วย EDTA ความเข้มข้น 0.05 มิลลิกรัม ปริมาตร 5 มิลลิลิตร จากนั้นเจือจางด้วย PBS 10 มิลลิลิตร ในเดือด 10 มิลลิลิตร แล้ว เขย่าให้เข้ากัน ใส่ใน Histopaque (Steinheim, Germany) นำไปปั่นเหวี่ยง (Mse, UK) ที่ความเร็วรอบ 2,500 รอบต่อนาที ที่อุณหภูมิ 25 องศาเซลเซียส เป็นเวลา 30 นาที เกิดการแยกชั้นของเม็ดเลือดแดงและเม็ดเลือดขาว เก็บบริเวณที่เป็นเม็ดเลือดขาวที่มี PBMC ใส่ในหลอดใหม่ แล้วเติม PBS ให้ครบ 20 มิลลิลิตร นำไปปั่นเหวี่ยงที่ความเร็วรอบ 1,200 รอบต่อนาที ที่อุณหภูมิ 4 องศาเซลเซียส เป็นเวลา 10 นาที ทึ่งส่วนใสแล้วเติม RBC lysis buffer 25 มิลลิลิตร เขย่าเป็นเวลา 2-3 นาที และเติม PBS 10 มิลลิลิตร นำไปปั่นเหวี่ยงที่ความเร็วรอบ 1,200 รอบต่อนาที ที่อุณหภูมิ 4 องศาเซลเซียส เป็นเวลา 10 นาที ทึ่งส่วนใสแล้วเติม RPMI-1640 ที่มี fetal bovine serum 5% รวมอยู่ด้วย ปริมาตร 5 มิลลิลิตร มาเลี้ยงในหลุมเลี้ยงเซลล์ 96 หลุม (Nunc) ที่ปรับปริมาณเซลล์  $5 \times 10^6$  เซลล์/มิลลิลิตร ในถุงน้ำ 37 องศาเซลเซียสที่มี  $\text{CO}_2$  5% (Forma Scientific, USA) นาน 24 ชั่วโมง และกระตุ้นด้วยสาร phorbol 12-myristate 13-acetate/ionomycin (PMA/I; Calbiochem, Germany) เป็นเวลา 16 ชั่วโมง

#### เซลล์ยุงคาโรต

เซลล์ที่ใช้ในการทดลองนี้คือเซลล์มะเร็งไಡลิง (MARC-145 ได้รับความอนุเคราะห์จากคณะสัตวแพทยศาสตร์ จุฬาลงกรณ์มหาวิทยาลัย) เนื่องจาก PRRSV สามารถเพิ่มจำนวนในเซลล์ชนิดนี้ได้ (Kim et al., 1993) เพราะเลี้ยงเซลล์ในอาหาร Minimum Essential Media (MEM) ที่มี fetal bovine serum ปริมาณ 5-10% ในสภาวะที่มี  $\text{CO}_2$  5% อุณหภูมิ 37 องศาเซลเซียส

### การสกัด total RNA จาก PBMC

นำเซลล์ที่เลี้ยงใน 96 หลุมที่ถูกกระดิ่น PMA/I แล้วมาขยับเซลล์ด้วย PBS ที่มี 5mM EDTA ใส่ในหลอดทดลองขนาดเล็ก (microcentrifuge tube) นำไปปั่นให้ยังที่ความเร็วรอบ 300xg เป็นเวลา 5 นาที จากนั้นทิ้งส่วนใส่ เติม PBS 200 ไมโครลิตร เพื่อเป็นการล้างเซลล์ แล้วนำไปปั่นให้ยังที่ความเร็วรอบ 300xg เป็นเวลา 5 นาที ทิ้งส่วนใส่ จากนั้นสกัดด้วยชุดสำเร็จรูป nucleospin RNA II (Machery Nagel, Germany )

### การเตรียมชิ้นยืน IFNg

นำ total RNA ที่สกัดได้จาก PBMC ที่ถูกกระดิ่นมาสังเคราะห์ cDNA สายแรกด้วย ชุดสำเร็จรูป reverse aid first strand cDNA synthesis kit (fermentas) โดยใช้ total RNA, random primer และ oligo dT บ่มที่ 70 องศาเซลเซียส นาน 5 นาที จากนั้นเติม 5x reaction buffer, RNase inhibitor และ dNTP mix บ่มที่ 25 องศาเซลเซียส นาน 5 นาที จากนั้นเติม reverse transcriptase แล้วใช้ลำดับปฏิกิริยาดังนี้ 25 องศาเซลเซียส นาน 10 นาที 42 องศาเซลเซียส นาน 60 นาที 70 องศาเซลเซียส นาน 10 นาที

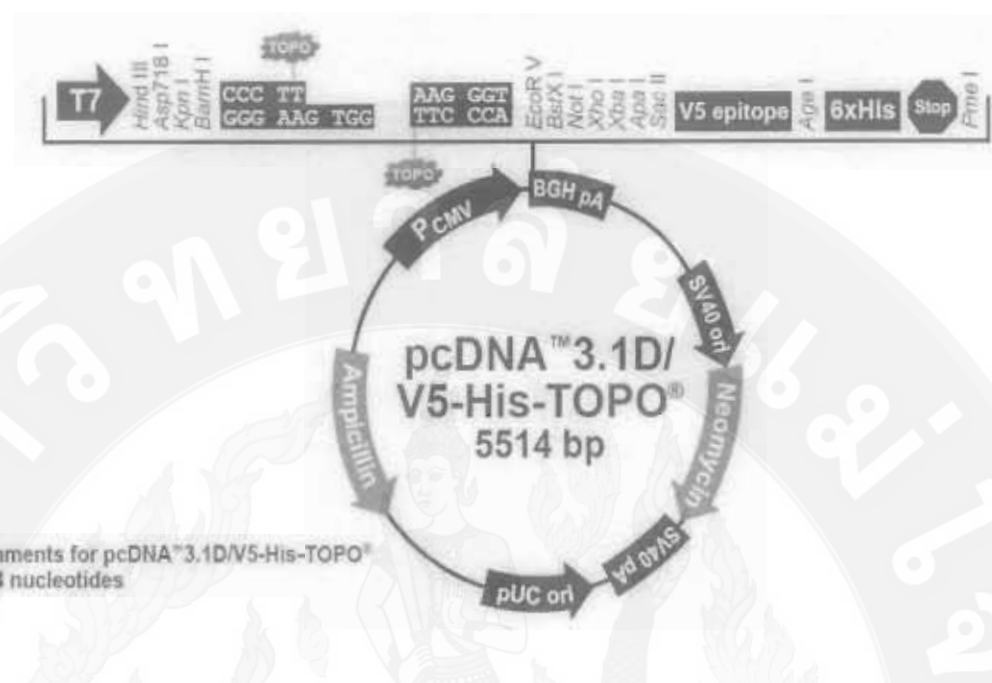
นำ cDNA สายแรกที่ได้มาเพิ่มจำนวน ด้วยเทคนิค PCR โดยใช้ไพร์เมอร์ที่จำเพาะต่อ IFNg ของสูกรที่ออกแบบจากยืน IFNg ของสูกรที่มีรายงานในฐานข้อมูล GenBank (NM\_213948) ดังภาพ 10 ได้แก่ Forward primer 1\_clone ( $5'-\text{CACCATGGGTTATACA}-3'$ ) และ Reverse primer 1\_clone ( $5'-\text{TTATTTGATGC TCTCTGGCC}-3'$ ) ซึ่ง ลำดับเบสที่บีดเส้นได้เป็น start codon และ stop codon ด้วยเอนไซม์ Vent<sup>®</sup> DNA polymerase (New England Biolabs, USA) มีลำดับปฏิกิริยาดังนี้ 95 องศาเซลเซียส นาน 3 นาที จากนั้น 33 รอบ ของ 94 องศาเซลเซียส นาน 3 นาที 55 องศาเซลเซียส นาน 1 นาที 72 องศาเซลเซียส นาน 1 นาที สุดท้ายเป็น 72 องศาเซลเซียส นาน 10 นาที



ภาพ 10 การออกแบบไพร์เมอร์จากยีน IFNg (NM\_213948)

#### การโคลนยีน IFNg เข้าสู่เวกเตอร์ pcDNA™ 3.1D/V5-His-TOPO®

ชิ้นยีน IFNg ที่ได้จะนำมาโคลนเข้าสู่เวกเตอร์ pcDNA™ 3.1 (Invitrogen, USA) ดังภาพ 11 บริเวณของ kozak sequence ดังภาพ 12 และนำเข้าสู่ (transformation) เชลล์ One Shot® TOP10 Chemically Competent *E. coli* (Invitrogen, USA) มีขั้นตอนดังนี้ ปฏิกริยาของ TOPO cloning ประกอบด้วย Fresh PCR product 0.5 ไมโครลิตร Salt solution 1 ไมโครลิตร Sterile water 3 ไมโครลิตร และ pcDNA™ 3.1 1 ไมโครลิตร (cloning reaction) บ่มไว้ที่อุณหภูมิห้อง (22 องศาเซลเซียส) เป็นเวลา 30 นาที วางบนน้ำแข็ง นำ cloning reaction เข้าสู่ *E. coli* บ่มบนน้ำแข็ง 5 นาที จากนั้น Heat-shock cell ที่ 42 องศาเซลเซียส เป็นเวลา 30 วินาที วางบนน้ำแข็งทันที เดิน S.O.C medium 250 ไมโครลิตร ที่อุณหภูมิห้องอย่างรวดเร็ว นำไปเที่ยง 200 รอบต่อนาที ที่ 37 องศาเซลเซียส เป็นเวลา 1 ชั่วโมง แล้วนำไป spread plate 100 ไมโครลิตร และ 200 ไมโครลิตร บน LB agar ที่มีสารปฎิชีวนะแอมพิซิลลิน 50 ไมโครกรัม/มิลลิลิตร บ่มที่ 37 องศาเซลเซียส ข้ามคืน เลือก โคลoni ที่เจริญบน LB agar ที่มีสารปฎิชีวนะแอมพิซิลลิน 50 ไมโครกรัม/มิลลิลิตร ที่เวลา 15-18 ชั่วโมง นำไปเลี้ยงใน LB broth ที่มีสารปฎิชีวนะแอมพิซิลลิน 50 ไมโครกรัม/มิลลิลิตร ที่ 37 องศาเซลเซียส เป็นเวลา 16 ชั่วโมง รอการสกัดพลาสมิด



ภาพ 11 แผนที่เวกเตอร์ pcDNA™ 3.1

CAAT T7 promoter priming site TATA 3' end of CMV promoter Putative transcriptional start

761 CCCATTCAGG CAATGGGGCG GTAGGGGTGT ATGGTGGGAG GCTCTATACAA GCAGAGCTCT CTGGGTAACT AGAGAACCTCA

841 CTGCTTACTG GGTATGAA ATTAAATACGA CTCACTATAG GGAGACCCAA GCTGGGTAGT TTAGCTTGTT ACCGAGCTCG

921 GATCCAGTAC CCTTC ACC ATG ... ARG GGT CAA GAC RAT TCT GCA GAT ATC CAG CAC ACT GGC GGC CGC  
CATG GGAAG TGC TAC TTC CCA GGT CGG Lys Gly Gln Asp Asn Ser Ala Asp Ile Gln His Ser Gly Gly Arg

XbaI ApaI SacI V5 epitope

984 TCG AGT CTA GAG GGC CGG CGG TTC GAA GGT ARG CCT ATC CCT AAC CCT CTC CTC GGT CTC GAT TCT  
Ser Ser Leu Glu Gly Pro Arg Phe Glu Gly Lys Pro Ile Pro Asn Pro Leu Leu Gly Leu Asp Ser

ApaI Polyhistidine region PmeI BGH reverse priming site

1050 ACG CGT ACC GGT CAT CAT CAC CAT CAC CAT TGA GTTTAAACCC GCTGATCAGC CTCGACTGTG CCTTCTAGT  
Thr Arg Thr Gly His His His His His \*\*\* BGH polyadenylation signal

1123 GCGAGCCATC TGTGTGTTTC CGCTCCCCCG TGGCTTCCTT GACCTGGAA CGTGGCACTG CCACCTGCTT TTCTTAATAA

1203 AATGAGGAAA TTGCTATGCA TTGTGTGAGT AGGTGTCAATT CTATTCGGG CGGTGGGGTG GGGCAGGAC

ภาพ 12 บริเวณ kozak sequence

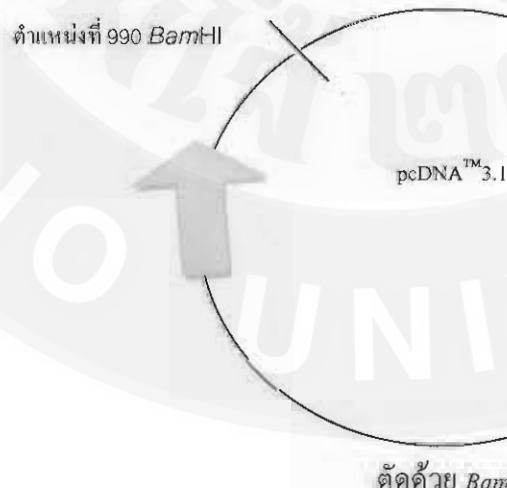
## การตรวจสอบความถูกต้องในการโคณยีน

### สกัดพลาสมิดจาก *E. coli* ตัดด้วยเอนไซม์ตัดจำเพาะ และการหาลำดับนิวคลีโอไทด์

เดินเชือลงไป 1.5 มิลลิลิตร ในหลอดทดลองขนาดเด็กนำไปปั่นให้วิงที่ความเร็วรอบ 12,000 รอบต่อนาที เป็นเวลา 2 นาที ทิ้งส่วนไสแล้วสกัดด้วยชุดสำเร็จรูป EZ-10 spin column plasmid DNA kit (Bio basic, Canada)

#### การตัดด้วย *BamHI, PstI*

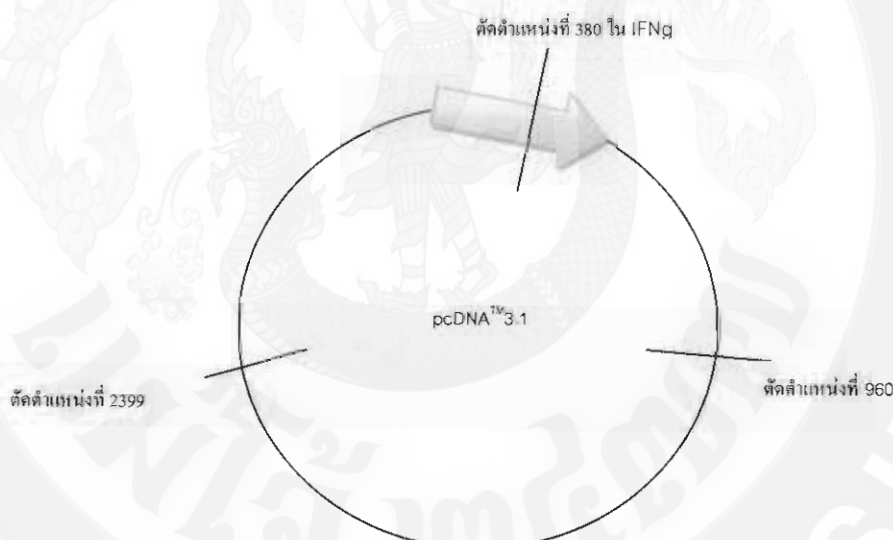
*BamHI* เป็นเอนไซม์ตัดจำเพาะที่บิรเวณของพลาสมิดวงเดอร์เพียงคำแห่งเดียว และไม่สามารถตัดในยีน IFNg ได้ เพราะจะน้ำหนักที่ถูกต้องจึงเป็น 6,000 คู่เบส ดังภาพ 13 โดยมีปฏิกิริยาดังนี้ นำพลาสมิด IFNg มาตัดด้วยเอนไซม์ตัดจำเพาะ *BamHI* ซึ่งในปฏิกิริยา 20 นาที โกรลิตติประกอบด้วย พลาสมิด pIFNg 2 ในโกรลิตติ 10x buffer *BamHI* 2 ในโกรลิตติ *BamHI* (10 μ/ในโกรลิตติ) 1 ในโกรลิตติ และ Nuclease free water 15 ในโกรลิตติ โดยบ่มที่ 37 องศาเซลเซียส เป็นเวลา 1 ชั่วโมง แล้วหยุดการทำงานของเอนไซม์ตัดจำเพาะ ด้วยอุณหภูมิ 80 องศาเซลเซียส เป็นเวลา 20 นาที จากนั้นวิเคราะห์ผลการตัดด้วยเอนไซม์ตัดจำเพาะ โดยเทคนิค อะกาโรสเจลオリเอ็ก trophor หรือวิธี



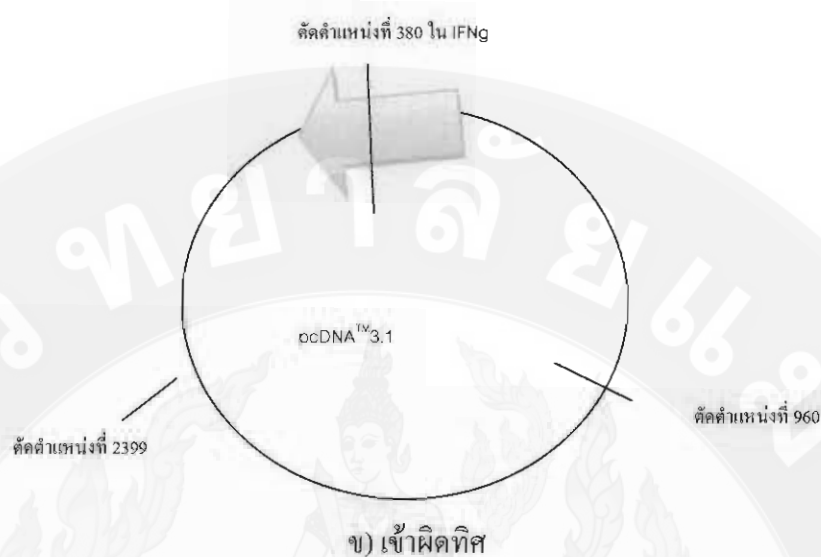
ภาพ 13 การเข้าเชื่อมกันของยีน IFNg ขนาด 500 คู่เบส ในพลาสมิดวงเดอร์ pcDNA™ 3.1

ตรวจสอบความถูกต้องด้วย *BamHI*

เอนไซม์ตัดจำเพาะ *PstI* เป็นเอนไซม์ที่ตัดในพลาสมิเดกเตอร์ 2 ตำแหน่ง คือ ตำแหน่งที่ 960 และ 2,399 ซึ่งจะตัดยีน IFNg ที่ตำแหน่ง 380 เพราะจะนั้นขนาดที่ถูกต้องจึงเป็น 146 คู่เบส 1,439 คู่เบส และ 4,434 คู่เบส แล้วการโคลนเข้าใน One Shot<sup>®</sup> TOP10 Chemically Competent *E. coli* นั้นผิดทิศทาง ขนาดที่ได้จะเป็น 409 คู่เบส 1,439 คู่เบส และ 4,171 คู่เบส ดังภาพ 14 โดยมีปฏิกริยาดังนี้พลาสมิเด *pIFNg* มาตัดด้วยเอนไซม์ตัดจำเพาะ *PstI* ซึ่งในปฏิกริยา 20 ไมโครลิตรปะรุงด้วย พลาสมิเด *pIFNg* 2 ไมโครลิตร 10x buffer O 2 ไมโครลิตร *PstI* (10 μg/ไมโครลิตร) 1 ไมโครลิตร และ Nuclease free water 15 ไมโครลิตร โดยบ่มที่ 37 องศาเซลเซียส เป็นเวลา 1 ชั่วโมง แล้วหยุดการทำงานของเอนไซม์ตัดจำเพาะ ด้วยอุณหภูมิ 80 องศาเซลเซียส เป็นเวลา 20 นาที จากนั้นวิเคราะห์ผลการตัดด้วยเอนไซม์ตัดจำเพาะ โดยเทคนิคของการสแกล็อกไทรฟอร์มิซิส



ก) เข้าลูกทิศ



**ภาพ 14 การเข้าซ่อนกันของยีน IFNg ขนาด 500 คู่เบส ในพลาสมิคเวกเตอร์ pcDNA™ 3.1**

ตรวจสอบความถูกต้องของทิศทางการโคลนด้วย *PstI*

- ก) พลาสมิค pIFNg เข้าแทรกถูกทิศทาง
- ข) พลาสมิค pIFNg เข้าแทรกผิดทิศทาง

#### การหาลำดับนิวคลีโอไทด์

คัดเลือกโคลนที่คาดว่าจะมีพลาสมิค pIFNg ที่เจริญบนอาหาร LB ที่มียาปฏิชีวนะ แอมพิซิลลิน ความเข้มข้น 100 ไมโครกรัม/มิลลิลิตร จากนั้นมาสกัดพลาสมิคเพื่อทำการหาลำดับนิวคลีโอไทด์ด้วย forward primer F3\_T7 ( $5'-TAATACGAC\ TCACTATAAGGG-3'$ ) และ reverse primer R3\_BGH ( $5'-TAGAA\ GGCACAGTCGAGG-3'$ ) โดยสংปรিয়ัก 1<sup>st</sup> base จำกัด

#### การวิเคราะห์ลำดับนิวคลีโอไทด์

การวิเคราะห์ความเหมือนของลำดับนิวคลีโอไทด์โดยใช้โปรแกรม nucleotide blast ([http://blast.ncbi.nlm.nih.gov/Blast.cgi?PROGRAM=blastn&BLAST\\_PROGRAMS=megaBlast&PAGE\\_TYPE=BlastSearch&SHOW\\_DEFAULTS=on&LINK\\_LOC=blasthome](http://blast.ncbi.nlm.nih.gov/Blast.cgi?PROGRAM=blastn&BLAST_PROGRAMS=megaBlast&PAGE_TYPE=BlastSearch&SHOW_DEFAULTS=on&LINK_LOC=blasthome)) บนฐานข้อมูลของ The National Center for Biotechnology Information (NCBI) (<http://www.ncbi.nlm.gov/>)

เปรียบเทียบความเหมือนของลำดับเบสกับฐานข้อมูลด้วยโปรแกรม clustal X และสร้างรูปในโปรแกรม GeneDoc

เปรียบเทียบลำดับกรดอะมิโนที่ได้กับฐานข้อมูลด้วยโปรแกรม Bioedit ด้วยการแปลงรหัสจากนิวคลีโอไทด์เป็นกรดอะมิโนแล้วเปรียบเทียบความเหมือนระหว่างข้อมูลในฐานข้อมูลของ Genbank กับลำดับนิวคลีโอไทด์ของ IFNg

#### นำพลาสมิด pIFNg กำจัด endotoxin

เลือกโคไลนีเดียจากงานอาหารเดี้ยงเชื้อ และลงเชื้อในอาหารเหลว LB 5 มิลลิลิตร ที่มีสารปฏิชีวนะแอมพิซิลลินที่ความเข้มข้น 100 ไมโครกรัม/มิลลิลิตร เขย่าเป็นเวลา 8 ชั่วโมง 37 องศาเซลเซียส เก็บหัวเชื้อ 100-200 ไมโครลิตร ใส่ในอาหารเหลว LB 100 มิลลิลิตร ที่มีสารปฏิชีวนะแอมพิซิลลิน ที่ความเข้มข้น 100 ไมโครกรัม/มิลลิลิตร เขย่าเป็นเวลา 16 ชั่วโมง 37 องศาเซลเซียส เก็บเซลล์ด้วยการปั่นเหวี่ยงที่ 6,000 xg เป็นเวลา 15 นาที ที่อุณหภูมิ 4 องศาเซลเซียส และสกัดด้วย EndoFree<sup>®</sup> plasmid isolation kit (Qiagen)

#### นำพลาสมิด pIFNg มาถ่าย (transfected) เข้าสู่เซลล์ MARC-145

การเตรียมเซลล์ให้มีความหนาแน่นของเซลล์ที่ 30-60 % ด้วยการ subculture cell ของเซลล์ MARC-145 เลี้ยงนาน 16-18 ชั่วโมง (300,000 เซลล์/มิลลิลิตร) ท่อขึ้นในช่วง exponential phase เลี้ยงในสภาพที่มี CO<sub>2</sub> 5% อุณหภูมิ 37 องศาเซลเซียส และเตรียมปฏิกิริยาโดย สารละลายน 1 : nanofectamine (PAA, Canada) 3 ไมโครลิตร ในอาหารที่ไม่มีซีรัม 50 ไมโครลิตร สารละลายน 2 : DNA 1 ไมโครกรัม ในอาหารที่ไม่มีซีรัม 50 ไมโครลิตร นำสารละลายน 1 และสารละลายน 2 ผสมให้เข้ากัน บ่มไว้ 20 นาที เพื่อให้เกิดเป็น DNA:lipid complex เติมสารละลายนที่บรรจุด้วย DNA:lipid complex เข้าไปในเซลล์ MARC-145 ที่มีความหนาแน่นของเซลล์ 30-60 % และเติมอาหารที่ไม่มีซีรัมอีก 400 ไมโครลิตร เลี้ยงในสภาพที่มี CO<sub>2</sub> 5% อุณหภูมิ 37 องศาเซลเซียส เป็นเวลา 5 ชั่วโมง จากนั้นเติมอาหารที่มีซีรัม เข้าไปอีก 500 ไมโครลิตร เลี้ยงในสภาพที่มี CO<sub>2</sub> 5% อุณหภูมิ 37 องศาเซลเซียส นาน 60 ชั่วโมง เก็บอาหารที่ใช้เลี้ยงเซลล์ที่ถูกถ่ายด้วย pIFNg ไว้ที่ -20 องศาเซลเซียส เพื่อทดสอบโปรตีน IFNg ต่อไป

## ตรวจสอบการแสดงออกของยีนในระดับ mRNA และระดับโปรตีน

นำเซลล์ที่ได้จากการถูกถ่ายด้วย pIFNg ไปสกัด total RNA ด้วยสาร trizol (Invitrogen, USA) จากนั้นนำศึกษาการแสดงออกในระดับ mRNA ด้วยเทคนิค RT-PCR โดยใช้ชุดสำเร็จรูป Superscript III one-step RT-PCR with platinum taq (Invitrogen, USA) ด้วย primer ที่มีความจำเพาะต่อยีน IFNg ได้แก่ Forward primer 2\_one step ( $5'$ -TCTTACTGC CAGGCG CCC TT- $3'$ ) และ Reverse primer 2\_one step ( $5'$ -TGATGCTCTGGCCTTCCAACA- $3'$ )

### การสกัด RNA ของ MARC-145 ด้วย Trizol (invitrogen)

ข่ายเซลล์ใส่ในหลอด RNase free ขนาด 1.5 มิลลิลิตร เติม Trizol 250 ไมโครลิตร บ่มที่อุณหภูมิห้องเป็นเวลา 5 นาที เติม Chloroform 50 ไมโครลิตร ผสมด้วยการกลับหลอดไปมา เป็นเวลา 15 วินาที บ่มที่อุณหภูมิห้องเป็นเวลา 3 นาที นำไปปั่นให้วายที่ความเร็วรอบ 12,000 รอบต่อนาที ที่อุณหภูมิห้องเป็นเวลา 15 นาที คุณส่วนใส่ใส่หลอด RNase free ขนาด 1.5 มิลลิลิตร หลอดใหม่ เติม Isopropyl alcohol 125 ไมโครลิตร ผสมด้วยการกลับหลอด บ่มที่อุณหภูมิห้องเป็นเวลา 10 นาทีนำไปปั่นให้วายที่ความเร็วรอบ 12,000 รอบต่อนาที ที่อุณหภูมิห้องเป็นเวลา 10 นาที เทส่วนใส่ทึ้งถังตะกอน RNA ด้วย 75% ethanol 250 ไมโครลิตร ผสมด้วยการกลับหลอด นำไปปั่นให้วายที่ความเร็วรอบ 12,000 รอบต่อนาที ที่อุณหภูมิห้องเป็นเวลา 10 นาที เทส่วนใส่ทึ้งตะกอน RNA แห้ง เป็นเวลา 15 นาที ละลายตะกอนด้วย RNase free water 30 ไมโครลิตร

### การตรวจสอบการแสดงออกของยีนในระดับ mRNA ด้วยวิธี RT-PCR

การตรวจสอบการแสดงออกของยีนในระดับ mRNA ด้วยเทคนิค RT-PCR โดยใช้ชุดสำเร็จรูป Superscript III one-step RT-PCR with platinum taq (Invitrogen) ซึ่งในปฏิกิริยา 50 ไมโครลิตร ประกอบด้วย RNA 5 ไมโครลิตร 2x reaction mix 25 ไมโครลิตร super Script III RT 2 ไมโครลิตร Forward primer 2\_one step ( $5'$ -TCTTACTGC CAGGCG CCC TT- $3'$ ) และ Reverse primer 2\_one step ( $5'$ -TGATGCTCTGGCCTTCCAACA- $3'$ ) 3 ไมโครลิตร RNase inhibitor (30 units/ไมโครลิตร ; Qiagen, USA) 0.3 ไมโครลิตรและ RNase-free H<sub>2</sub>O 11.7 ไมโครลิตร สภาพของ PCR ที่ใช้คือ 55 องศาเซลเซียส เป็นเวลา 30 นาที (RT step) จากนั้นเข้าสู่ 94 องศาเซลเซียส เป็นเวลา 2 นาที (Denature) 55 องศาเซลเซียส เป็นเวลา 45 วินาที (Annealing)

และ 68 องศาเซลเซียส เป็นเวลา 1 นาที (Extension) โดยทำซ้ำจำนวน 40 รอบ จึงเข้าสู่ 72 องศาเซลเซียส เป็นเวลา 5 นาที

#### การตรวจสอบการแสดงออกของยีนในระดับโปรตีนด้วยเทคนิค ELISA

ตรวจสอบโดยใช้ porcine IFNg ELISA kit (R&D Systems, USA) ที่กันหลุนจะเคลือบด้วย mouse monoclonal antibody specific for porcine IFNg ใส่ตัวอย่าง ใช้แอนติบอดีตัวที่ 1 biotinylated polyclonal antibody specific for porcine IFNg ในการจับโปรตีน IFNg ใช้แอนติบอดีตัวที่ 2 streptavidin conjugated to HRP จับกับแอนติบอดีตัวที่ 1 ใส่ substrate คุณภาพเกิดสี

#### การลดลงของไวรัส

50% tissue culture infectious dose ( $TCID_{50}$ ) เป็นความเจือจางของสารคลายไวรัสที่ทำให้เซลล์เพาะเลี้ยงติดเชื้อได้ 50% โดยการเพิ่มจำนวนไวรัส PRRSV ในเซลล์ MARC-145 ที่ปกติ MARC-145 ที่ถูกถ่ายด้วย pcDNA<sup>TM</sup> 3.1 และ MARC-145 ที่ถูกถ่ายด้วย pIFNg นาน 4 วัน และนำไปแช่ที่ -80 องศาเซลเซียส ทำการคลาย (freeze-thaw) 2 ครั้งเพื่อให้เซลล์แตก หลังจากนั้นนำไป ปั่นหนึ่ง ที่ 1000 xg ที่ 4 องศาเซลเซียส เป็นเวลา 10 นาที และเก็บส่วนใส่ที่ -80 องศาเซลเซียส (ส่วนใส่ที่ได้คือ PRRSV)

เลี้ยง MARC-145 ใน 96 หลุม เป็นเวลา 24 ชั่วโมงก่อนใส่ PRRSV นำตัวอย่างของไวรัสจากเซลล์ปกติ เซลล์ที่ถูกถ่ายด้วย pcDNA 3.1 และ จากเซลล์ที่ถูกถ่ายด้วย pIFNg ทำ 10-fold serially dilution และเติมลงไปในหลุม 100 ไมโครลิตร เลี้ยงไว้เป็นเวลา 4 วัน หลังจากที่ใส่ PRRSV 50% tissue culture infectious dose ( $TCID_{50}$ ) คำนวณด้วยวิธีของ Reed and Muench (รุ่งโรจน์, 2548)

#### สถานที่ดำเนินการวิจัย

1. ห้องปฏิบัติการจุลชีววิทยา สาขาวเทคโนโลยีชีวภาพ คณะวิทยาศาสตร์ มหาวิทยาลัยแม่โจ้

2. ห้องปฏิบัติการพันธุศาสตร์โนเกกุ สาขาวันธุศาสตร์ คณะวิทยาศาสตร์ มหาวิทยาลัยแม่โจ้

ระยะเวลาดำเนินการวิจัย

26 มิถุนายน 2552 - 6 ตุลาคม 2554



## บทที่ 4

### ผลการวิจัยและวิจารณ์ผลการวิจัย

#### ผลการวิจัย

การทดลองนี้ต้องการให้บีน IFNg มีการแสดงออกในเซลล์โปรแกรมเมอร์ไอโอตและเซลล์ยูคาริโอต ภายในเวกเตอร์เดียวกัน จึงต้องมีโปร โนเมเตอร์ 2 ชนิดในเวกเตอร์เดียว และมียินต้านยาปฏิชีวะช่วยในการคัดเลือก 2 ยีน ซึ่งประกอบไปด้วยการควบคุมของโปร โนเมเตอร์ T7 เพื่อให้มีการแสดงออกในเซลล์ *E. coli* ซึ่งยินต้านยาปฏิชีวนะในการคัดเลือกคือแอมพิซิลิน (ampicillin resistance) การควบคุมของโปร โนเมเตอร์ CMV เพื่อให้มีการแสดงออกในเซลล์ ยูคาริโอต (MARC-145) ซึ่งมียินต้านยาปฏิชีวนะในการคัดเลือกคือนีโอมัยซิน (neomycin resistance) จึงทำให้การโคลนเข้าไปยังพลาสมิดเวกเตอร์ pcDNA™ 3.1 ใช้สำหรับเข้าสู่ *E. coli* เพื่อใช้ในการเพิ่มจำนวนพลาสมิดได้ และใช้สำหรับการถ่ายเข้าสู่เซลล์ MARC-145 เพื่อใช้ในการศึกษาการแสดงออกในระดับ โปรตีนได้

#### การแยกยีน IFNg

#### การเตรียม PBMC

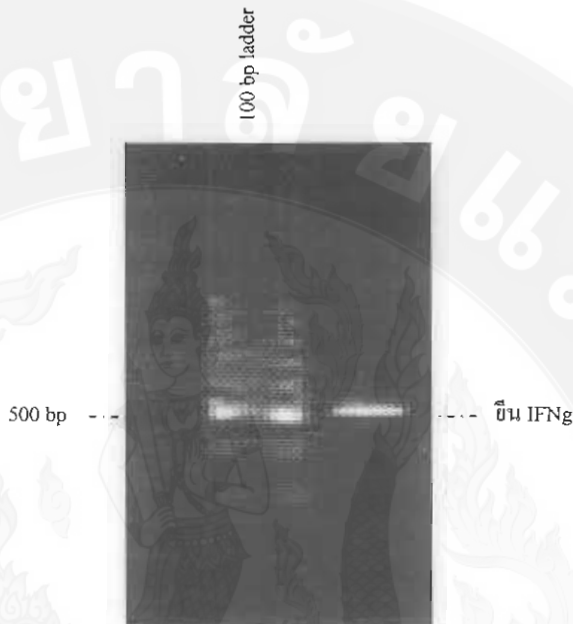
เมื่อนำเลือดสุกรมาปั่นให้ว่าง จนแยกเป็นชั้นของเซลล์ PBMC ดังภาพ 15 ซึ่งเซลล์เหล่านี้จะนำมาเลี้ยงในสภาวะที่มี  $\text{CO}_2$  ปริมาณ 5% และกระตุ้นด้วยสาร PMA/I เพื่อกระตุ้นการแสดงออกของยีน IFNg



ภาพ 15 ชั้นของ PBMC ที่สกัดจากเลือดสูตร

#### การเตรียมชิ้นปืน IFNg

จากการเพิ่มจำนวนของ cDNA ด้วยเทคนิค PCR โดยใช้อเอนไซม์ Vent<sub>R</sub><sup>®</sup> DNA polymerase (New England Biolabs, USA) ด้วยไพร์เมอร์ที่จำเพาะต่อ IFNg ของสุกร ไพร์เมอร์ F1 และ R1 พบว่าได้ผลผลิตขนาด 500 คู่เบส ดังภาพ 16 ซึ่งเป็นไปตามคาดหมาย (ดังภาพ 10) และนำมาหาความเข้มข้น ด้วยเทคนิคของการสแกล็อกโถรฟอริชิส โดยใช้เจลที่ความเข้มข้นร้อยละ 2 เทียบกับ DNA มาตรฐาน ได้ cDNA ที่มีความเข้มข้น 17.35 นาโนกรัม/ไมโครลิตร



ภาพ 16 ผลการทำ RT-PCR ของชีน IFNg จาก PBMC

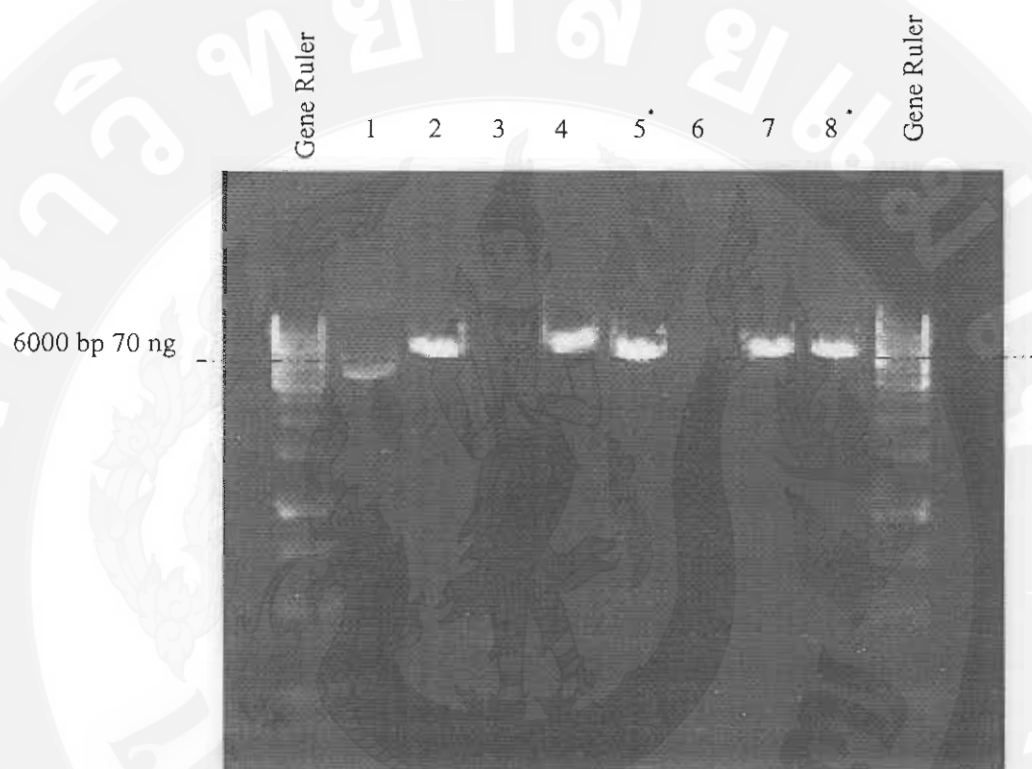
#### การโคณยืน IFNg เข้าสู่เวกเตอร์ pcDNA™ 3.1

ชีน IFNg ที่ได้จากเทคนิค PCR จะโคณเข้าสู่พลาสมิด pcDNA™ 3.1 ได้เป็นพลาสมิด pIFNg และนำเข้าสู่ *E.coli* ด้วยวิธีการ chemical transformation ภายใต้การควบคุมการแสดงออกของโปรโนมเตอร์ T7 และวัสดุเลือกโคโลนีด้วยยาปฏิชีวนะแอมพิชิลิน ทำการสกัดพลาสมิดด้วยชุดสกัด EZ-10 spin column plasmid DNA kit (Bio basic, Canada) จากนั้นทำการตัดด้วยเอนไซม์ตัดจำเพาะ เพื่อตรวจสอบความถูกต้องของพลาสมิดตามแผนที่พลาสมิด

#### การตัดด้วย *Bam*HI, *Pst*I

ตัดด้วยเอนไซม์ตัดจำเพาะ *Bam*HI ซึ่งเป็นเอนไซม์ที่ตัดในพลาสมิดเวกเตอร์ 1 ตำแหน่งที่ 990 และไม่สามารถตัดในชีน IFNg โดยการเปรียบเทียบขนาดที่ได้ ซึ่ง พลาสมิด pIFNg จะต้องมีขนาดที่ใหญ่กว่าพลาสมิดเวกเตอร์ที่ไม่ได้รับชีน IFNg แยกขนาดดีเย็นเอด้วยเทคนิค

อะก้าโรสเจลอิเล็กโทรโฟรีซีส โดยใช้เจลเข้มข้น 1% พนว่า พลาสมิดที่ได้ทั้ง 8 โคลอนีนั้นมีขนาดที่แตกต่างกัน ซึ่งขนาดที่ถูกต้อง คือ 6000 คู่เบส ได้แก่ โคลอนีที่ 2 4 5 และ 8 (ภาพ 17)



ภาพ 17 การคัดเลือกโคลอนีของ *E. coli* ที่คาดว่าได้รับยีน IFNg ด้วยการตัดด้วยเอนไซม์ตัดจำเพาะ

*BamHI*

หมายเหตุ: Gene Ruler™ คือ ดีเอ็นเอมาตรฐาน Gene Ruler™ DNA Ladder, 1-8 คือ โคลอนีของ *E. coli* ที่มี พลาสมิด pIFNg, \* คือ โคลอนีที่เลือก

เอนไซม์ *PstI* ซึ่งเป็นเอนไซม์ที่ตัดในพลาสมิดเวกเตอร์ 2 ตำแหน่ง คือตำแหน่งที่ 960 และ 2,399 และจะตัดยีน IFNg ที่ตำแหน่ง 380 เพราะจะนับขนาดที่ถูกต้องจึงเป็น 146 คู่เบส 1,439 คู่เบส และ 4,434 คู่เบส แต่ถ้าการนำเข้าสู่ *E. coli* นั้นผิดทิศทาง ขนาดที่ได้จะเป็น 409 คู่เบส 1,439 คู่เบส และ 4,171 คู่เบส

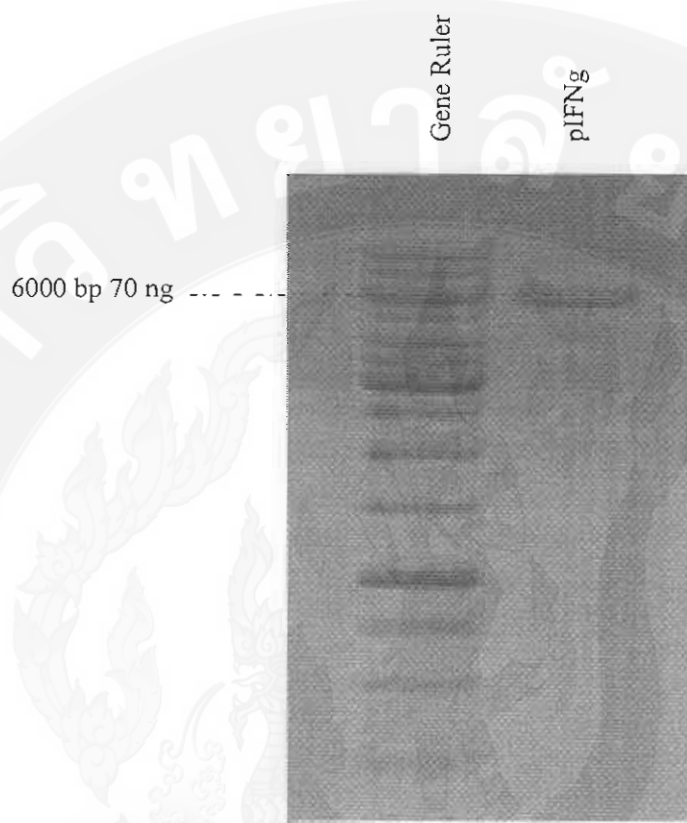


ภาพ 18 พลาสมิคเวกเตอร์ที่คาดว่าจะได้รับยีน IFNg ตัดด้วยเอนไซม์ตัดจำเพาะ *PstI*

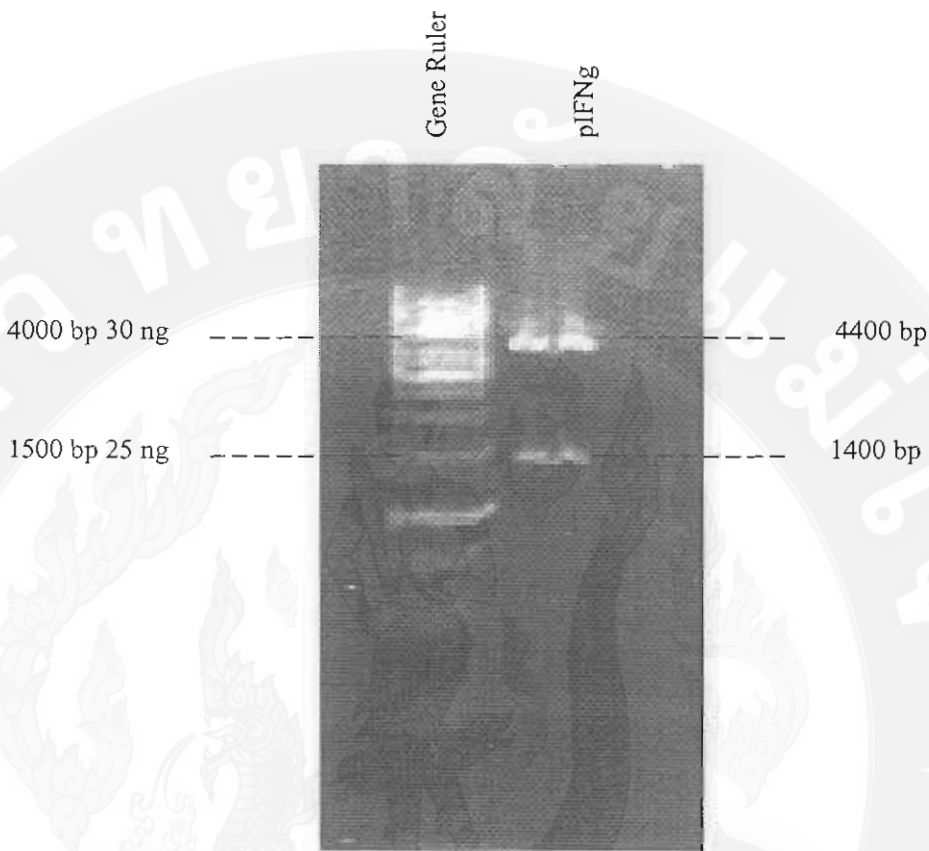
หมายเหตุ: Gene Ruler<sup>TM</sup> คือ ดีเอ็นเอกมารฐาน Gene Ruler<sup>TM</sup> DNA Ladder, 1-10 คือ โคลนีของ *E.coli* ที่นำมาตัดด้วยเอนไซม์ตัดจำเพาะ *PstI*, \* คือ โคลนที่เลือก

จากการตรวจสอบพลาสมิคเวกเตอร์ที่ตัดด้วย *PstI* พบร่วมกับ 3 โคลนที่ได้คาดว่าได้รับยีน IFNg ที่คัดเลือกด้วยเทคนิคของการสกรอลลิสต์โดยใช้เจลเข้มข้น 1% พบร่วงโคลนที่ 3, 5 และ 8 มีขนาด 1,439 คู่เบส และ 4,434 คู่เบส ดังที่คาดไว้ว่าซึ่งเป็นการโคลนที่ถูกทิศทาง

หลังจากที่มีการคัดเลือกโคลนที่คาดว่าจะมียีน IFNg ได้นำมาตัดด้วยเอนไซม์ตัดจำเพาะ *BamHI* และ *PstI* อีกครั้งเพื่อเป็นการตรวจสอบความถูกต้อง (ภาพ 19 และภาพ 20) และแยกขนาดดีเอ็นเอด้วยเทคนิคของการสกรอลลิสต์โดยใช้เจลเข้มข้น 1%



ภาพ 19 การตรวจสอบความถูกต้องจากการคัดเลือกโคโนนีของ *E. coli* ที่คาดว่าได้รับยีน IFNg ด้วยการตัดด้วยเอนไซม์ตัดจำเพาะ *Bam*HI



ภาพ 20 การตรวจสอบความถูกต้องจากการคัดเลือกโคลนีของ *E.coli* ที่คาดว่าได้รับยีน IFNg ด้วยการตัดด้วยเอนไซม์ตัดจำเพาะ *PstI*

และนำไปหาลำดับเบสได้ดังภาพ 21 ซึ่งเมื่อนำไปเปรียบเทียบกับข้อมูลในฐานข้อมูล GenBank พบร่วมกับความเหมือนกับยีน IFNg ที่รายงานไว้ (NM\_213948) ที่ใช้ในการออกแบบไพร์เมอร์ 99% เกิดการแทนที่ของเบส A เป็น G ที่ตำแหน่ง 4 และ 438 ในตำแหน่งที่ 438 ไม่มีผลต่อลำดับกรดอะมิโน ตำแหน่ง 4 มีการแทนที่จากเบส A เป็น G ทำให้เกิดกรดอะมิโนที่เปลี่ยนจาก serine (ภาพ 22) เป็น glycine (ภาพ 23) ซึ่งเป็นการเปลี่ยนแปลงแบบ neutral mutation แต่ไม่พบร่วมการเปลี่ยนแปลงหน้าที่ของโปรตีน เนื่องจากเป็นกรดอะมิโนในกลุ่มเดียวกันและมีสารตั้งต้นในการสร้างเดียวกันคือ 3-phosphoglycerol เมื่อนอกัน และ เป็นกรดอะมิโนในกลุ่มเดียวกัน (มีข้อโน้มประจุ หมู่ R มีอิเล็กตรอนให้สารอื่นได้ แต่ไม่สามารถแตกตัวเป็นประจุได้)

ผลการทดลองแสดงให้เห็นว่ายีนที่แยกได้นั้นเป็นยีน IFNg และเมื่อนำลำดับเบสไปแปลงรหัสด้วยโปรแกรม bioedit พบร่วมสามารถแปลงรหัส ได้เป็นโปรตีนขนาด 19.45 kDa

\* 20 \* 40 \* 60 \* 80 \* 100 \*

213948 : ATGATACACTTATTCTAGCTTTAGCTTGCCTGACTTGTCTTCIGGTCTTACTGCCAGGCCCTTTAAAGAAATAACGATCTAAAGGACTATT : 112  
IFNg : ATGATACACTTATTCTAGCTTTAGCTTGCCTGACTTGTCTTCIGGTCTTACTGCCAGGCCCTTTAAAGAAATAACGATCTAAAGGACTATT : 112

120 \* 140 \* 160 \* 180 \* 200 \* 220

213948 : TTAATGCAAGTACCTCAGATGTACCTAATGGGGACCTCTTTCTTAGAAATTGAAAGATTGGAAAGAGGGAGTGACAAAAAAATAATTCAAGGCCAAATTGTCTCTT : 224  
IFNg : TTAATGCAAGTACCTCAGATGTACCTAATGGGGACCTCTTTCTTAGAAATTGAAAGATTGGAAAGAGGGAGTGACAAAAAAATAATTCAAGGCCAAATTGTCTCTT : 224  
TTAATGCAAGTACCTCAGATGTACCTAATGGGGACCTCTTTCTTAGAAATTGAAAGATTGGAAAGAGGGAGTGACAAAAAAATAATTCAAGGCCAAATTGTCTCTT

\* 240 \* 260 \* 280 \* 300 \* 320 \*

213948 : CTACTTCAAATTCTTGAAATCTTCAAAGATAACCAGGCCATTCAAAGGAGCATGGATGTGATCAAGCAAGACATGTTCAAGGGTCTAAATGGTAGCTCTGGAAACTG : 336  
IFNg : CTACTTCAAATTCTTGAAATCTTCAAAGATAACCAGGCCATTCAAAGGAGCATGGATGTGATCAAGCAAGACATGTTCAAGGGTCTAAATGGTAGCTCTGGAAACTG : 336  
CTACTTCAAATTCTTGAAATCTTCAAAGATAACCAGGCCATTCAAAGGAGCATGGATGTGATCAAGCAAGACATGTTCAAGGGTCTAAATGGTAGCTCTGGAAACTG

340 \* 360 \* 380 \* 400 \* 420 \* 440

213948 : AATGACTCGAAAAGCTGATAAAATCCGGTAGATAATCTGCAGATCCAGCGCAAAGCCATCAGTGAACATCATAAAGTGTGAATGATCTGTCAACCTGCTAACTAA : 448  
IFNg : AATGACTCGAAAAGCTGATAAAATCCGGTAGATAATCTGCAGATCCAGCGCAAAGCCATCAGTGAACATCATAAAGTGTGAATGATCTGTCAACCTGCTAACTAA : 448  
AATGACTCGAAAAGCTGATAAAATCCGGTAGATAATCTGCAGATCCAGCGCAAAGCCATCAGTGAACATCATAAAGTGTGAATGATCTGTCAACCTGCTAACTAA

\* 460 \* 480 \* 500

213948 : GAAAGCGGAAAGAGAAGTCAGACTATGTTCCAAGGCCAGAGAGCATCAAAATAA : 501  
IFNg : GAAAGCGGAAAGAGAAGTCAGACTATGTTCCAAGGCCAGAGAGCATCAAAATAA

ภาพ 21 การเปรียบเทียบลำดับนิวคลีโอไทด์ของ IFNg ของสุกร กับ IFNg ที่ปรากฏในฐานข้อมูล Genbank (NM\_213948)

&gt;IFNg

1	ATG AGT TAT ACA ACT TAT TTC TTA GCT TTT CAG CTT TGC GTG ACT	45
1	Met Ser Tyr Thr Thr Tyr Phe Leu Ala Phe Gln Leu Cys Val Thr	15
46	TTG TGT TTT TCT GGC TCT TAC TGC CAG GCG CCC TTT TTT AAA GAA	90
16	Leu Cys Phe Ser Gly Ser Tyr Cys Gln Ala Pro Phe Phe Lys Glu	30
91	ATA ACG ATC CTA AAG GAC TAT TTT AAT GCA AGT ACC TCA GAT GTA	135
31	Ile Thr Ile Leu Lys Asp Tyr Phe Asn Ala Ser Thr Ser Asp Val	45
136	CCT AAT GGT GGA CCT CTT TTC TTA GAA ATT TTG AAG AAT TGG AAA	180
46	Pro Asn Gly Gly Pro Leu Phe Leu Glu Ile Leu Lys Asn Trp Lys	60
181	GAG GAG AGT GAC AAA AAA ATA ATT CAG AGC CAA ATT GTC TCC TTC	225
61	Glut Glu Ser Asp Lys Lys Ile Ile Gln Ser Gln Ile Val Ser Phe	75
226	TAC TTC AAA TTC TTT GAA ATC TTC AAA GAT AAC CAG GCC ATT CAA	270
76	Tyr Phe Phe Glu Ile Phe Lys Asp Asn Gln Ala Ile Gln	90
271	AGG AGC ATG GAT GTG ATC AAG CAA GAC ATG ATT CAG AGG TTC CTA	315
91	Arg Ser Met Asp Val Ile Lys Gln Asp Met Phe Gln Arg Phe Leu	105
316	AAT GGT AGC TCT GGG AAA CTG AAT GAC TTC GAA AAG CTG ATT AAA	360
106	Asn Gly Ser Ser Gly Lys Leu Asn Asp Phe Glu Lys Leu Ile Lys	120
361	ATT CCG GTA GAT AAT CTG CAG ATC CAG CGC AAA GCC ATC AGT GAA	405
121	Ile Pro Val Asp Asn Leu Gln Ile Gln Arg Lys Ala Ile Ser Glu	135
406	CTC ATC AAA GTG ATG AAT GAT CTG TCA CCA AGA TCT AAC CTA AGA	450
136	Leu Ile Lys Val Met Asn Asp Leu Ser Pro Arg Ser Asn Leu Arg	150
451	AAG CGG AAG AGA AGT CAG ACT ATG TTC CAA GGC CAG AGA GCA TCA	495
151	Lys Arg Lys Arg Ser Gln Thr Met Phe Gln Gly Gln Arg Ala Ser	165
496	AAA TAA 501	
166	Lys End	

ภาพ 22 ลำดับเบสและลำดับของกรดอะมิโนของยีน IFNg ของสุกรในฐานข้อมูล GeneBank  
(NM\_213948)

&gt;IFNg

1	ATG GGT TAT ACA ACT TAT TTC TTA GCT TTT CAG CTT TGC GTG ACT	45
1	Met Gly Tyr Thr Thr Tyr Phe Leu Ala Phe Gln Leu Cys Val Thr	15
46	TTG TGT TTT TCT GGC TCT TAC TGC CAG GCG CCC TTT TTT AAA GAA	90
16	Leu Cys Phe Ser Gly Ser Tyr Cys Gln Ala Pro Phe Phe Lys Glu	30
91	ATA ACG ATC CTA AAG GAC TAT TTT AAT GCA AGT ACC TCA GAT GTA	135
31	Ile Thr Ile Leu Lys Asp Tyr Phe Asn Ala Ser Thr Ser Asp Val	45
136	CCT AAT GGT GGA CCT CTT TTC TTA GAA ATT TTG AAG AAT TGG AAA	180
46	Pro Asn Gly Gly Pro Leu Phe Leu Glu Ile Leu Lys Asn Trp Lys	60
181	GAG GAG AGT GAC AAA AAA ATA ATT CAG AGC CAA ATT GTC TCC TTC	225
61	Glut Glu Ser Asp Lys Lys Ile Ile Gln Ser Gln Ile Val Ser Phe	75
226	TAC TTC AAA TTC TTT GAA ATC TTC AAA GAT AAC CAG GCC ATT CAA	270
76	Tyr Phe Phe Glu Ile Phe Lys Asp Asn Gln Ala Ile Gln	90
271	AGG AGC ATG GAT GTG ATC AAG CAA GAC ATG ATT CAG AGG TTC CTA	315
91	Arg Ser Met Asp Val Ile Lys Gln Asp Met Phe Gln Arg Phe Leu	105
316	AAT GGT AGC TCT GGG AAA CTG AAT GAC TTC GAA AAG CTG ATT AAA	360
106	Asn Gly Ser Ser Gly Lys Leu Asn Asp Phe Glu Lys Leu Ile Lys	120
361	ATT CCG GTA GAT AAT CTG CAG ATC CAG CGC AAA GCC ATC AGT GAA	405
121	Ile Pro Val Asp Asn Leu Gln Ile Gln Arg Lys Ala Ile Ser Glu	135
406	CTC ATC AAA GTG ATG AAT GAT CTG TCA CCA AGG TCT AAC CTA AGA	450
136	Leu Ile Lys Val Met Asn Asp Leu Ser Pro Arg Ser Asn Leu Arg	150
451	AAG CGG AAG AGA AGT CAG ACT ATG TTC CAA GGC CAG AGA GCA TCA	495
151	Lys Arg Lys Arg Ser Gln Thr Met Phe Gln Gly Gln Arg Ala Ser	165
496	AAA TAA 501	
166	Lys End	

ภาพ 23 ลำดับเบสและลำดับของกรดอะมิโนของยีน IFNg ของสุกรที่แยกได้จาก PBMC

### นำพลาสมิด pIFNg กำจัด endotoxin

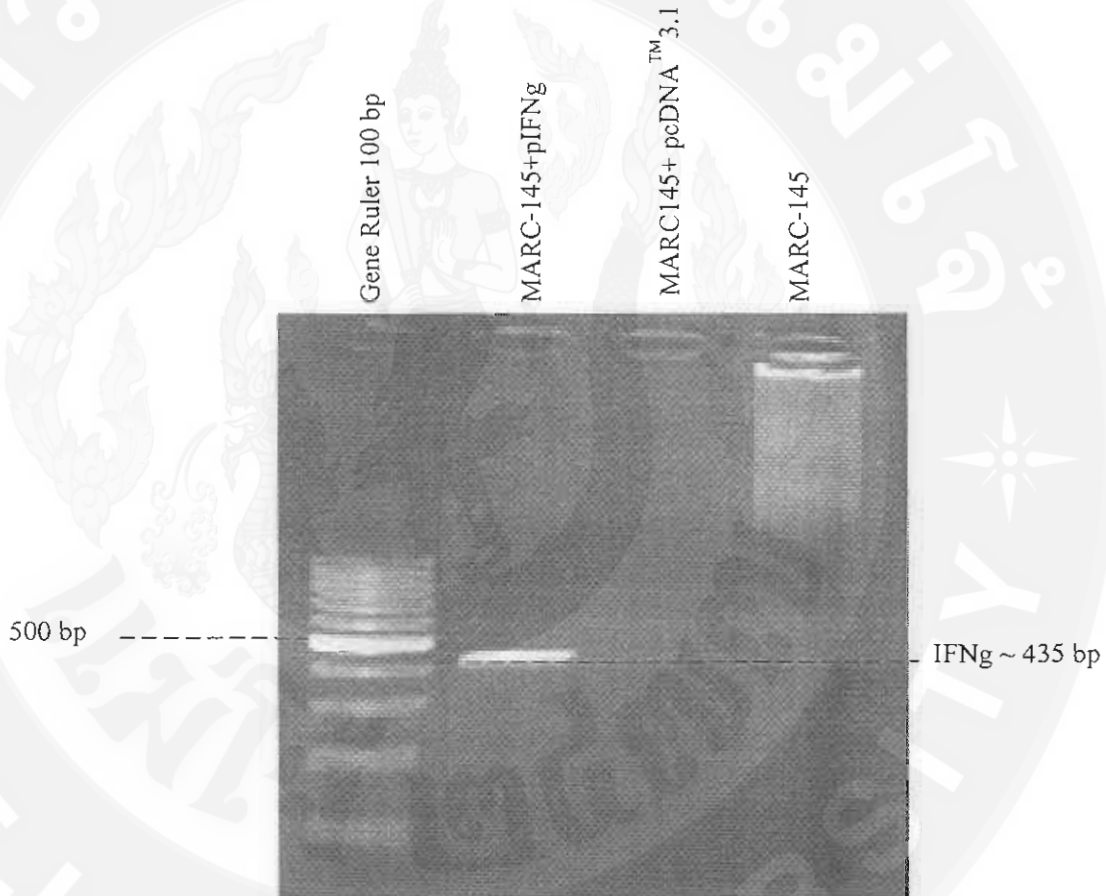
เมื่อได้ทำการคัดเลือกโคลนีที่ถูกต้องแล้ว นำไปเลี้ยงในอาหารเหลวและสกัดพลาสมิด เพื่อกำจัดจากการปนเปื้อนของ endotoxin bacteria ที่อาจจะทำให้เกิดการรบกวนในการทำการทดลอง โดยการใช้ชุดสกัด endofree<sup>®</sup> Plasmid maxi kit (Qiagea,USA) ซึ่งจะใช้กับโคลนีของ พลาสมิด pIFNg และ pcDNA<sup>™</sup>3.1 จะเห็นความแตกต่างระหว่างพลาสมิด pIFNg และ pcDNA<sup>™</sup>3.1 ประมาณ 500 คู่เบส (ภาพ 24)



ภาพ 24 พลาสมิด pIFNg และ pcDNA<sup>™</sup>3.1 หลังจากกำจัด endotoxin เพื่อดูความแตกต่างของขนาดดีเอ็นเอที่ค้างกัน 500 คู่เบส

หมายเหตุ: Gene Ruler<sup>™</sup> คือ ตีอีนเอนามารฐาน Gene Ruler<sup>™</sup> DNA Ladder, pcDNA<sup>™</sup>3.1 คือ พลาสมิดวงแหวนที่ไม่ได้รับยืน IFNg, pIFNg คือ พลาสมิดที่ได้รับยืน IFNg

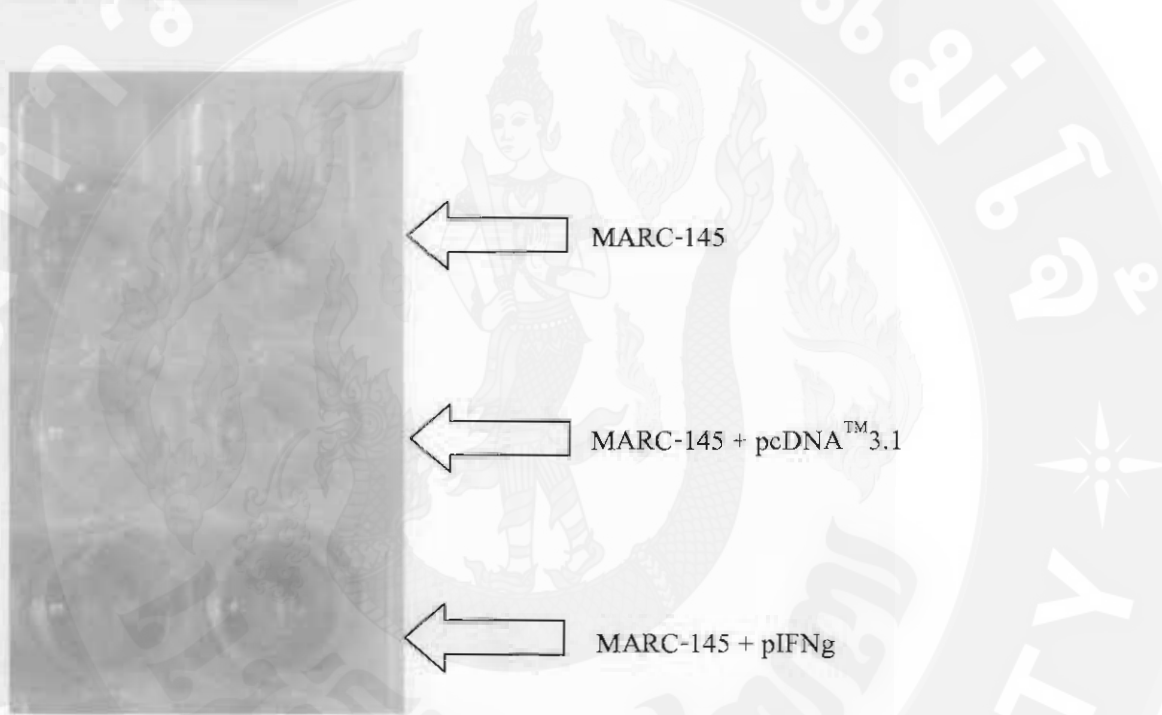
พลาสมิค pIFNg เมื่อถูกถ่ายเข้าสู่เซลล์ MARC-145 นำเซลล์มาทำ RT-PCR ด้วย ไซเมอร์ที่มีความจำเพาะต่อสิน IFNg เพื่อศึกษาการแสดงออกของยีน IFNg ในระดับ mRNA ดัง ภาพ 25 ที่มีขนาด 435 คู่เบส จากเซลล์ MARC-145 ที่ถูกถ่ายด้วยพลาสมิค pIFNg เท่านั้น และได้ทำการเลี้ยงเซลล์ MARC-145 ที่ถูกถ่ายด้วยพลาสมิค pIFNg ในสารปฏิชีวะเจนิทซิล 500 ไมโครกรัม/มิลลิลิตร (ดูผลการทดสอบเซลล์จากภาคผนวก)



ภาพ 25 การแสดงออกของพลาสมิค pIFNg เมื่อถูกถ่ายเข้าสู่เซลล์ MARC-145 เป็นเวลา 60 ชั่วโมง โดยการเก็บเซลล์ม้วนวิเคราะห์ RNA โดยเทคนิค RT-PCR

หมายเหตุ: Gene Ruler™ คือ ตีอีนเอนามารฐาน Gene Ruler™ DNA Ladder, MARC-145+pIFNg คือ เซลล์ MARC-145 ที่ถูกถ่ายด้วยพลาสมิคที่ได้รับยีน IFNg, MARC-145+ pcDNA™ 3.1D คือ เซลล์ MARC-145 ที่ถูกถ่ายด้วยพลาสมิคเวกเตอร์ที่ไม่ได้รับยีน IFNg, MARC-145 คือ เซลล์ปกติ

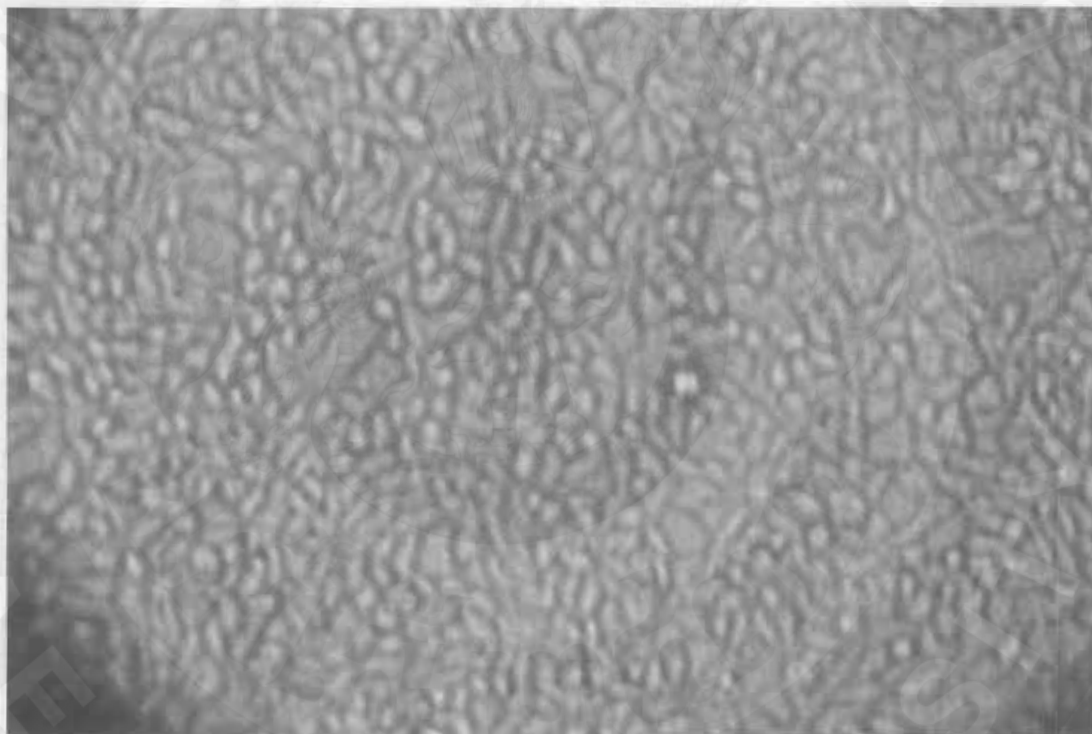
เมื่อนำอาหารที่ได้จากการเลี้ยงเซลล์ มาทำการศึกษาการแสดงออกของยีน IFNg ด้วยเทคนิค ELISA พบร่วมโปรตีน IFNg ในอาหารที่ถูกเลี้ยงในเซลล์ MARC-145 ที่ถูกถ่ายด้วยพลาสมิด pIFNg เท่านั้น ภาพ 26 โดยที่ในอาหารที่ได้จากการเพาะเลี้ยงเซลล์ MARC-145 และ MARC-145 กับ pcDNA™ 3.1 ไม่พบโปรตีน IFNg ซึ่งจากผลการทดลอง RT-PCR และการทำ ELISA แสดงให้เห็นว่ายีน IFNg ที่แยกได้จากสูตรสามารถแสดงออกได้ในเซลล์ MARC-145 ทั้งในระดับ mRNA และโปรตีน



ภาพ 26 การแสดงออกของโปรตีน IFNg ใน MARC-145 หลังจากที่ถูกถ่ายด้วยพลาสมิด pIFNg เป็นเวลา 60 ชั่วโมง โดยการเก็บอาหารมาวิเคราะห์โปรตีนโดยเทคนิค ELISA  
หมายเหตุ: MARC-145 คือเซลล์ปกติ, MARC-145+ pcDNA™ 3.1 คือเซลล์ที่ถูกถ่ายด้วยพลาสมิดเวกเตอร์ที่ไม่ได้รับยีน IFNg, MARC-145+pIFNg คือเซลล์ที่ถูกถ่ายด้วยพลาสมิดที่ได้รับยีน IFNg

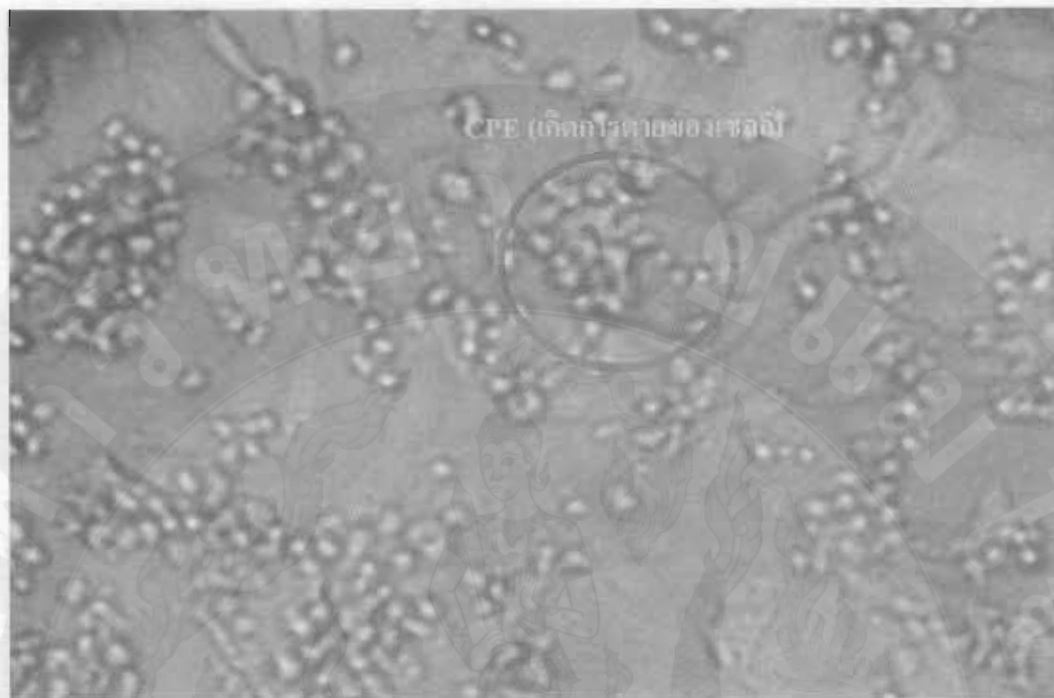
### การทดลองของไวรัส

นำเซลล์ MARC-145 ที่ถูกถ่ายด้วยพลาสมิค pIFNg และ pcDNA™3.1 เลี้ยงใน PRRSV เป็นเวลา 72 ชั่วโมง พบร่วมกับการเปลี่ยนแปลงรูปร่างของเซลล์ เกิดเป็นลักษณะกลม ซึ่งเรียกว่าการเกิด CPE ดังภาพ 27 ซึ่งมีค่า TCID<sub>50</sub>/ มิลลิลิตร ของเซลล์ MARC-145 ที่ถูกถ่ายด้วยพลาสมิค pIFNg และ pcDNA™3.1 เท่ากับ  $10^{4.5}$  (31,622) และ  $10^{4.6}$  (39,810) ตามลำดับ ซึ่งลดลงจาก  $10^{6.75}$  (5,623,413) ของเซลล์ปกติ MARC-145 แสดงให้เห็นว่ายืน IFNg ที่แยกได้จากสูกรสามารถแสดงออกได้ในเซลล์ MARC-145 และสามารถทำงานได้

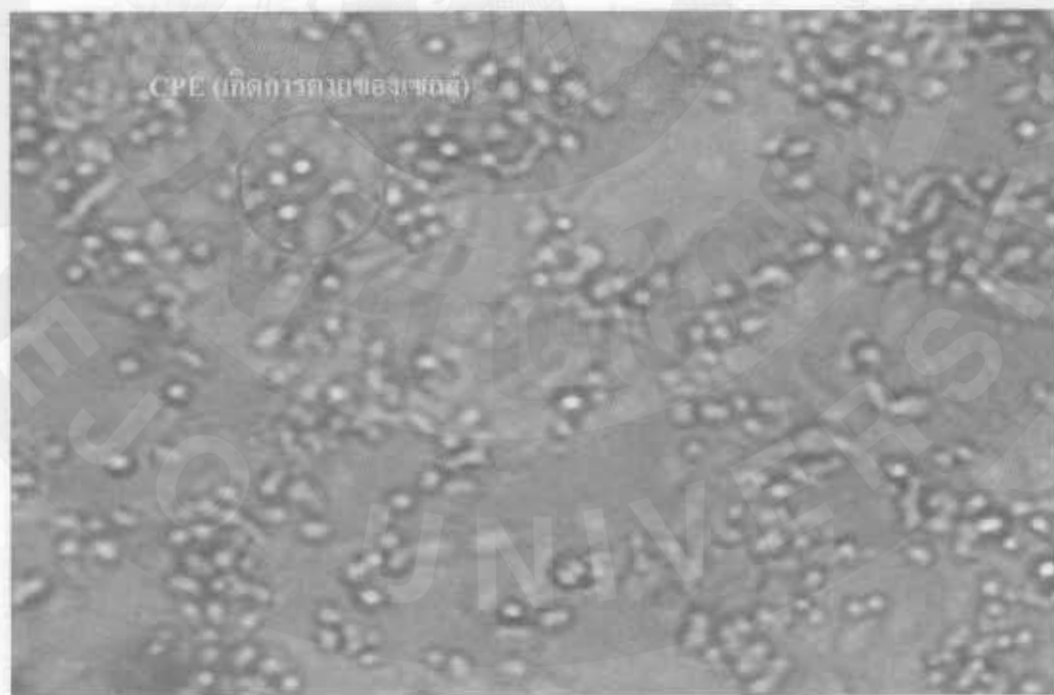


(A) เซลล์ปกติ MARC-145

ภาพ 27 การตายของเซลล์ที่เกิดจากการติดเชื้อไวรัส

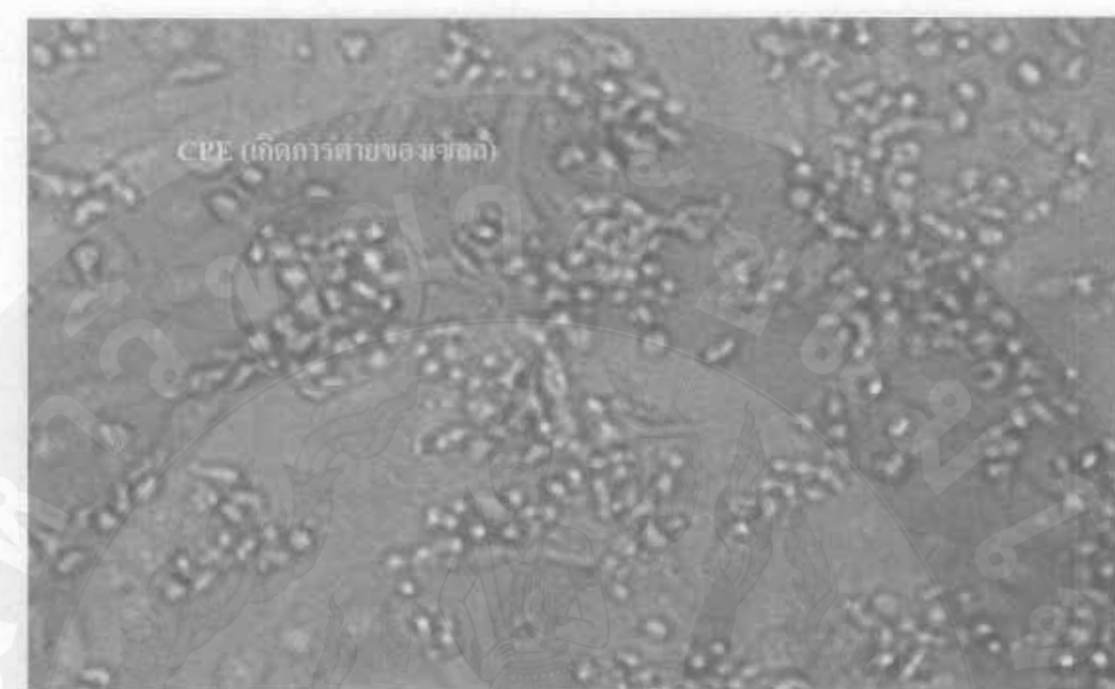


(B) ເໜລັດປັກຕີ MARC-145 ທີ່ມີການຕິດເຊື້ອ PRRSV



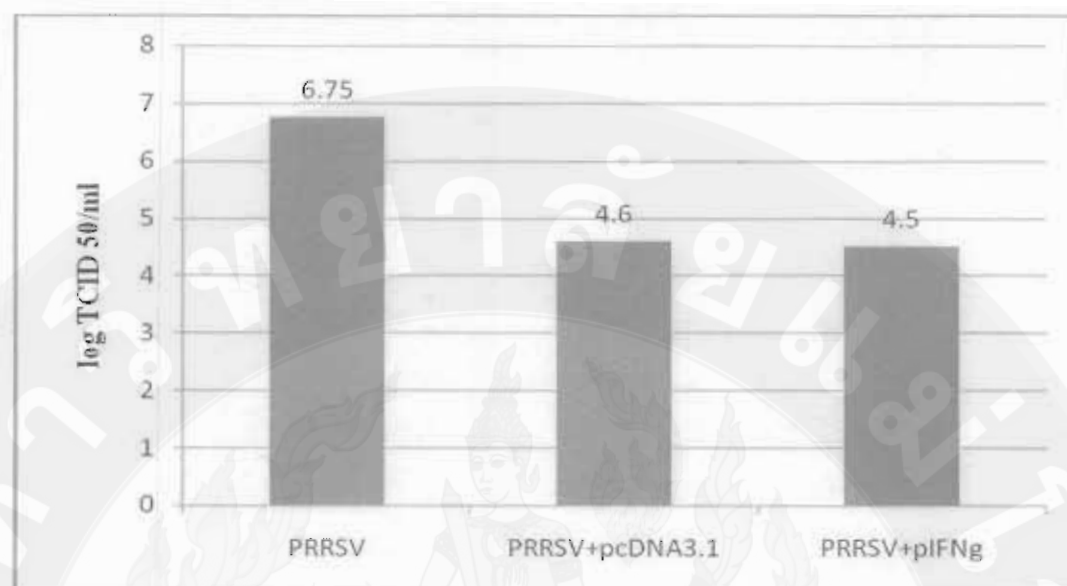
(C) ເໜລັດປັກຕີ MARC-145 ທີ່ຄ່າຍດ້ວຍ pcDNA<sup>TM</sup> 3.1 ແລະ ທຳໄຫ້ຕິດ PRRSV

ການ 27 (ຕອ)



(D) เซลล์ปกติ MARC-145 ที่ถ่ายฟากด้วยพลาสมิค pIFNg และทำให้ติด PRRSV

ภาพ 27 (ต่อ)



ภาพ 28 เปรียบ ไ待遇ของ PRRSV ในเซลล์ MARC-145 (PRRSV) MARC-145 ที่ถูกคายคั่วข  
pcDNA 3.1 (PRRSV+pcDNA 3.1) และ MARC-145 ที่ถูกคายคั่วขพลาสมิด pIFNg  
(PRRSV +pIFNg) ทำการทดลองซ้ำ 3 ครั้ง

## วิจารณ์ผลการวิจัย

PRRSV เป็นไวรัสก่อโรคของสุกรที่สร้างความเสียหายเป็นอย่างมากทางเศรษฐกิจ PRRSV ก่อโรคในสุกรทุกอายุ และติดเข้าสู่เซลล์โนนไซต์ มาตรไฟฟ์ และเซลล์ที่เกิดจาก African green monkey kidney cell เช่น MA-104, MARC-145 และ CL-2621 (Snijder and Meulenberg, 1998) เมื่อมีการติดเชื้อ PRRSV ที่แม่สุกรตั้งท้อง จะมีอาการมีไข้ เบื้องต้น สุขภาพทรุดโทรม บางครั้งมีการบวมหน้าได้พิวนังและขาหัก คั่งเลือดโดยเฉพาะที่ใบหน้า อวัยวะเพศอาจมีสีม่วงคล้ำ และมีผลต่อแม่สุกรในทุกระยะ การตั้งท้อง แต่จะรุนแรงที่สุดในแม่สุกรที่ตั้งท้องในระยะท้าย ทำให้เกิดการแท้ง การตายแรกคลอด หรือลูกสุกร่อนแօ การตายก่อนการหย่านม ในแม่สุกรให้นม จะมีอาการคล้ายแม่สุกรตั้งท้อง เช่น มีไข้ เบื้องต้น ภาวะน้ำนมแห้ง ทำให้ขาดสารอาหารและภูมิคุ้มกันน้ำนมในการต่อต้านเชื้อ เช่น *E. coli* จึงทำให้เกิดอัตราการตายก่อนหย่านมของลูกสุกร การติดเชื้อในสุกรพ่อพันธุ์ จะมีอาการคล้ายกับการติดเชื้อในสุกรแม่พันธุ์ เช่น มีไข้ เบื้องต้น และส่งผลกระทบทางเดินหายใจ มีผลต่อคุณภาพน้ำนม เช่น ความสมบูรณ์ของพ่อพันธุ์ มีการลดการเคลื่อนที่ของตัวอสุจิ มีความผิดปกติของตัวอสุจิก็เกิดขึ้น เช่น มีจุគค์คล้ายหยดน้ำในไซโคลพลาซึม (proximal cytoplasmic droplets) และความผิดปกติของทางของตัวอสุจิ ในลูกสุกรจะมีอาการเบื้องต้น อาการมีไข้สูง อัตราการหายใจสูงขึ้น หายใจลำบาก และการติดเชื้อแทรกซ้อน เช่น ไวรัสไข้หวัดสุกร มีแนวโน้มที่จะทำให้เกิดการสูญเสียจากโครงระบบทางเดินหายใจแบบซับซ้อนของสุกรเพิ่มขึ้น หรือ porcine respiratory disease complex และมีอาการอื่น ๆ ที่พบในลูกสุกรได้แก่ อาการบวมน้ำ ภาวะบวมน้ำของเนื้อเยื่อรอบดวงตา รวมทั้งเปลือกตา เมือตาขาวอักเสบ ในหมัดถั่งเหลืองมีสีคล้ำ บนลูกหนาวยังสั่น อาการห้องเสีย เป็นต้น งานวิจัยนี้มีวัตถุประสงค์เพื่อแยกยืนยัน IFNg ของสุกรและเพื่อสร้างดีเอ็นเอสายพสมของยีน IFNg ที่สามารถแสดงออกได้ในเซลล์มะเร็งไอลิส (MARC-145) เพื่อการประยุกต์ใช้ในการรักษาโรคที่เกี่ยวกับ PRRSV

การโคลนยีน IFNg เมื่อนำไปทำลำดับนิวคลีโอไทด์พบว่ามีการเปลี่ยนแปลงในตำแหน่งที่ 4 และ 438 จากเบส A เป็น G ซึ่งในตำแหน่งที่ 4 เป็นบริเวณที่จับกับไฟร์เมอร์ที่ใช้ในการโคลน (F 5'- CAC C AT GGG TTA TAC AAC TAA TTT-3', R 5'- TTA TTT TGA TGC TCT CTG GCC-3') จึงทำให้เกิดการเปลี่ยนแปลงในตำแหน่งที่ 4 จากเดิมในฐานข้อมูลของ Genbank เป็น A จึงเปลี่ยนเป็น G เมื่อจากการอ่านแบบไฟร์เมอร์ในตำแหน่งนี้เป็น G ทำให้กรดอะมิโนเปลี่ยนจาก serine เป็น glycine แต่ไม่มีผลต่อการเปลี่ยนแปลงหน้าที่ของโปรตีน ในตำแหน่งที่ 438 ไม่มีผลต่อกรดอะมิโน

การใช้เซลล์ยูคาริโอตในการทดสอบในระดับ mRNA ไม่จำเป็นต้องใช้เซลล์ MARC-145 อาจจะใช้เซลล์ยูคาริโอตชนิดอื่นได้ เช่น Hela cell หรือ SK-6 แต่เซลล์ที่นำมาใช้นั้นต้องทดสอบก่อนว่าไม่มีการแสดงออกของยีน IFNg ด้วยการทำ RT-PCR และจับกับไพรเมอร์ที่จำเพาะต่อ IFNg เช่น (F 5'- TCT TAC TGC CAG GCG CCC TT-3', R 5'- TGA TGC TCT CTG GCC TTG GAA CA-3') แต่ในระดับโปรตีนและการทดสอบการลดลงของไวรัสนั้นต้องใช้ MARC-145 เนื่องจาก MARC-145 เป็นเซลล์ที่มีความจำเพาะกับ PRRSV โดยมี vimentin เป็น receptor (Kim et al., 2006) เมื่อพบรการแสดงออกของโปรตีน IFNg นำเซลล์เหล่านี้ไปทดสอบการลดลงของไวรัส (TCID<sub>50</sub>) เนื่องจาก PRRSV สามารถเพิ่มจำนวนในเซลล์ MARC-145 แต่ไม่สามารถเพิ่มจำนวนในเซลล์อื่นที่ไม่มีความจำเพาะได้

จากการวิจัยพบว่าพลาสมิคเกตเตอร์ pcDNA™ 3.1 และ IFNg มีผลต่อการลดลงของไวรัส เนื่องจากว่าในพลาสมิคเกตเตอร์นี้มี unmethylated CpG oligodeoxynucleotide (CpG-ODN) ซึ่งเป็น motif ที่สามารถกระตุ้นการแสดงออกของไซโตไนค์ต่าง ๆ ได้ เช่น IFN α, IFN β และ IL-12 เป็นต้น (Miller et al., 2009; Latz et al., 2004) ซึ่งไซโตไนค์เหล่านี้อาจไปรบกวนการแบ่งตัวของ PRRSV ทำให้เซลล์ MARC-145 ที่ถูกถ่ายด้วยพลาสมิคเกตเตอร์ pcDNA™ 3.1 มีการลดลงของ PRRSV ซึ่งความเป็นไปได้ของการที่ CpG-ODN กระตุ้นการสร้างไซโตไนค์อื่นในเซลล์ MARC-145 ควรมีการศึกษาต่อไป

## บทที่ 5

### สรุปผลการวิจัยและข้อเสนอแนะ

#### สรุปผลการวิจัย

การศึกษานี้สร้างพลาสมิดที่มียีน IFNg ของสุกรที่สามารถแสดงออกได้ในเซลล์ MARC-145 ซึ่งเซลล์ MARC-145 ที่มียีน IFNg ของสุกรนี้สามารถยับยั้งการเพิ่มจำนวนของ PRRSV ได้

#### ข้อเสนอแนะ

1. ควรศึกษาน้ำหนักของโปรตีน IFNg ด้วยเทคนิค western blot เพื่อบอกน้ำหนักของโปรตีน IFNg ที่ถูกต้อง
2. งานวิจัยในอนาคตควรมีการทดสอบหา IFN  $\alpha/\beta$  เนื่องจากงานวิจัยนี้พนักพาณิชย์ของ PRRSV ในเซลล์ MARC-145 ที่ถูกถ่ายด้วยพลาสมิด ซึ่งอาจเป็นผลมาจากการแสดงออกของ IFN  $\alpha/\beta$  ที่เพิ่มขึ้น
3. ควรศึกษาฤทธิ์ต้าน PRRSV ของพลาสมิดที่มียีน IFNg ของสุกรในระดับ *in vivo* ต่อไปเพื่อประยุกต์ใช้กับสุกรในการรักษาโรคอันเนื่องจาก PRRSV

## ปรรณากร

- รุ่งโรจน์ ชนาวงศ์นุเวช. 2548. พยาธิวินิจฉัยโรคพื้อาร์օร์ເອສ. กรุงเทพฯ: ห้างหุ้นส่วนสามัญนิติ บุคคล ปอยท์ กราฟิก. 189 หน้า
- สำนักเศรษฐกิจการเกษตร. 2554. ข้อมูลเศรษฐกิจการเกษตร [ระบบออนไลน์] แหล่งที่มา [http://www.oae.go.th/oae\\_report/export\\_import/export\\_result.php](http://www.oae.go.th/oae_report/export_import/export_result.php) (7 ตุลาคม 2554).
- Amongsin, A., R. Kedkovid, S. Puranaveja, P. Wongyanin, S. Suradhat and R. Thanawongnuwech. 2009. Comparative analysis of complete nucleotide sequence of porcine reproductive and respiratory syndrome virus (PRRSV) isolates in Thailand (US and EU genotypes). *Virology* 6: 143-153.
- Bautista, E.M. and T.W. Molitor 1999. IFN gamma inhibits porcine reproductive and respiratory syndrome virus replication in macrophages. *Arch. Virol.* 144 : 1191-1200.
- Breedam, W.V., P.L. Delputte, H.V. Gorp, G. Misinzo, N. Vanderheijden, X. Duan and H.J. Nauwynck. 2010. Porcine reproductive and respiratory syndrome virus entry in the porcine macrophage. *J. Gen. Virol.* 91: 1659-1667.
- Cho, J. G. and S. A. Dee 2006. Porcine reproductive and respiratory syndrome virus. *Theriogenology* 66 (3): 655-662.
- Choi C., W.-S. Cho, B. Kim and C. Chae. 2001. Expression of interferon-gamma and tumour necrosis factor-alpha in pigs experimentally infected with porcine reproductive and respiratory syndrome virus (PRRSV). *J. Comp. Pathol.* 127: 106-113.
- Dea, S., C. A. Gagnon, H. Mardassi, B. Pirzadeh and D. Rogan. 2000. Current knowledge on the structural proteins of porcine reproductive and respiratory syndrome (PRRS) virus: comparison of the north American and European isolates. *Arch. Virol.* 145 (4): 659-688.
- Delputte, P.L. and H. J. Nauwynck. 2004. Porcine arterivirus infection of alveolar macrophages is mediated by sialic acid on the virus. *Virology*. 78: 8094-8101.
- Delputte, P.L., W.V. Breedam, I. Delrue, C. Oetke, P.R. Crocker and H.J. Nauwynck. 2007. Porcine arterivirus attachment to the macrophage-specific receptor sialoadhesin is dependent on the sialic acid-binding activity of the N-terminal immunoglobulin domain of sialoadhesin. *Virology*. 81: 9546-9550.

- Done, S. H., D. J. Paton and M. E. C. White. 1996. Porcine reproductive and respiratory syndrome (PRRS): A review, with emphasis on pathological, virological and diagnostic aspects. **Br. Vet. J.** 152(2): 153-174.
- Dorman, S. E., G. Uzel, J. Roesler, J. S. Bradley, J. Bastian, G. Billman, S. King, A. Filie, J. Schermerhorn and S. M. Holland. 1999. Viral infections in interferon gamma receptor deficiency. **J. Pediatr.** 135(5): 640-643.
- Fuertes, L.L., N. Domenech, B. Alvarez, A. Ezquerra, J. Dominguez, J.M. Castro and F. Alonso. 1999. Analysis of cellular immune response in pig recovered from porcine respiratory and reproductive syndrome infection. **Virus Res.** 64: 33-42.
- Frucht, D.M., T. Fukao, C. Bogdan, H. Schindler, J.J. O'Shea and S. Koyasu. 2001. IFN gamma production by antigen-presenting cells: mechanisms emerge. **Trends Immunol.** 22: 556-560.
- Jiang, Y., S. Xiao, L. Fang, X. Yu, Y. Song , C. Niu and H. Chen. 2006. DNA vaccines co-expressing GP5 and M proteins of porcine reproductive and respiratory syndrome virus (PRRSV) display enhanced immunogenicity. **Vaccine** 24(15): 2869-2879.
- Kim, H. S., J. Kwang, I. J. Yoon, H. S. Joo and M. L. Frey. 1993. Enhanced replication of porcine reproductive and respiratory syndrome (PRRS) virus in a homogeneous subpopulation of MA-104 cell line. **Arch. Virol.** 133(3): 477-483.
- Kim, J.K., A.M. Fahad., K. Shanmukhappa and S. Kapil. 2006. Defining the cellular target (s) of porcine reproductive and respiratory syndrome virus blocking monoclonal antibody 7G10. **Virology.** 80(2): 689-696.
- Latz, E., A.Schoenemeyer., A. Visintin., K. A. Fitzgerald., B.G. Monks., C.F. Knetter., E. Lien., N.J. Nilsen., T. Espevik and D.T. Golenbock. 2004. TLR9 signals after translocating from the ER to CpG DNA in the lysosome. **Nat. Immunol.** 5:190-198.
- Lieberman, L. A. and C. A. Hunter. 2002. Regulatory pathways involved in the infection-induced production of IFN-gamma by NK cells. **Microbes Infect.** 4(15): 1531-1538.
- Levy, D.E. and A.G. Sastre. 2001. The virus battles: IFN induction of the antiviral state and mechanisms of viral evasion. **Cytokine Growth Factor Rev.** 12: 143-156.
- Mateu, E. and I. Diaz. 2008. The challenge of PRRS immunology. **Vet. J.** 177(3): 345-351.

- Meier, W. A., J. Galeota, F. A. Osorio, R. J. Husmann, W. M. Schnitzlein and F. A. Zuckermann. 2003. Gradual development of the interferon-gamma response of swine to porcine reproductive and respiratory syndrome virus infection or vaccination. *Virology* 309(1): 18-31.
- Miller, L.C., K. M. Lager. And M.E. Kehrli. 2009. Role of Toll-like receptors in activation of porcine alveolar macrophages by porcine reproductive and respiratory syndrome virus. *Clin. Vaccine Immunol.* 16: 360-365.
- Molitor, T.W., E.M. Bautisa and C.S. Choi. 1997. Immunity to PRRSV: double-edged sword. *Vet. Microbiol.* 55: 265-276.
- Murtaugh, M.P., Z. Xiao and F. Zuckermann. 2002. Immunological responses of swine to porcine reproductive and respiratory syndrome virus Infection. *Viral Immunol.* 15: 533-547.
- Patton, J. B., R. R. Rowland, D. Yoo and K.-O. Chang. 2009. Modulation of CD163 receptor expression and replication of porcine reproductive and respiratory syndrome virus in porcine macrophages. *Virus Res.* 140(1-2): 161-171.
- Prescott, J.F. and J.D. Baggot. 1994. *Antimicrobial therapy in veterinary medicine*. 2<sup>nd</sup> ed. Iowa: Blackwell Scientific Publications. 612 p.
- Royaee A.R., R.J. Husmann, H.D. Dawson, G.C. Nova, W.M. Schnitzlein, F.A. Zuckermann and J.K. Lunney. 2004. Deciphering the involvement of innate immune factors in the development of the host response to PRRSV vaccination. *Vet. Immunol. Immunopathol.* 102 : 199-216.
- Schroder K., P.J. Hertzog, T.Ravasi and D.A. Hume. 2004. Interferon gamma : an overview of signals, mechanisms and functions. *Leukoc. Biol.* 75: 163-189.
- Sharma, S.N. and S.C. Adlakha. 1994. *Textbook of veterinary virology*. New Delhi: Vikas publishing house PTV LTD. 373 p.
- Snijder, E.J. and J.J.M. Meulenberg. 1998. The molecular biology of arteriviruses. *J. Gen. Virol.* 79: 961-979.

- Susan E., U. G. Dorman, J. Roesler , J.S. Bradley, J. Bastian, G. Billman, S. King , A. Filie, J. Schermerhorn and S.M Holland. 1999. Viral infections in interferon gamma receptor deficiency. **J. Pediatr.** 135 : 640-643.
- Thanawongnuwech R., A. Rungsipipat, S. Disatian, R. Saiyasombat, S. Napakanaporn and P. G. Halbur. 2003. Immunohistochemical staining of IFN gamma positive cells in porcine reproductive and respiratory syndrome virus-infected lungs. **Vet. Immunol. Immunopathol.** 91(1): 73-77.
- Wang, D., L. Fang, F. Zhao, R. Luo, H. Chen and S. Xiao. 2011. Molecular cloning, expression and antiviral activity of porcine interleukin-29 (poIL-29). **Dev. Comp. Immunol.** 35(3): 378-384.
- Zimmerman, J. J., K. J. Yoon, R. W. Wills and S. L. Swenson. 1997. General overview of PRRSV: A perspective from the United States. **Vet. Microbiol.** 55(1-4): 187-196.
- Zuckermann, F. A., E. A. Garcia, I. D. Luque, J. C. Hennings, A. Doster, M. Brito and F. Osorio. 2007. Assessment of the efficacy of commercial porcine reproductive and respiratory syndrome virus (PRRSV) vaccines based on measurement of serologic response, frequency of gamma-IFN-producing cells and virological parameters of protection upon challenge. **Vet. Microbiol.** 123(1-3): 69-85.





## สูตรอาหารเลี้ยงเชื้อแบคทีเรียและเชลล์ MARC-145

### อาหารเลี้ยงเชื้อแบคทีเรีย

#### LB (Luria-Bertani) broth

Tryptone	10 กรัม
Yeast extract	5 กรัม
NaCl	10 กรัม
dH <sub>2</sub> O	ทำให้เป็น 1 ลิตร

จากนั้นนำไปปั่นเชือกที่ความดัน ໄอ 15 ปอนด์ต่อตารางนิวอุณหภูมิ 121 องศาเซลเซียสเป็นเวลา 15 นาที

#### LB Agar

Tryptone	10 กรัม
Yeast extract	5 กรัม
NaCl	10 กรัม
Agar	15 กรัม
dH <sub>2</sub> O	ทำให้เป็น 1 ลิตร

จากนั้นนำไปปั่นเชือกที่ความดัน ໄอ 15 ปอนด์ต่อตารางนิวอุณหภูมิ 121 องศาเซลเซียสเป็นเวลา 15 นาที

**LB+แอมพิชิลิน (50 ไมโครกรัม/มิลลิลิตร)**

Tryptone	10 กรัม
Yeast extract	5 กรัม
NaCl	10 กรัม
dH <sub>2</sub> O	ทำให้เป็น 975 มิลลิลิตร

จากนั้นนำไปปั่นเชือกที่ความดัน ไอ 15 ปอนด์ต่อตารางนิวตันหน่วย 121 องศาเซลเซียสเป็นเวลา 15 นาทีนำมาแช่ในอ่างน้ำร้อนที่อุณหภูมิ 50-55 องศาเซลเซียสและเติม 25 มิลลิลิตร ของแอมพิชิลิน (2 มิลลิกรัม/มิลลิลิตร)

**อาหารเลี้ยงเซลล์ MARC-145**

**องค์ประกอบของอาหารเลี้ยงเซลล์ PRMI-1640**

RPMI-1640	1 ซอง (10.4 กรัม)
NaHCO <sub>3</sub>	2 กรัม
Antibiotic (100x)	10 มิลลิลิตร
Heat-inactivated fetal bovine serum	100 มิลลิลิตร
dH <sub>2</sub> O	800 มิลลิลิตร

หยด 1 N HCl เพื่อปรับความเป็นกรดด่างให้เท่ากับ 7.4 จากนั้นปรับปริมาตรรวมให้เป็น 1,000 มิลลิลิตร นำไปกรองผ่านเครื่องกรองอาหารเลี้ยงเซลล์ (ขนาด 0.22 ไมครอน)

**องค์ประกอบของอาหารเลี้ยงเซลล์ MEM**

MEM	1 ซอง (10.4 กรัม)
NaHCO <sub>3</sub>	2.2 กรัม
Heat-inactivated fetal bovine serum	100 มิลลิลิตร
dH <sub>2</sub> O	800 มิลลิลิตร

หยด 1 N HCl เพื่อปรับความเป็นกรดด่างให้เท่ากับ 7.4 จากนั้นปรับปริมาตรรวมให้เป็น 1,000 มิลลิลิตร นำไปกรองผ่านเครื่องกรองอาหารเลี้ยงเซลล์ (ขนาด 0.22 ไมครอน)

### สารที่ใช้ในการทำการทดลอง

#### สารกระตุ้นการสร้างไซโตโคน

##### PMA

1 หลอดมีความเข้มข้น 1 มิลลิกรัม

DMSO 1 มิลลิลิตร

ทำเป็นความเข้มข้น 1มิลลิกรัม/มิลลิลิตร

เก็บไว้ที่ -20 องศาเซลเซียส

เมื่อต้องการใช้ (25 ไมโครกรัม/มิลลิลิตร ของ PMA)

PMA 1 ไมโครลิตร (จะมีความเข้มข้น 1 มิลลิกรัม/มิลลิลิตร)

DMSO 39 ไมโครกรัม

เก็บที่ -20 องศาเซลเซียส

##### Ionomycin

1 หลอดมีความเข้มข้น 1 มิลลิกรัม

DMSO 1 มิลลิลิตร

ทำเป็นความเข้มข้น 1มิลลิกรัม/มิลลิลิตร

##### PMA/I

1. ความเข้มข้นสูตรท้าย 250 ไมโครลิตร ในเซลล์

PBMC 200 ไมโครลิตร + PMA/I 50 ไมโครลิตร

2. ในความเข้มข้นสูดท้าย 300 ไมโครลิตร ในเซลล์  
 PBMC 200 ไมโครลิตร + อาหาร 50 ไมโครลิตร + PMA/I 50 ไมโครลิตร

#### การเตรียมสารละลาย 0.5 M EDTA

EDTA	7.2 กรัม
H <sub>2</sub> O	400 มิลลิลิตร

จากนั้นนำไปปั่นเชือกที่ความดันไอ 15 ปอนต์ต่อตารางนิวอุณหภูมิ 121 องศาเซลเซียสเป็นเวลา 15 นาที

#### การเตรียมสารละลาย PBS

NaCl	8 กรัม
Na <sub>2</sub> HPO <sub>4</sub>	1.44 กรัม
KH <sub>2</sub> PO <sub>4</sub>	0.25 กรัม
KCl	0.2 กรัม
H <sub>2</sub> O	ทำให้เป็น 1 ลิตร

จากนั้นนำไปปั่นเชือกที่ความดันไอ 15 ปอนต์ต่อตารางนิวอุณหภูมิ 121 องศาเซลเซียสเป็นเวลา 15 นาที

#### การเตรียมสารละลาย PBS+5 mM EDTA

NaCl	8 กรัม
Na <sub>2</sub> HPO <sub>4</sub>	1.44 กรัม
KH <sub>2</sub> PO <sub>4</sub>	0.25 กรัม
KCl	0.2 กรัม
EDTA	1.86 กรัม
H <sub>2</sub> O	ทำให้เป็น 1 ลิตร

จากนั้นนำไปปั่นเชือกที่ความตัน ไอ 15 ปอนด์ต่อตารางนิวตันหน่วย 121 องศาเซลเซียสเป็นเวลา 15 นาที

#### การเตรียมสารละลายน้ำ RBC lysis buffer

$\text{NH}_4\text{Cl}$	8.02 กรัม
$\text{NaHCO}_3$	0.84 กรัม
EDTA	0.37 กรัม
$\text{H}_2\text{O}$	ทำให้เป็น 1 ลิตร

จากนั้นนำไปปั่นเชือกที่ความตัน ไอ 15 ปอนด์ต่อตารางนิวตันหน่วย 121 องศาเซลเซียสเป็นเวลา 15 นาที

#### การเตรียมแอมพิซิลิน ความเข้มข้น 2 มิลลิกรัม/มิลลิลิตร

แอมพิซิลิน	1 เม็ด
$\text{H}_2\text{O}$	125 มิลลิลิตร

นำไปกรองผ่านเครื่องกรองอาหารเลี้ยงเซลล์ (ขนาด 0.22 ไมครอน)

#### สารละลายน้ำ TAE 10X

Tris base	48.4 กรัม
Glacial acetic acid	11.42 มิลลิลิตร
0.5 M EDTA	20 มิลลิลิตร
$\text{dH}_2\text{O}$	ทำให้เป็น 1 ลิตร
pH 8.0	

**TE buffer****1. เตรียม 1M Tris, pH 8.0**

Tris (fw 121.14)	12.11 กรัม
------------------	------------

dH <sub>2</sub> O	70 มิลลิลิตร
-------------------	--------------

pH 8.0 ด้วย conc. HCl	
-----------------------	--

เติมน้ำอีกจนครบ 100 นำไปปั่นเชือที่ความดันไอล 15 ปอนด์ต่อตารางนิวตันหน่วย 121 องศาเซลเซียส เป็นเวลา 15 นาที

**2. เตรียม 0.5M EDTA pH 8.0**

EDTA (fw 372.24)	18.61 กรัม
------------------	------------

dH <sub>2</sub> O	70 มิลลิลิตร
-------------------	--------------

pH 8.0 ด้วย NaOH	
------------------	--

ทำให้เป็น 100 มิลลิลิตร นำไปปั่นเชือที่ความดันไอล 15 ปอนด์ต่อตารางนิวตันหน่วย 121 องศาเซลเซียสเป็นเวลา 15 นาที

**สำหรับ TE buffer**

1M Tris pH 8.0	1 มิลลิลิตร
----------------	-------------

0.5 M EDTA pH 8.0	0.2 มิลลิลิตร
-------------------	---------------

dH <sub>2</sub> O	98.8 มิลลิลิตร
-------------------	----------------

นำไปปั่นเชือที่ความดันไอล 15 ปอนด์ต่อตารางนิวตันหน่วย 121 องศาเซลเซียสเป็นเวลา 15 นาที

**1 N NaOH**

NaOH	4 กรัม
------	--------

dH <sub>2</sub> O	100 มิลลิลิตร
-------------------	---------------

**1 N HCl จาก 37% HCl**

HCl 37 %	9.86 มิลลิลิตร
H <sub>2</sub> O	90.14 มิลลิลิตร

ตารางผนวก 1 การเตรียม agarose (%)

% agarose	ช่วงของประสิทธิภาพที่สามารถแยกได้
0.3 %	5 kb - 60 kb
0.6 %	1 kb - 20 kb
0.7 %	800 bp - 10 kb
0.9 %	500 bp - 7 kb
1.2 %	400 bp - 6 kb
1.5 %	200 bp - 3 kb
2.0 %	100 bp – 1.2 kb

% agarose ใน 1x TBE buffer สำหรับ gel electrophoresis

1. หลังจากที่ละลายวุ่นแล้วเติม ethidium bromide 0.5 ไมโครกรัม/มิลลิลิตร
  - ถ้า 1x TBE 50 มิลลิลิตร จะต้องเติม ethidium bromide 25 ไมโครลิตร
  - ถ้า 1x TBE 100 มิลลิลิตร จะต้องเติม ethidium bromide 50 ไมโครลิตร
2. ใส่ loading dye 2 ไมโครลิตร + ladder 2 ไมโครลิตร
3. ใส่ loading dye 2 ไมโครลิตร + PCR product 10 ไมโครลิตร
4. run 75 V 45 นาที

การเก็บ MARC-145

Freezing Medium

10% DMSO (กรองด้วย 0.2 µm nylon membrane)

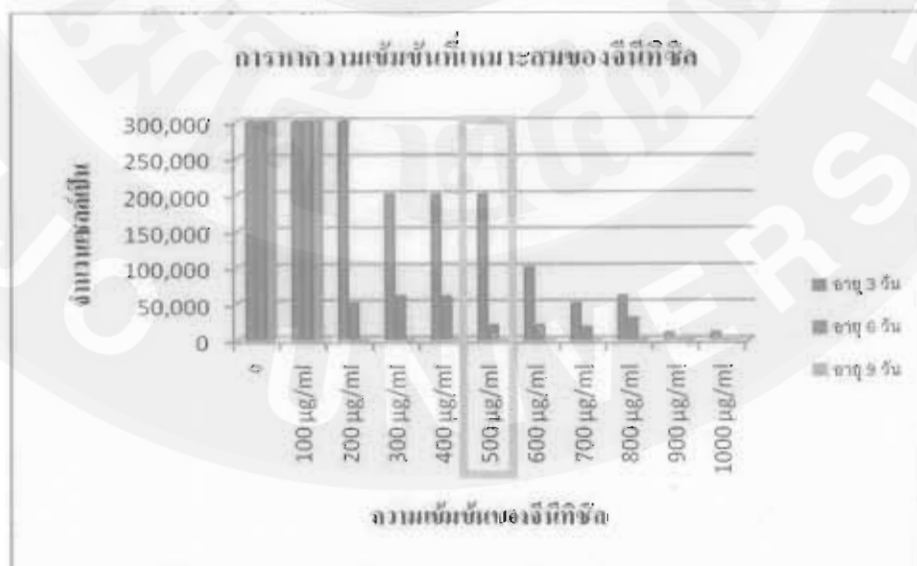
90% FBS (filtered-sterilized)



### การหาค่าความเหมาะสมของจีนีทิชิล

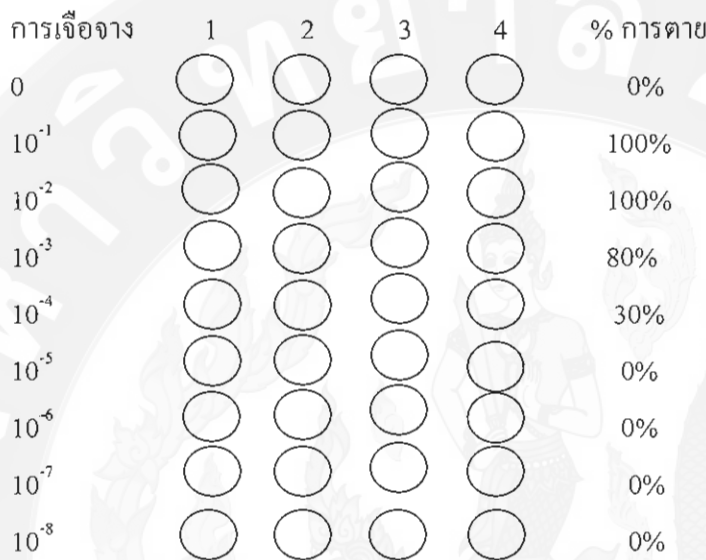
**ตารางพนวก 2 การตabyของเชลล์ด้วยจีนีทิชิล**

ความเข้มข้น	อายุ 3 วัน	อายุ 6 วัน	อายุ 9 วัน
0 ไมโครกรัม/มิลลิลิตร	300,000	300,000	300,000
100 ไมโครกรัม/มิลลิลิตร	300,000	300,000	300,000
200 ไมโครกรัม/มิลลิลิตร	300,000	50,000	0
300 ไมโครกรัม/มิลลิลิตร	200,000	60,000	0
400 ไมโครกรัม/มิลลิลิตร	200,000	60,000	0
500 ไมโครกรัม/มิลลิลิตร	200,000	20,000	0
600 ไมโครกรัม/มิลลิลิตร	100,000	20,000	0
700 ไมโครกรัม/มิลลิลิตร	50,000	17,500	0
800 ไมโครกรัม/มิลลิลิตร	60,000	30,000	0
900 ไมโครกรัม/มิลลิลิตร	10,000	0	0
1,000 ไมโครกรัม/มิลลิลิตร	10,000	0	0



**ภาพพนวก 1 การตabyของเชลล์ด้วยจีนีทิชิล**

### การคำนวณ TCID<sub>50</sub>



1. การคำนวณ Proportionate Distance (PD) ระหว่างไวรัส 2 ความเจือจางที่อยู่ใกล้ 50% สูตร  $(\% \text{ การเกิด CPE } \text{ ที่มากกว่า } 50\%) - 50\% / (\% \text{ การเกิด CPE } \text{ ที่มากกว่า } 50\%) - (\% \text{ การเกิด CPE } \text{ ที่น้อยกว่า } 50\%)$

$$80\% - 50\% / 80\% - 30\% = 0.6$$

2. การคำนวณ 50% end point คือการเอาค่าการเจือจางที่ทำให้เกิด CPE มากกว่า 50% ความเจือจางของไวรัสที่มีค่ามาก เท่ากับ  $10^{-3}$  หรือ -3

3. เคิมค่า PD และค่า log

$$-3 + 0.6 = -2.4$$

$$\log \text{TCID}_{50} = 10^{-2.4}$$

แสดงให้เห็นว่าความเจือจาง  $10^{-2.4}$  ไวรัส มีความเข้มข้น  $10^{2.4} \text{ TCID}_{50} / 100 \text{ มิลลิลิตร}$  หรือในสารละลาย 1 มิลลิลิตร จะมีไวรัสอยู่  $10^1 \times 10^{2.4} = 10^{3.4}$  มีค่าเท่ากับ  $10^{3.4} \text{ TCID}_{50} / \text{มิลลิลิตร}$

### การคำนวณความเข้มข้นของผลผลิต PCR

การปรับ molar ratio ของผลผลิต PCR:TOPO vector = 0.5:1 – 2:1

#### Molar ของ TOPO vector

##### ขั้นตอนที่ 1

$$1\text{bp} = 660 \text{ Da}$$

$$5,500 \text{ bp} = 660 \times 5,500 = 3,630,000 \text{ Da}$$

$$1 \text{ molar} = 3,630,000 \text{ g/L}$$

##### ขั้นตอนที่ 2 ความเข้มข้นของ vector

$$15-20 \text{ ng}/\mu\text{l หรือ } 15-20 \times 10^{-3} \text{ g/L}$$

##### ขั้นตอนที่ 3 การคำนวณ molar

$$3,630,000 \text{ g/L} = 1 \text{ molar}$$

$$1 \text{ g/L} \rightarrow 1/3,630,000 \text{ molar}$$

$$15-20 \times 10^{-3} \text{ g/L} \rightarrow 15-20 \times 10^{-3} / 3,630,000 = 4.13 - 5.5 \text{ nanoMolar (nM)}$$

#### Molar ของผลผลิต PCR

##### ขั้นตอนที่ 1

$$1\text{bp} = 660 \text{ Da}$$

$$500 \text{ bp} = 660 \times 500 = 330,000 \text{ Da}$$

$$1 \text{ Molar} = 330,000 \text{ g/L}$$

### ขั้นตอนที่ 2 จำนวนของผลผลิต PCR

Ladder 500 bp มี DNA 115 ng (Fermentas cat#SM0241)

ผลผลิต PCR มี  $17.35 \text{ ng}/\mu\text{l}$  หรือ  $17.35 \times 10^{-3} \text{ g/L}$

### ขั้นตอนที่ 3 การคำนวณ molar

$$330,000 \text{ g/L} = 1 \text{ molar}$$

$$1 \text{ g/L} \rightarrow 1/330,000 \text{ Molar}$$

$$17.35 \times 10^{-3} \text{ g/L} \rightarrow 17.35 \times 10^{-3} / 330,000 = 52.5 \text{ nM}$$

Molar ratio = Molar PCR product : Molar TOPO vector

$$= 52.5:4.13$$

$$= 12.7:1$$

ถ้าจะใช้อัตราส่วน 0.5:1 -2:1 ratio ต้องใช้ผลผลิต PCR 0.1  $\mu\text{l}$



## ประวัติผู้วิจัย

ชื่อ-สกุล	นางสาวสุรางคนางค์ แบ่มกันชู
เกิดเมื่อ	27 ตุลาคม 2528
ประวัติการศึกษา	พ.ศ. 2546 มัธยมศึกษาตอนปลาย โรงเรียนลับแลครีวิทยา จังหวัดอุตรดิตถ์ พ.ศ. 2551 วิทยาศาสตรบัณฑิต สาขาวิทยาโน้ม熹็วภาพ คณะวิทยาศาสตร์ มหาวิทยาลัยแม่โจ้ จังหวัดเชียงใหม่ พ.ศ. 2554 วิทยาศาสตรมหาบัณฑิต สาขาวิทยาโน้ม熹็วภาพ คณะวิทยาศาสตร์ มหาวิทยาลัยแม่โจ้ จังหวัดเชียงใหม่ การนำเสนอผลงานวิจัยในงานสัมนาวิชาการและนำเสนอผลงานวิจัย
การนำเสนอผลงาน	ระดับชาติ “แม่โจ้-เพร วิจัย ครั้งที่ 2” ประจำปี 2554 (ไปสเตอร์) เรื่อง “การโคลนยืนอินเทอเฟียรอนแกรมมาของ สูตรและการแสดงออกในเซลล์ MARC-145” ระหว่างวันที่ 1-2 กันยายน 2554 ณ.มหาวิทยาลัยแม่โจ้-เพร เนลินพระ เกียรติ อ. ร่องกวาง ช.เพร